

**STUDI SEBARAN MINERAL MENGGUNAKAN METODE  
GEOLISTRIK KONFIGURASI WENNER  
SCHLUMBERGER DI KECAMATAN PUJANANTING  
KABUPATEN BARRU**



**Skripsi**

**Diajukan Untuk Memenuhi Salah Satu Syarat Meraih Gelar  
Sarjana Sains Jurusan Fisika  
Pada Fakultas Sains dan Teknologi  
UIN Alauddin Makassar**

UNIVERSITAS ISLAM NEGERI

**ALAUDDIN**

MAKASSAR

Oleh :

**WAHYUNI DILATANTI**

**NIM. 60400113013**

**FAKULTAS SAINS DAN TEKNOLOGI  
UIN ALAUDDIN MAKASSAR  
2017**

## PERNYATAAN KEASLIAN SKRIPSI

Dengan penuh kesadaran, penyusun yang bertanda tangan di bawah ini menyatakan bahwa skripsi ini benar adalah karya penyusun sendiri. Jika dikemudian hari terbukti bahwa ia merupakan duplikat tiruan, plagiat, atau dibuat oleh orang lain, sebagian atau seluruhnya, maka skripsi dan gelar yang diperoleh karenanya batal demi hukum.

Gowa, Agustus 2017

Penyusun,

UNIVERSITAS ISLAM NEGERI  
**ALAUDDIN**  
M A K A S S A R

  
WAHYUNI DILATANTI  
Nim: 60400111013

## PENGESAHAN SKRIPSI

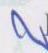

Skripsi yang berjudul “Studi Sebaran Mineral Menggunakan Metode Geolistrik Konfigurasi Wenner Schlumberger di Kecamatan Pujananting Kabupaten Barru” yang disusun oleh Wahyuni Dilatanti, Nim: 60400113013, Mahasiswa Jurusan Fisika pada Fakultas Sains dan Teknologi UIN Alauddin Makassar, telah diuji dan dipertahankan dalam sidang Munaqasyah yang diselenggarakan pada hari jumat tanggal 25 Agustus 2017 M, bertepatan dengan 3 Dzulhijjah 1438 H, dinyatakan telah dapat diterima sebagai salah satu syarat untuk meraih gelar sarjana dalam ilmu Sains dan Teknologi, jurusan Fisika.

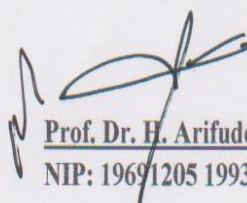
Gowa, 25 Agustus 2017 M  
3 Dzulhijjah 1438 H

### DEWAN PENGUJI

Ketua	: Prof. Dr. H. Arifuddin, M.Ag	(.....)
Sekretaris	: Ihsan, S.Pd., M.Si.	(.....)
Munaqisy I	: Nurul Fuadi, S.Si., M.Si	(.....)
Munaqisy II	: Dr. Sohra, M.Ag	(.....)
Pembimbing I	: Hernawati, S.Pd., M.Pfis.	(.....)
Pembimbing II	: Ayusari Wahyuni, S.Si., M.Sc.	(.....)

Diketahui Oleh:

 Dekan Fakultas Sains dan Teknologi  
UIN Alauddin Makassar 

  
Prof. Dr. H. Arifuddin, M.Ag  
NIP: 19691205 199303 1 001

## KATA PENGANTAR



Puji Syukur kami panjatkan kehadiran Allah SWT karena dengan rahmat dan karunia-Nya sehingga sampai saat ini penulis masih diberikan kenikmatan dan kesehatan. Shalawat serta salam senantiasa tercurah kepada tauladan kita Nabi Agung Muhammad saw, yang telah menuntun manusia menuju jalan kebahagiaan hidup di dunia dan di akhirat.

Alhamdulillah penulis telah berhasil menyelesaikan penelitian skripsi yang berjudul **“Studi Sebaran Mineral Menggunakan Metode Geolistrik Konfigurasi Wenner Schlumberger di Kecamatan Pujananting Kabupaten Barru”**. Pada kesempatan kali ini, penulis ingin menghaturkan rasa terimakasih dan rasa hormat yang tiada hentinya kepada kedua orang terkasih dalam hidup penulis yaitu Ayahanda **Jufri** dan ibunda **Nurmiati** yang selalu memberikan perhatian, dukungan serta motivasinya yang merupakan sumber semangat bagi penulis.

Tersusunnya skripsi ini berkat bantuan berbagai pihak yang telah mendorong dan membimbing penulis, baik tenaga, ide-ide, maupun pemikiran. Pada kesempatan kali ini, penulis ingin mengucapkan terimakasih kepada seluruh pihak yang telah membantu hingga selesainya penulisan skripsi ini, dan kepada :

1. Bapak **Prof. Dr. Musafir Pabbari, M.Si** selaku Rektor UIN Alauddin Makassar.



2. Bapak **Prof. Arifuddin, M.Ag** selaku Dekan Fakultas Sains dan Teknologi
3. Ibu **Sahara, S.Si., M.Sc., Ph.D.**, selaku Ketua Jurusan Fisika Fakultas Sains dan Teknologi yang telah member perhatian, dukungan kepada kami. Sekaligus selaku dosen pembimbing akademik yang telah banyak berkontribusi dan memberikan masukan kepada penulis selama berstatus mahasiswa di jurusan Fisika Fakultas Sains dan Teknologi.
4. Bapak **Ihsan, S.Pd., M.Si** selaku Sekretaris Jurusan Fisika Fakultas Sains dan Teknologi.
5. Ibu **Hernawati, S.Pd., M.Pfis.**, Ibu **Ayusari wahyuni, S.Si., M.Sc.**, selaku pembimbing I dan pembimbing 2 yang telah mencurahkan ilmu dan waktu untuk membimbing penulis dalam menyelesaikan skripsi ini.
6. Ibu **Nurul Fuadi, S.Si., M.Sc.**, selaku penguji I dan Ibu **Dr. Sohra, M.Ag.**, selaku penguji II yang telah memberikan kritik dan saran yang membangun untuk perbaikan skripsi ini.
7. Semua dosen dan laboran Jurusan Fisika yang memberikan ilmu pengetahuan.
8. Semua Staf Tata Usaha fakultas Sains dan Teknologi dan jurusan Fisika terima kasih atas bantuannya, serta pemerintah setempat di Kabupaten Barru yang telah mengizinkan melakukan Penelitian di Dusun Salopuru.
9. **Sudarmadi Alimin dan Adi Maher Zamhuri**, selaku asisten yang setia membantu tiada henti sejak awal penelitian hingga penyusunan skripsi.

10. Adikku tercinta **Rian Ariyandi** dan **Marsya Dilatanti** yang menjadi penyemangat penulis. Serta sepupu Tercinta **Asra Ningsih dan Abd. Jalil** yang telah memberikan dukungan baik secara moril maupun materiil.
11. Sahabat-sahabat tercinta **ASAS 13LACK** yang telah menjadi sahabat setia mendengar semua keluh kesah penulis selama menjadi mahasiswa dan selalu setia menemani dalam penelitian hingga penyusunan skripsi.
12. Kakak dan Adik-adik Jurusan Fisika Fakultas Sains dan Teknologi
13. Kepada para senior, rekan-rekan dan adik-adik di organisasi **Himpunan Mahasiswa Jurusan (HMJ) Fisika, Himpunan Mahasiswa Islam (HMI) Komisariat Sains dan Teknologi, Himpunan Mahasiswa Geofisika Indonesia (HMGI).**

Semoga Allah SWT memberikan balasan yang berlipat ganda kepada semuanya. Demi perbaikan selanjutnya saran dan kritik yang membangun akan penulis terima dengan senang hati. Akhirnya, hanya kepada Allah SWT penulis serahkan segalanya, mudah-mudahan dapat bermanfaat khususnya bagi penulis umumnya bagi semua.

Samata, Agustus 2017

Penulis

## DAFTAR ISI

<b>HALAMAN SAMPUL</b>	
<b>PERNYATAAN KEASLIAN SKRIPSI</b> .....	<b>i</b>
<b>LEMBAR PENGESAHAN</b> .....	<b>ii</b>
<b>KATA PENGANTAR</b> .....	<b>iii</b>
<b>DAFTAR ISI</b> .....	<b>vi</b>
<b>DAFTAR TABEL</b> .....	<b>viii</b>
<b>DAFTAR GAMBAR</b> .....	<b>ix</b>
<b>DAFTAR SIMBOL</b> .....	<b>x</b>
<b>DAFTAR LAMPIRAN</b> .....	<b>xi</b>
<b>ABSTRAK</b> .....	<b>xii</b>
<b>ABSTRACT</b> .....	<b>xiii</b>
<b>BAB I PENDAHULUAN</b> .....	<b>1</b>
1.1 Latar belakang.....	1
1.2 Rumusan Masalah.....	3
1.3 Tujuan Penelitian.....	3
1.4 Batasan Masalah.....	3
1.5 Manfaat Penelitian.....	3
<b>BAB II TINJAUAN TEORETIS</b> .....	<b>4</b>
2.1 Perspektif alquran tentang Mineral.....	4
2.2 Geologi Regional.....	7
2.3 Mineral dan Batuan.....	13
2.4 Metode Geolistrik Resistivitas .....	31

<b>BAB III METODE PENELITIAN.....</b>	<b>43</b>
3.1 Waktu dan Tempat Penelitian.....	43
3.2 Alat dan Bahan.....	44
3.3 Prosedur Kerja.....	44
3.4 Tabel Pengamatan .....	46
3.5 Diagram Alir Penelitian.....	47
<b>BAB IV HASIL DAN PEMBAHASAN.....</b>	<b>48</b>
4.1 Kondisi Umum Lokasi Penelitian .....	48
4.2 Sebaran Mineral.....	48
<b>BAB V PENUTUP.....</b>	<b>57</b>
5.1 Kesimpulan .....	57
5.2 Saran.....	57
<b>DAFTAR PUSTAKA.....</b>	<b>58</b>
<b>RIWAYAT HIDUP.....</b>	<b>60</b>
<b>LAMPIRAN – LAMPIRAN.....</b>	<b>L1</b>

## DAFTAR TABEL

No Keterangan	Halaman
2.1 Statigrafi Daerah Penyelidikan.....	12
2.2 Kelompok Mineral Silikat .....	17
2.3 Potensi Mineral di Kabupaten Barru .....	18
2.4 Tabel Nilai Resistivitas, Tanah, Batuan, dan Mineral .....	33
3.1 Tabel Pengamatan .....	46
4.1 Sebaran Mineral Lintasan 1.....	50
4.2 Sebaran Mineral Lintasan 2.....	52
4.3 Sebaran Mineral Lintasan 3.....	53
4.4 Sebaran Mineral Lintasan 4.....	55

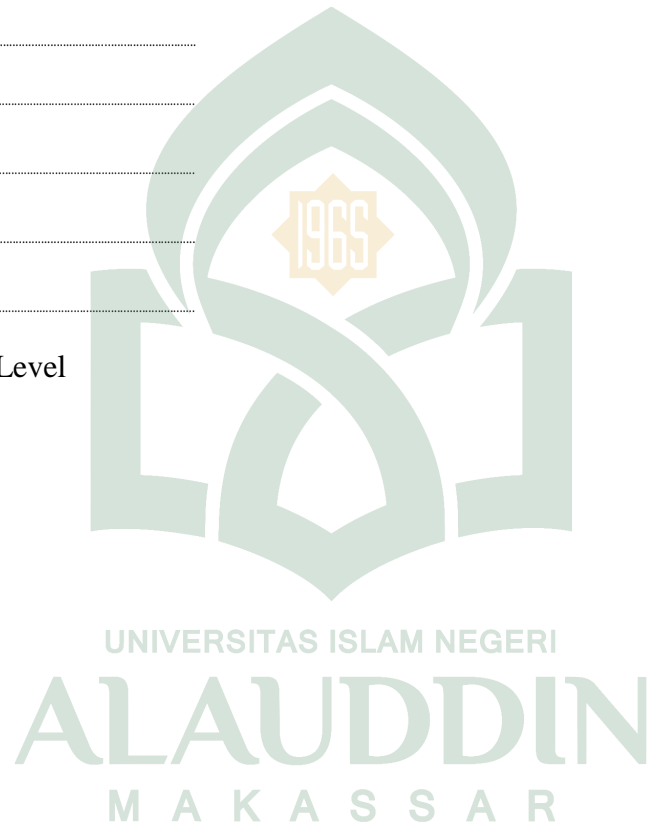


## DAFTAR GAMBAR

No Keterangan Gambar	Halaman
2.1 Peta Geologi Lokasi Penelitian .....	8
2.2 Mineral Kalsit ( $\text{CaCO}_3$ ).....	20
2.3 Mineral Kuarsa ( $\text{SiO}_2$ ).....	21
2.4 Mineral Clay .....	22
2.5 Batubara .....	23
2.6 Daur Batuan (Siklus Batuan) .....	24
2.7 Silinder Konduktor.....	34
2.8 Beberapa Konfigurasi Elektroda yang Digunakan Dalam Survey Geolistrik Tahanan Jenis .....	36
2.9 Pola Aliran Arus dan Bidang Ekipotensial Antara Dua Elektroda Arus Dengan Polaritas Berlawanan.....	38
2.10 Susunan Elektroda Konfigurasi Wenner – Schlumberger.....	39
3.1 (a) Peta Lokasi Penelitian .....	43
3.1 (b) Peta Lintasan.....	43
3.2 Resistivity Multichannel.....	42
4.1 (a) Penampang Hasil Inversi Tanpa Topografi.....	49
4.1 (b) Penampang Hasil Inversi Dengan Topografi.....	49

## DAFTAR SIMBOL

Simbol	Keterangan	Satuan
V	Tegangan .....	Volt
I	Kuat Arus Listrik .....	Ampere
L	Panjang Silinder .....	m
A	Luas Penampang .....	$m^2$
R	Resistansi .....	$\Omega$
$\rho$	Tahanan Jenis .....	$\Omega m$
K	Faktor Geometri .....	m
r/a	Jarak Spasi Elektroda .....	m
n	Datum Level	



## DAFTAR LAMPIRAN

No Lampiran	Halaman
1 Data Hasil Penelitian .....	L1
2 <small>Peta</small> .....	L28
3 <small>Dokumentasi</small> .....	L31



## ABSTRAK

**Nama : Wahyuni Dilatanti**

**NIM : 60400113013**

**Judul : Studi Sebaran Mineral Menggunakan Metode Geolistrik Konfigurasi Wenner Schlumberger di Kecamatan Pujananting Kabupaten Barru**

---

Penelitian ini bertujuan untuk mengetahui sebaran mineral dengan menggunakan metode geolistrik konfigurasi Wenner Schlumberger di Dusun Salopuru, Desa Pattappa, Kec. Pujananting, Kab. Barru. Metode yang digunakan adalah metode geolistrik tahanan jenis. Penelitian ini dilakukan sebanyak 4 lintasan dengan panjang lintasan 75 m dan jarak elektroda 5 m pada titik koordinat  $4^{\circ}37'22,92'' - 4^{\circ}37'25,38''$  LS dan  $119^{\circ}43'37,09'' - 119^{\circ}43'36,25''$ . Sebaran mineral pada lintasan 1 adalah mineral kuarsa, clay, batubara, kuarsa, dan kalsit dengan nilai resistivitas  $0,74 - 4274 \Omega\text{m}$  pada kedalaman 1,8 m – 15,3 m. Sebaran mineral pada lintasan 2 adalah mineral kuarsa, clay, batubara, kuarsa, dan kalsit dengan nilai resistivitas  $0,54 \Omega\text{m} - 2515,7 \Omega\text{m}$  pada kedalaman 1,8 m – 15,2 m. Sebaran mineral pada lintasan 3 adalah lanau dengan sisipan kuarsa, clay, batubara, kuarsa, dan kalsit dengan nilai resistivitas  $0,22 \Omega\text{m} - 487,67 \Omega\text{m}$  pada kedalaman 1,9 m – 15,2 m. Serta sebaran mineral pada lintasan 4 adalah mineral kuarsa, clay, kuarsa, dan kalsit dengan nilai resistivitas  $1,12 \Omega\text{m} - 810 \Omega\text{m}$  pada kedalaman 0,07 m – 15,6 m.

**Kata kunci : Geolistrik, Konfigurasi Wenner Schlumberger, Mineral**



## ABSTRACT

**Name** : Wahyuni Dilatanti

**NIM** : 60400113013

**Thesis Title** : **The Study Of Scattered Mineral Using The Method Of Geoelectrical Configuration Of The Wenner Schlumberger In The District Of Barru**

---

This study aims to determine the distribution of minerals using geoelectric method configuration Wenner Schlumberger in Hamlet Salopuru, Pattappa Village, District Pujananting, Barru District. The method used is geolistrik type resistance method. This research was conducted 4 lines with path length 75 m and distance of 5 m electrode at coordinate point  $4^{\circ}37'25,38''$  LS and  $119^{\circ}43'37,09'' - 119^{\circ}43'36,25$ . Mineral distribution on track 1 is quartz, clay, coal, quartz, and calcite minerals with a resistivity value of  $0.74 - 4274 \mu\text{m}$  at a depth of 1, 8 m - 15.3 m. Mineral distribution on track 2 is quartz, clay, coal, quartz, and calcite minerals with a resistivity value of  $0.54 \Omega\text{m} - 2515.7 \Omega\text{m}$  at a depth of 1.8 m - 15.2 m. Mineral distribution in path 3 is silt with quartz, clay, coal, quartz, and calcite with resistivity value  $0.22 \Omega\text{m} - 487,67 \Omega\text{m}$  at depth of 1.9 m - 15.2 m. As well as mineral distribution on track 4 are quartz, clay, quartz, and calcite minerals with a resistivity value of  $1.12 \Omega\text{m} - 810 \Omega\text{m}$  at a depth of 0.07 m - 15.6 m.

**Keywords** : Geoelectric, Configuration of Wenner – Schlumberger, Minerals





# BAB I

## PENDAHULUAN

### 1.1 Latar Belakang

Sumber daya mineral atau bahan galian adalah sumber daya yang telah terbentuk pada kulit bumi (kerak bumi/*crust*) melalui berbagai macam proses yang dilewatinya. Adapun bahan galian sifatnya tidak dapat diperbaharui, jumlahnya yang terbatas serta proses pembentukannya yang memerlukan waktu ribuan tahun bahkan jutaan tahun. Setiap bahan galian memiliki kandungan mineral yang berbeda berdasarkan proses pembentukannya. Mineral dapat didefinisikan sebagai bahan padat *anorganik* yang terbentuk secara alamiah dan terdiri dari unsur-unsur kimiawi dalam perbandingan tertentu, dimana atom-atom di dalamnya tersusun mengikuti suatu pola yang sistematis.

Berdasarkan penelitian yang dilakukan oleh (Nabil, 2014) Satuan Batupasir – Batulempung berada pada bagian timurlaut dari daerah penelitian. Satuan ini ditandai dengan warna coklat muda pada peta geologi. Satuan batuan ini terdiri dari konglomerat pada bagian bawah satuan dan semakin ke atas didominasi oleh perselingan batupasir dengan batulempung. Pada batulempung terdapat sisipan batubara. Batupasir, coklat terang, agak lapuk-segar, berukuran pasir halus-pasir sedang, berbentuk membundar tanggung-membundar, pemilahan baik, porositas baik, kemas terbuka, terdapat mineral kuarsa, matriks lempung, kompak. Batulempung, abu-abu gelap, getas, terdapat sisipan karbonan atau Batubara. Satuan ini tersingkap baik di sungai di sekitar Desa Pattapa.

Berdasarkan penelitian yang dilakukan oleh (Priyono, dkk. th) terdapat endapan batubara di Desa Pattapa, Kecamatan Pujananting yang mana endapan batubara ini berasosiasi dengan beberapa mineral dan menurut data dinas

pertambangan dan energi 2013, Kabupaten Barru (Sulawesi Selatan) merupakan salah satu daerah yang kaya akan potensi sumber daya mineral, namun potensi tersebut belum diimbangi dengan pemanfaatan yang optimal dikarenakan terbatasnya pengetahuan dan teknologi serta sarana yang dimiliki masyarakat sekitar. Potensi mineral yang terdapat di Kabupaten Barru tergolong mineral logam dan non-logam. Mineral tersebut mempunyai manfaat yang berbeda-beda jika terdapat endapan mineral yang cukup banyak dan dapat bernilai ekonomis. Beberapa mineral yang terdapat di Kabupaten Barru dapat dimanfaatkan sebagai bahan bakar rumah tangga, bahan bangunan, bahan dasar membuat porselen, bahan baku kaca, bahan baku besi tuang, dan sebagai sumber utama bijih perak.

Berdasarkan potensi mineral yang terdapat di Barru maka perlu dilakukan survei awal untuk mengetahui sebaran mineral yang terdapat di Kabupaten Barru. Metode geofisika yang dapat digunakan untuk mengetahui sebaran mineral adalah metode geolistrik resistivitas. Metode geolistrik resistivitas adalah metode yang digunakan untuk memetakan variasi harga tahanan jenis semu batuan bawah permukaan yang mencerminkan adanya perbedaan jenis lapisan batuan. Metode Geolistrik tahanan jenis merupakan salah satu metode geolistrik yang sering digunakan dalam survei geofisika untuk eksplorasi yang relatif dangkal, diantaranya digunakan dalam eksplorasi sumber mata air, keadaan struktur bawah permukaan dan juga dapat digunakan sebagai pendukung eksplorasi bahan-bahan tambang. Konfigurasi yang digunakan adalah wenner-schlumberger. Wenner-schlumberger merupakan metode gabungan antara konfigurasi wenner dan schlumberger. Wenner-Schlumberger merupakan konfigurasi elektroda metode geolistrik yang sudah umum digunakan untuk mapping dan sounding. Konfigurasi ini memiliki kelebihan cakupan secara vertikal dan horizontal.

## 1.2 Rumusan Masalah

Berdasarkan latar belakang yang dikemukakan di atas, maka rumusan masalah pada penelitian ini yaitu bagaimana sebaran mineral menggunakan metode geolistrik di Dusun Salopuru, Desa Pattappa, Kecamatan Pujananting, Kabupaten Barru, Sulawesi Selatan?

## 1.3 Tujuan Penelitian

Tujuan dilakukannya penelitian ini adalah untuk mengetahui sebaran mineral menggunakan metode geolistrik di Dusun Salopuru, Desa Pattappa, Kecamatan Pujananting, Kabupaten Barru, Sulawesi Selatan.

## 1.4 Ruang Lingkup

Ruang lingkup penelitian ini adalah sebagai berikut:

1. Lokasi penelitian dilakukan di Dusun Salopuru, Desa Pattappa, Kecamatan Pujananting, Kabupaten Barru.
2. Penelitian ini akan dilakukan dengan pengukuran yang terdiri dari 4 lintasan pada koordinat  $4^{\circ}37'54,79''$  LS dan  $119^{\circ}43'48,03''$  BT.
3. Konfigurasi yang digunakan adalah Wenner Schlumberger.
4. Obyek yang akan diteliti adalah sebaran mineral.
5. Hasil pengukuran di lapangan berupa data arus dan beda potensial sebagai hasil injeksi arus ke bawah permukaan dengan menggunakan alat geolistrik *S-Field Resistivitymeter*.

## 1.5 Manfaat Penelitian

Manfaat dari penelitian ini yaitu untuk memberikan informasi kepada warga sekitar, pemerintah maupun perusahaan untuk melakukan eksplorasi mineral di Dusun Salopuru, Desa Pattappa, Kecamatan Pujananting, Kabupaten Barru.

## BAB II

### TINJAUAN TEORETIS

#### 2.1 Perspektif Al-quran tentang Mineral

Mineral dapat kita definisikan sebagai bahan padat anorganik yang terdapat secara alamiah, yang terdiri dari unsur-unsur kimiawi dalam perbandingan tertentu, dimana atom-atom di dalamnya tersusun mengikuti suatu pola yang sistematis. Mineral dapat kita jumpai dimana-mana di sekitar kita, dapat berwujud sebagai batuan, tanah, atau pasir yang diendapkan pada dasar sungai. Beberapa dari mineral tersebut dapat mempunyai nilai ekonomis karena didapatkan dalam jumlah yang besar, sehingga memungkinkan untuk ditambang seperti emas dan perak. Mineral, kecuali beberapa jenis, memiliki sifat, bentuk tertentu dalam keadaan padatnya, sebagai perwujudan dari susunan yang teratur di dalamnya. Apabila kondisinya memungkinkan, mereka akan dibatasi oleh bidang-bidang rata, dan diasumsikan sebagai bentuk-bentuk yang teratur yang dikenal sebagai “kristal”. Dengan demikian, kristal secara umum dapat didefinisikan sebagai bahan padat yang homogen yang memiliki pola internal susunan tiga dimensi yang teratur. Studi yang khusus mempelajari sifat-sifat, bentuk susunan dan cara-cara terjadinya bahan padat tersebut dinamakan kristalografi (Djauhari, 2010). Allah berfirman dalam Alquran Surah Al-A'la ayat 4-5 dan Alquran surah Al-A'Arif ayat 10

##### 1. Surah Al-A'la ayat 4-5

وَالَّذِي أَخْرَجَ الْمَرْعَىٰ ﴿٤﴾ فَجَعَلَهُ رُحَاءً أَحْوَىٰ ﴿٥﴾

Terjemahnya:

“Dan yang menumbuhkan rumput-rumputan, Lalu dijadikan-Nya rumput-rumput itu kering kehitam-hitaman”. (QS. Al-A'laa: 4 5)

Dalam tafsir Ibnu Katsir dijelaskan dan firman Allah Ta'ala ﴿وَالَّذِي أَخْرَجَ الْمَرْعَى﴾ “Dan yang menumbuhkan rumput-rumputan “Yakni yang terdiri dari seluruh tumbuh-tumbuhan dan tanam-tanaman. ﴿فَجَعَلَهُ غُثَاءً أَحْوَى﴾ Lalu dijadikannya rumput itu kering kehitam-hitaman” Ibnu Abbas mengatakan: “Yakni kering dan mengalami perubahan.” (HR. Ibnu Abi Hatim).

Allah yang mengatur pepohonan dan tumbuh-tumbuhan pada setiap kondisi setelah mengalami kerusakan dan kehancuran lalu tenggelam dalam bumi, sisa dari tumbuh-tumbuhan yang tidak hancur menjadi fosil. Allah swt yang membiarkannya mengalami proses pematangan dan perubahan menjadi minyak bumi, gas dan batubara, yang semuanya ini bisa kita manfaatkan sebagai bahan bakar untuk pemanasan, industri, transportasi dan lain-lain. Minyak bumi, gas dan batubara merupakan mineral yang sangat bermanfaat bagi manusia. Mineral merupakan bahan galian yang terbentuk jutaan tahun bahkan ratusan tahun yang terdiri dari unsur kimiawi yang diendapkan. Ayat ini menjelaskan tentang tumbuh-tumbuhan yang akan kering kehitam-hitaman yang lama kelamaan akan berubah menjadi mineral yang dapat mempunyai nilai ekonomis jika didapatkan dalam jumlah yang besar.

Berdasarkan ayat tersebut maka patutlah kita bersyukur dengan kebesaran Allah swt. Di dalam ayat tersebut dijelaskan tentang tumbuhan yang akan berubah menjadi mineral yang sangat berguna bagi umat manusia. Perubahan tersebut terjadi atas kehendak Allah swt. Dengan melihat ayat tersebut beserta penjelasannya maka sepatutnyalah kita mensyukurinya dengan cara menjaga sumber daya alam yang diciptakan Allah dan mengolahnya menjadi mineral yang berguna bagi umat manusia. Maka dapat disimpulkan bahwa dengan melihat ayat alquran tersebut maka perlu dilakukan penelitian mengenai mineral yang ada di muka bumi.



## 2. Surah Al-A'raaf ayat 10

وَلَقَدْ مَكَّنَّاكُمْ فِي الْأَرْضِ وَجَعَلْنَا لَكُمْ فِيهَا مَعِيشًا قَلِيلًا مَّا تَشْكُرُونَ ﴿١٠﴾

Terjemahnya:

“Sesungguhnya kami telah menempatkan kamu sekalian di muka bumi dan kami adakan bagimu di muka bumi (sumber) penghidupan. Amat sedikitlah kamu bersyukur”. (QS. Al-A'raaf:10)

Menurut tafsir Ibnu Katsir Allah swt berfirman mengingatkan hamba-Nya, bahwa Allah swt telah menjadikan bumi sebagai tempat tinggal, dan ada di dalamnya Allah menciptakan gunung-gunung, sungai-sungai dan rumah tempat tinggal. Allah membolehkan mereka mengambil berbagai manfaat yang ada padanya, memperjalankan bagi mereka awan untuk mengeluarkan rizki dari bumi tersebut. Dan di bumi itu juga Allah menjadikan bagi mereka sumber penghidupan dan berbagai macam sarana berusaha dan berdagang bagi mereka. Namun dengan semuanya itu, kebanyakan dari mereka tidak bersyukur. Ayat itu sama seperti firman Allah yang terjemahnya “*Dan jika kamu menghitung nikmat Allah, niscaya kamu tidak akan dapat menghitungnya. Sesungguhnya manusia itu, sangat zhalim dan sangat mengingkari (nikmat Allah).*” (QS. Ibrahim:34).

Allah menjelaskan dalam ayat tersebut bahwa Allah menciptakan gunung-gunung, sungai dan tempat tinggal. Salah satu mineral yang sangat bernilai ekonomis adalah mineral sulfida yang terbentuk dari proses magmatik gunungapi yang mana mineral sulfida ini merupakan salah satu mineral pembentuk emas yang sangat bermanfaat bagi manusia. Selain itu dijelaskan juga tentang sungai-sungai, telah diketahui bahwa mineral terbentuk dari endapan yang terdapat di sungai-sungai atau rawa-rawa. Dari semua sumber daya alam yang diciptakan Allah patutlah kita bersyukur dengan mengolah sumber daya alam tersebut untuk

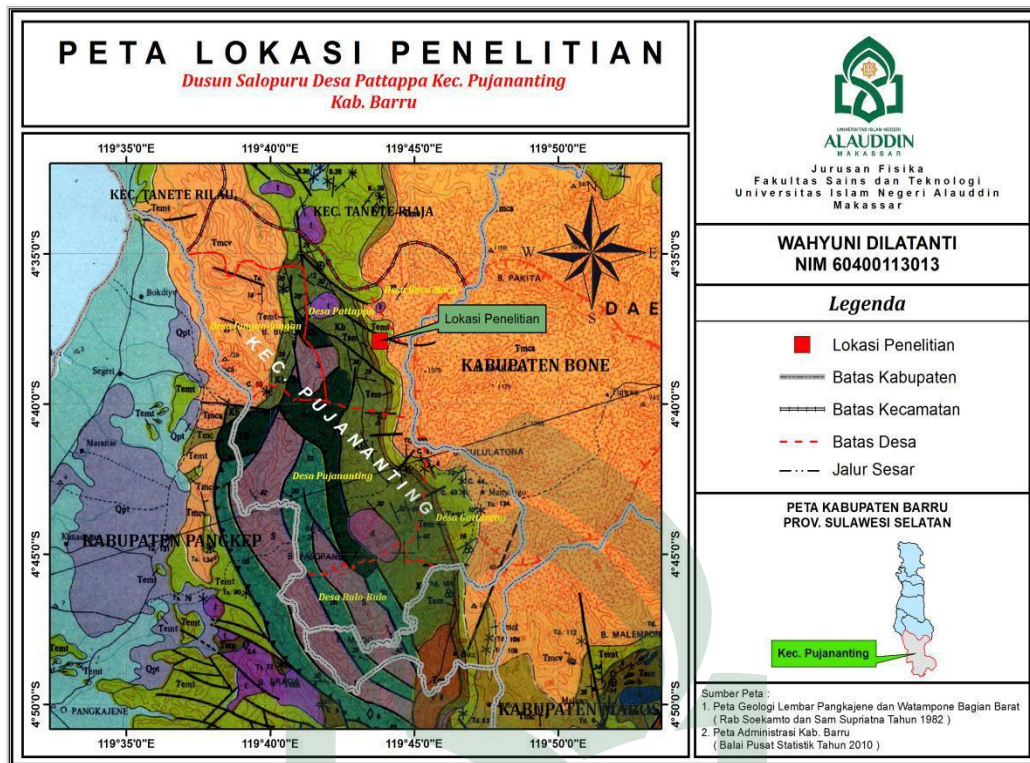
kemaslahatan umat manusia. Oleh karena itu, patutlah manusia bersyukur atas rezeki yang dilimpahkan Tuhan kepadanya.

Berdasarkan ayat di atas beserta penjelasannya maka dapat kita melihat bahwa di dalam Alquran sudah dijelaskan tentang sumber daya alam yang diciptakan Allah swt untuk dimanfaatkan semaksimal mungkin oleh manusia. Maka dengan melihat potensi yang ada serta melihat ayat alquran maka umat manusia patut menjaga dan mengolah sumber daya alam tersebut menjadi mineral yang dapat berguna untuk umat manusia. Dengan melihat surah Al-A'raaf ini maka semakin menyadarkan kita akan kuasa Allah swt yang telah menciptakan kekayaan yang berlimpah di muka bumi ini. Maka survei ataupun penyelidikan tentang sebaran mineral di muka bumi ini perlu dilakukan untuk mengolah sumber daya alam tersebut menjadi mineral yang berguna bagi umat manusia.

## **2.2 Geologi Regional**

Daerah Barru masuk dalam peta geologi Lembar Pangkajene dan Watampone Bagian Barat. Lembar Pangkajene dan Watampone Bagian Barat terletak antara koordinat 119 05' -120 45' BT dan 4 -5 LS; meliputi Daerah Tk.

II Kabupaten Maros, Pangkep, Barru, Watansoppeng, Wajo, Watampone, Sinjai dan Kotamadya Parepare, semuanya termasuk Daerah Tk. 1 Propinsi Sulawesi Selatan. Lembar peta berbatasan dengan Lembar Majene-Palopo di utara, Lembar Ujung Pandang, Benteng dan Sinjai di selatan, Selat Makasar di barat dan Teluk Bone di timur (Sukamto dan Supriatna, 1982). Daerah penyelidikan terletak di Dusun Salopuru Desa Patappa, Kecamatan Pujananting, Kabupaten Barru yang merupakan formasi tonasa (Temt). Berikut ini merupakan peta geologi daerah peneliikan.



Gambar 2.1 Peta Geologi Lokasi Penelitian

### 2.2.1 Geomorfologi

Di daerah Lembar Pangkajene dan Watampone Bagian Barat terdapat dua baris pegunungan yang memanjang hampir sejajar pada arah utara-barat laut dan terpisahkan oleh lembah Sungai Walanae. Pegunungan yang barat menempati hampir setengah luas daerah, melebar di bagian selatan (50 km) dan menyempit di bagian utara (22 km). Puncak tertingginya 1694 m, sedangkan ketinggian rata-ratanya 1500 m. Pembentuknya sebagian besar batuan gunungapi. Di lereng barat dan di beberapa tempat di lereng timur terdapat topografi kras, pencemiran padanya batugamping. Diantara topografi kras di lereng barat terdapat daerah perbukitan yang dibentuk oleh batuan Pra-Tersier. Pegunungan ini di Baratdaya dibatasi oleh dataran Pangkajene-Maros yang luas sebagai lanjutan dari dataran di Selatannya. Pegunungan yang di timur relatif lebih sempit dan lebih rendah, dengan puncaknya rata-rata setinggi 700 m, dan yang tertinggi 787 m.

Pegunungan ini sebagian besar berbatuan gunungapi. Bagian Selatannya selebar 20 km dan lebih tinggi, tetapi ke Utara menyempit dan merendah, dan akhirnya menunjam ke bawah batas antara Lembah Walanae dan dataran Bone. Bagian utara pegunungan ini bertopografi kras yang permukaannya sebagian berkerucut. Batasnya di timurlaut adalah dataran Bone yang sangat luas, yang menempati hampir sepertiga bagian timur. Lembah Walanae yang memisahkan kedua pegunungan tersebut di bagian utara selebar 35 km. Tetapi di bagian Selatan hanya 10 km. Di tengah terdapat Sungai Walanae yang mengalir ke Utara Bagian Selatan berupa perbukitan rendah dan di bagian utara terdapat dataran aluvium yang sangat luas mengelilingi D. Tempe (Sukanto dan Supriatna, 1982).

### 2.2.2 Stratigrafi Regional

Sulawesi Selatan bagian barat adalah daerah yang terangkat dan didominasi oleh sabuk pegunungan batuan vulkanik tersier. Daerah ini tersusun oleh batuan Komplek bantimala dan batuan sedimen kapur di atasnya kemudian ditutupi secara tidak selaras oleh batuan vulkanik paleosen. Secara menjari pada umur eosin terendapkan batuan sedimen darat yang berangsur berubah menjadi teras-teras terumbu berumur oligosen menutupi secara selaras. Selanjutnya batuan vulkanik tersier akhir dan pliosen-plitosen menutupi secara tidak selaras batuan-batuan dibawahnya.

#### 1. Statigrafi Pra – Tersier

##### a. Kompleks Tektonik Melange Bantimala (Kapur Tengah)

Kompleks melange ini terdiri dari litologi sikuen sedimen melange, batuan metamorf, dan batuan ultramafik yang tersingkap bagian barat dari Pegunungan Bone. Batuan metamorf didominasi oleh sekis kuarsa-muskovit, sekis epidot-amfibolit, sekis amfibolit, dan terkadang kuarsit. Sekis mempunyai kemiringan foliasi berkisar antara 40 sampai 80 derajat yang berarah Timurlaut. Penarikan

umur K/Ar sekis kuarsa-muskovit menghasilkan umur kapur awal (Parkinson, 1989 dan J.D. Bradovich dalam Hamilton 1979). Batuan Ultramafik ini secara umum terbagi menjadi 2, peridotit terserpentinisasi dan peridotit yang masih terdapat mineral aslinya berupa mineral olivin dan piroksen. Batuan ultramafik ini umumnya ditemukan telah terrekahkan dan tergerus. (Nabil, 2014).

b. Formasi balangbaru (Kapur Akhir)

Formasi Balangbaru merupakan batuan sedimen flysch yang terendapkan secara tidak selaras diatas kompleks tektonik melange. Formasi ini terdiri dari batuan sedimen klastik laut dengan ketebalan lapisan mencapai 3300 meter. Batuan sedimen ini didominasi oleh perselingan batupasir dan serpih dengan sisipan konglomerat dan batupasir konglomeratan. Singkapan formasi ini menunjukkan hasil dari endapan arus gravitasi yang ditunjukkan dengan terdapatnya arus debris, graded bedding, dan sole-marks yang menunjukkan endapan turbidit. Hasil analisis umur dari foraminifera planktoniknya, umur dari satuan ini adalah kapur akhir (Nabil, 2014).

a. Formasi Bua (Paleosen - Eosen akhir)

Formasi ini merupakan batuan vulkanik dan tidak selaras dengan formasi balangbaru yang tersingkap disekitar Desa Bua di daerah Bantimala. Formasi ini terdiri dari breksi vulkanik, lava, dan intrusi-intrusi dengan bentukan korok. beberapa batumannya telah mengalami alterasi dan dinamakan batuan propilitik untuk batuan yang sama (Sukamto dan Supriatna, 1982). Analisis umur menggunakan metode K-Ar menunjukkan formasi ini memiliki umur paleosen (Nabil, 2014).



b. Formasi Malawa (Eosen Awal - Tengah)

Formasi Malawa merupakan batuan sedimen darat – laut dangkal berumur eosen. Litologi utama dari formasi ini adalah batulempung, serpih, batupasir, napal, dan konglomerat dengan sisipan batubara pada batulempung. Formasi ini memiliki hubungan tidak selaras dengan Formasi Balangbaru. c. Formasi Tonasa (Eosen Akhir – Miosen Awal)

Formasi Tonasa terdiri dari batugamping, napal, batupasir, batulanau, dan batulempung yang berumur Eosen Akhir-Miosen Tengah (Van Leeuwen, 1981). Formasi Tonasa terendapkan selaras di atas Formasi Malawa atau batuan vulkanik Bua. Formasi ini tersebar luas sama seperti Formasi Malawa yaitu pada bagian barat Sulawesi Selatan, dimana formasi ini tidak tersingkap di bagian timur Sesar Walanae.

d. Formasi Camba (Miosen Tengah – Akhir)

Batuan vulkanik Formasi Camba yang terletak pada bagian barat Sulawesi Selatan memiliki litologi berupa breksi vulkanik, konglomerat, lava dan tufa yang berselingan dengan batuan sedimen marine. Batuan vulkanik Formasi Camba bersifat alkali akibat peleburan parsial mantel atas yang kaya akan unsur-unsur yang tidak kompatibel dengan metasomatisme (Nabil, 2014). Hal ini mungkin berhubungan dengan subduksi sebelumnya di awal Miosen dalam konteks intraplate distensional. Sifat alkali gunungapi ini diduga disebabkan oleh asimilasi berlebihan dari batugamping tua yang mencair bergabung dengan material benua kedalam subduksi busur vulkanik. Berikut tabel stratigrafi sekitar daerah penyelidikan.

Tabel 2.1 Statigrafi daerah penyelidikan

Zaman	Kala	Formasi	Litologi	Endapan
Kuarter	Holosen	Endapan Aluvial (Qac)	Qac : Kerikil, pasir, lmpung, Pantai dan sungai	Darat
	Plistosen	Endapan Undak (Qpt)	Qpt : Kerikil, pasir, lempung undak	Darat
Pilosen				
Tersier	Miosen	Tmca t/d Tmcv Fm. Camba (Tmc)	t/d : Batuan intrusi trakit dan diorite Tmca : Anggota Basalt berleosit Tmcv : Anggota gunungapi, breksi konglomerat gn. Api, btps tufaan, Tmc : Btps, tufaan, bt. Lanau, gamping, Bt. Lempung, breksign. Api	Darat Neritik
	Eosen	Formasi Tonasa (Temt)	Temt : Batugamping koral, putih-kelabu. Batugamping bioklastika kalkarenit berlapis putih coklat, bagian bawah bt. Gamping bitumen.	Laguna Neritik
	Paleosen	Fm. Malawa (Temt)	Tem : Bt. Pasir, bt. Lanau, konglomerat, Bt. Lempung, napal, sisipan bt. Bara 0,5-1,5 m, sisipan batugamping mengandung	Paralik Laut dangkal

			molusca.	
Pra Tersier	Kapur	Fm. Balangbaru (Kb)	Kb : Btps, turbidit, btps konglomerat, Bt. Lanau, tufa, bt. Lanau, t. lempung	Laut dalam
	Jura Trias	Melange (m) Malihan (s) Ultra basa (Ub)	m : Grewake, konglomerat, sekis s: Sekis, genes, epidot, gamet, Ub : Periodit hijau	Komplek tektonik Bantimala

## 2.3 Mineral dan Batuan

### 2.3.1 Mineral

Mineral dapat kita definisikan sebagai bahan padat anorganik yang terdapat secara alamiah yang terdiri dari unsur-unsur kimiawi dalam perbandingan tertentu, dimana atom-atom di dalamnya tersusun mengikuti suatu pola yang sistematis. Mineral dapat kita jumpai dimana-mana disekitar kita, dapat berwujud sebagai batuan, tanah, atau pasir yang diendapkan pada dasar sungai. Beberapa dari mineral tersebut dapat mempunyai nilai ekonomis karena didapatkan dalam jumlah yang besar, sehingga memungkinkan untuk ditambang seperti emas dan perak. Mineral, kecuali beberapa jenis, memiliki sifat, bentuk tertentu dalam keadaan padatnya, sebagai perwujudan dari susunan yang teratur didalamnya. Apabila kondisinya memungkinkan, mereka akan dibatasi oleh bidang-bidang rata, dan diasumsikan sebagai bentuk-bentuk yang teratur yang dikenal sebagai

“kristal”. Dengan demikian, kristal secara umum dapat didefinisikan sebagai bahan padat yang homogen yang memiliki pola internal susunan tiga dimensi yang teratur. Studi yang khusus mempelajari sifat-sifat, bentuk susunan dan cara-cara terjadinya bahan padat tersebut dinamakan kristalografi (Noor Djaohari, 2012).

### 1. Sifat Fisik Mineral

Terdapat dua cara untuk dapat mengenal suatu mineral, yang pertama adalah dengan cara mengenal sifat fisiknya. Yang termasuk dalam sifat fisik mineral adalah bentuk kristalnya, berat jenis, bidang belah, warna, kekerasan, goresan, dan kilap. Adapun cara yang kedua adalah melalui analisa kimiawi atau analisa difraksi sinar X, cara ini pada umumnya sangat mahal dan memakan waktu yang lama. Berikut ini adalah sifat-sifat fisik mineral yang dapat dipakai untuk mengenal mineral secara cepat, yaitu: a. Bentuk kristal (*crystal form*)

Apabila suatu mineral mendapat kesempatan untuk berkembang tanpa mendapat hambatan, maka ia akan mempunyai bentuk kristalnya yang khas. Tetapi apabila dalam perkembangannya ia mendapat hambatan, maka bentuk kristalnya juga akan terganggu. Setiap mineral akan mempunyai sifat bentuk kristalnya yang khas, yang merupakan perwujudan kenampakan luar, yang terjadi sebagai akibat dari susunan kristalnya didalam. Untuk dapat memberikan gambaran bagaimana suatu bahan padat yang terdiri dari mineral dengan bentuk kristalnya yang khas dapat terjadi, kita contohkan suatu cairan panas yang terdiri dari unsur-unsur Natrium dan Chlorit. Selama suhunya tetap dalam keadaan tinggi, maka ion-ion tetap akan bergerak bebas dan tidak terikat satu dengan lainnya. Namun begitu suhu cairan tersebut turun, maka kebebasan Bergeraknya akan berkurang dan hilang, selanjutnya mereka mulai terikat dan berkelompok

untuk membentuk persenyawaan “Natrium Chlorida”. Dengan semakin menurunnya suhu serta cairan mulai mendingin, kelompok tersebut semakin tumbuh membesar dan membentuk mineral “Halit” yang padat.

Mineral “Kuarsa”, dapat kita jumpai hampir disemua batuan, namun umumnya pertumbuhannya terbatas. Meskipun demikian, bentuknya yang tidak teratur tersebut masih tetap dapat memperlihatkan susunan ion-ionnya yang ditentukan oleh struktur kristalnya yang khas, yaitu bentuknya yang berupa prisma bersisi enam. Tidak peduli apakah ukurannya sangat kecil atau besar karena pertumbuhannya yang sempurna, bagian dari prisma segi enam dan besarnya sudut antara bidang-bidangnya akan tetap dapat dikenali. Kristal mineral intan, dapat dikenali dari bentuknya yang segi-delapan atau “oktahedron” dan mineral grafit dengan segi-enamnya yang pipih, meskipun keduanya mempunyai susunan kimiawi yang sama, yaitu keduanya terdiri dari unsur Karbon (C). Perbedaan bentuk kristal tersebut terjadi karena susunan atom karbonnya yang berbeda.

b. Berat jenis (*specific gravity*)

Setiap mineral mempunyai berat jenis tertentu. Besarnya ditentukan oleh unsur-unsur pembentuknya serta kepadatan dari ikatan unsur-unsur tersebut dalam susunan kristalnya. Umumnya “mineral-mineral pembentuk batuan” mempunyai berat jenis sekitar 2.7.

c. Bidang belah (*fracture*)

Mineral mempunyai kecenderungan untuk pecah melalui suatu bidang yang mempunyai arah tertentu. Arah tersebut ditentukan oleh susunan dalam dari atom-atomnya. Dapat dikatakan bahwa bidang tersebut merupakan bidang “lemah” yang dimiliki oleh suatu mineral.

d. Warna (*color*)

Warna mineral memang bukan merupakan penciri utama untuk dapat membedakan antara mineral yang satu dengan lainnya. Namun paling tidak ada warna-warna yang khas yang dapat digunakan untuk mengenali adanya unsur tertentu didalamnya. Sebagai contoh warna gelap dipunyai mineral, mengindikasikan terdapatnya unsur besi. Di sisi lain mineral dengan warna terang, diindikasikan banyak mengandung aluminium.

e. Kekerasan (*hardness*)

Salah satu kegunaan dalam mendiagnosa sifat mineral adalah dengan mengetahui kekerasan mineral. Kekerasan adalah sifat resistensi dari suatu mineral terhadap kemudahan mengalami abrasi (*abrasive*) atau mudah tergores (*scratching*). Kekerasan suatu mineral bersifat relatif, artinya apabila dua mineral saling digoreskan satu dengan lainnya, maka mineral yang tergores adalah mineral yang relatif lebih lunak dibandingkan dengan mineral lainnya. Skala kekerasan mineral mulai dari yang terluak (skala 1) hingga yang terkeras (skala 10) diajukan oleh Mohs dan dikenal sebagai Skala Kekerasan Mohs. f. Goresan pada bidang (*streak*)

Beberapa jenis mineral mempunyai goresan pada bidangnya, seperti pada mineral kuarsa dan pirit, yang sangat jelas dan khas. g. Kilap (*cluster*)

Kilap adalah kenampakan atau kualitas pantulan cahaya dari permukaan suatu mineral. Kilap pada mineral ada 2 (dua) jenis, yaitu kilap logam dan kilap non-logam. Kilap non-logam antara lain, yaitu: kilap mutiara, kilap gelas, kilap sutera, kilap resin, dan kilap tanah.

## 2. Sifat Kimiawi Mineral

Berdasarkan senyawa kimiawinya, mineral dapat dikelompokkan menjadi mineral silikat dan mineral non-silikat. Terdapat 8 (delapan) kelompok mineral

non-silikat, yaitu kelompok Oksida, Sulfida, Sulfat, Native elemen, Halid, Karbonat, Hidroksida, dan Fosfat. Adapun mineral silikat (mengandung unsur SiO) yang umum dijumpai dalam batuan adalah seperti terlihat pada tabel. Mineral-mineral tersebut dinamakan “Mineral pembentuk batuan”, atau “Rock-forming minerals”, yang merupakan penyusun utama batuan dari kerak dan mantel Bumi. Mineral pembentuk batuan dikelompokkan menjadi empat, yaitu Silikat, Oksida, Sulfida dan Karbonat dan Sulfat (Djauhari, 2012)

#### a. Mineral Silikat

Hampir 90 % mineral pembentuk batuan adalah dari kelompok mineral silikat, yang merupakan persenyawaan antara silikon dan oksigen dengan beberapa unsur metal. Karena jumlahnya yang besar, maka hampir 90 % dari berat kerak-Bumi terdiri dari mineral silikat, dan hampir 100 % dari mantel Bumi (sampai kedalaman 2900 Km dari kerak Bumi). Silikat merupakan bagian utama yang membentuk batuan baik itu sedimen, batuan beku maupun batuan malihan. Silikat pembentuk batuan yang umum adalah dibagi menjadi dua kelompok, yaitu kelompok ferromagnesium dan non-ferromagnesium. Yang termasuk mineral silikat adalah Kuarsa ( $\text{SiO}_2$ ), Felspar Alkali, Feldspar Plagiklas, Mika Muskovit, Mika Biotit, Amfibol, Pyroksen, dan Olivin. Berikut tabel 2.2 merupakan mineral yang termasuk mineral silikat.

Tabel 2.2 Kelompok Mineral Silikat

MINERAL		RUMUS KIMIA
Olivine		$(\text{Mg,Fe})_2\text{SiO}_2$
Pyroxene		$(\text{Mg,Fe})\text{SiO}_3$
Amphibole		$(\text{Ca}_2\text{Mg}_3)\text{Si}_8\text{O}_{22}(\text{OH})_2$
Mica	Muscovite	$\text{KAl}_3\text{Si}_3\text{O}_{10}(\text{OH})_2$
	Biotite	$\text{K}(\text{Mg,Fe})_3\text{Si}_3\text{O}_{10}(\text{OH})_2$

Feldspar	Orthoclase	$K Al Si_3 O_8$
	Plagioclase	$(Ca,Na)AlSi_3O_8$
Quartz		$SiO_2$

#### b. Mineral Oksida

Mineral oksida terbentuk sebagai akibat persenyawaan langsung antara oksigen dan unsur tertentu. Susunannya lebih sederhana dibanding silikat. Mineral oksida umumnya lebih keras dibanding mineral lainnya kecuali silikat. Mereka juga lebih berat kecuali sulfida. Unsur yang paling utama dalam oksida adalah besi, Chrom, mangan, timah dan aluminium. Beberapa mineral oksida yang paling umum adalah “es” ( $H_2O$ ), korondum ( $Al_2O_3$ ), hematit ( $Fe_2O_3$ ) dan Kassiterit ( $S_nO_2$ ).

#### c. Mineral Sulfida

Mineral Sulfida Merupakan mineral hasil persenyawaan langsung antara unsur tertentu dengan sulfur (belerang), seperti besi, perak, tembaga, timbal, seng dan merkuri. Beberapa dari mineral sulfida ini terdapat sebagai bahan yang mempunyai nilai ekonomis, atau bijih, seperti “pirit” ( $FeS_3$ ), “chalcocite” ( $C_uS$ ) “galena” ( $PbS$ ), dan “sphalerit” ( $ZnS$ ).

#### d. Mineral-mineral Karbonat dan Sulfat

Karbonat dan Sulfat Merupakan persenyawaan dengan ion  $(CO_3)_2^-$ , dan disebut “karbonat”, umpamanya persenyawaan dengan Ca dinamakan “kalsium karbonat”,  $CaCO_3$  dikenal sebagai mineral “Kalsit”. Mineral ini merupakan susunan utama yang membentuk batuan sedimen. Mineral kalsit tersusun dari calcium carbonat ( $CaCO_3$ ). Umumnya berwarna putih transparan dan mudah digores dengan pisau. Kebanyakan dari binatang laut terbuat dari kalsit atau mineral yang berhubungan dengan “lime” dari batugamping (Djauhari, 2012).

### 3. Mineral di Barru



Kabupaten Barru merupakan daerah yang kaya potensi sumber daya mineral namun belum dimanfaatkan karena terbatasnya pengetahuan dan teknologi serta sarana yang dimiliki masyarakat. Potensi mineral di Kabupaten barru dapat dilihat pada tabel 2.3.

Tabel 2.3 Potensi mineral di Kabupaten Barru tahun 2013

No	Bahan Galian	Lokasi	Cadangan	Kualitas
1	<b>Mineral Logam</b>	Barru	60.000.000 ton	: 8,40 %
	chromit			: 33,88 %
				: 13,30 %
				MgO : 20,92%
				:18,73%
2	Mangan	Barru	2.000.000 ton	:32,10%
				: 8,20%
				: 9,20
				: 4,20%
3	Pasir besi	Barru	2.000.000 ton	:8,4%
				:53,68%
				:15,13%
				MgO:9,2%
4	Logam dasar dan Logam mulia	Barru		Hasil analisa batuan:
				Au:1,00 ppm
				Cu:20,00 ppm
				Hasil analisa sedimen sungai:
				Au:1,2 ppm
				Zn: 575 ppm
				Ag: 234 ppm
Cu : 945 ppm				
5	Galena	Barru	500.000 ton	Pb: 51,30 %
				Sn : 24,48 %
				S : 10,69 %
1	<b>Mineral Non Logam</b>	Barru	1,55 miliar	:0,64%
	Batugamping (Limestone)			:0,96%
				:4,20%
				CaO:53,14%
				MgO: 1,49%
				LOI: 36,15%
2	Batugamping dolomitan	Barru	10.000.000	:0,20%
				:0,96%
				:2,67%
				CaO: 43,21%
				MgO :6,49%
LOI: 31,15%				

3	Batu Permata	Barru	5.000.000	
4	Lempung	Barru	15.000.000	:78,31%
				:3,13%
				:9,85%
				CaO:2,20%
				MgO:0,60%
5	Pasir Kuarsa	Barru	13.000.000	LOI:11,53%
				:90,64%
				:1,96%
				:1,20%
				CaO:0,14%
6	Tras	Barru	50.000.000	O:0,03%
				O:0,15%
				:72,30%
				:2,45%
				:16,43%
				CaO:0,30%
				MgO:0,15%
O:2,20%				
O:0,95%				
				LOI:3,45%

#### 4. Jenis dan Manfaat mineral

Berikut jenis-jenis mineral beserta manfaatnya

##### a. Mineral Kalsit

Kalsit adalah mineral karbonat dan polimorf kalsium karbonat yang paling stabil. Kalsit merupakan mineral penyusun berbagai jenis batuan dengan rumus kimia  $\text{CaCO}_3$ . Kalsit sangat umum ditemukan di seluruh dunia baik di dalam batuan sedimen, batuan metamorf, maupun batuan beku. Beberapa ahli geologi menganggapnya sebagai "ubiquitous mineral" atau mineral yang dapat hadir di hampir semua jenis batuan. Mineral kalsit merupakan mineral utama pembentuk batu kapur (batugamping) ataupun batu marmer. Kedua batuan tersebut sangat banyak ditemukan di permukaan bumi dan sebagai salah satu repositori karbon terbesar di planet kita. Sifat fisik dan kimia dari mineral kalsit menjadikannya sebagai salah satu mineral yang paling sering muncul. Kalsit dapat digunakan sebagai bahan konstruksi, material abrasif, pupuk pertanian, agregat untuk konstruksi bangunan, pigmen, farmasi, dan masih banyak lagi

kegunaan lainnya. kalsit memiliki lebih banyak kegunaan dibandingkan mineral-mineral lainnya.



Gambar 2.2 Mineral Kalsit (CaCO<sub>3</sub>)

#### b. Mineral Kuarsa

Mineral kuarsa adalah satu dari mineral yang umum yang banyak dijumpai pada kerak bumi. Mineral ini tersusun dari Silika dioksida (SiO<sub>2</sub>), berwarna putih, kilap kaca dan belahan tidak teratur (Djauhari, 2010). Mineral kuarsa adalah senyawa kimia yang terdiri dari satu bagian silikon dan dua bagian oksigen atau biasa disebut silikon dioksida (SiO<sub>2</sub>). Mineral kuarsa merupakan [mineral](#) yang paling berlimpah ditemukan di permukaan [bumi](#) dan sifatnya yang unik dapat membuatnya menjadi salah satu mineral yang paling berguna. Mineral kuarsa merupakan salah satu bahan alami yang paling berguna. Kegunaannya selalu dihubungkan dengan sifat fisik dan kimianya. Mineral kuarsa memiliki kekerasan 7 pada [skala Mohs](#) yang membuatnya sangat resisten. Hal ini disebabkan karena ikatan struktur kimianya yang dapat berhubungan dengan berbagai macam unsur.

Mineral kuarsa memiliki sifat listrik dan tahan panas yang membuatnya berguna dalam produk elektronik. Mineral kuarsa sering memiliki warna yang berkilau, membuatnya berguna sebagai batu permata dan juga bahan pembuatan kaca. Kristal kuarsa dapat digunakan untuk tujuan khusus. Kristal kuarsa yang

berkualitas tinggi adalah silika kristal tunggal dengan sifat optik ataupun elektronik. Para ahli memperkirakan ada sekitar sepuluh miliar kristal kuarsa digunakan setiap tahun. Kristal kuarsa dapat dimanfaatkan sebagai bahan pembuatan filter, kontrol frekuensi, timer, sirkuit elektronik yang menjadi komponen penting dalam ponsel, jam tangan, receiver televisi, komputer, alat navigasi, lensa, penutup laser, dan berbagai macam perangkat khusus lainnya.



Gambar 2.3 Mineral Kuarsa (SiO<sub>2</sub>)

c. Mineral lempung (*clay*)

Menurut ahli mineralogy, mineral *clay* adalah mineral silikat berlapis (*pilosilikat*) atau mineral lain yang bersifat liat (*plasticity*) dan mengalami pengerasan saat dipanaskan atau dalam keadaan kering. Mineral *clay* merupakan kelompok mineral penting karena kebanyakan mineral *clay* merupakan unsur utama tanah (*soil*) dan penyusun batuan sedimen. Mineral *clay* menyusun hampir 40% mineral pada batuan sedimen (Chitraningrum, 2008).

Mineral ini merupakan kelompok yang paling dominan dijumpai pada batubara, sekitar 60-80 % dari total mineral matter. Umumnya terdapat sebagai mineral primer yang terbentuk akibat adanya aksi air atau angin yang membawa material detrital ke dalam cekungan pengendapan batubara. Distribusi mineral lempung dalam batubara dikendalikan oleh kondisi kimia rawa. Mineral lempung yang terbentuk pada fase ke dua (*secondary*), umumnya dihasilkan oleh adanya transformasi dari lempung fase pertama (Sugihartono. t.th).



Gambar 2.4 Mineral Clay

#### d. Batubara

Batubara merupakan sumber energi masa depan. Batubara merupakan batuan sedimen (padatan) yang dapat terbakar berasal dari tumbuhan, berwarna coklat sampai hitam, yang sejak pengendapannya terkena proses fisika dan kimia yang mengakibatkan pengkayaan kandungan karbonnya. Penyebaran endapan batubara di Indonesia ditinjau dari sudut geologi sangat erat hubungannya dengan penyebaran formasi sedimen yang berumur tersier yang terdapat secara luas di sebagian besar kepulauan di Indonesia (Yulianto, Widodo, 2008)

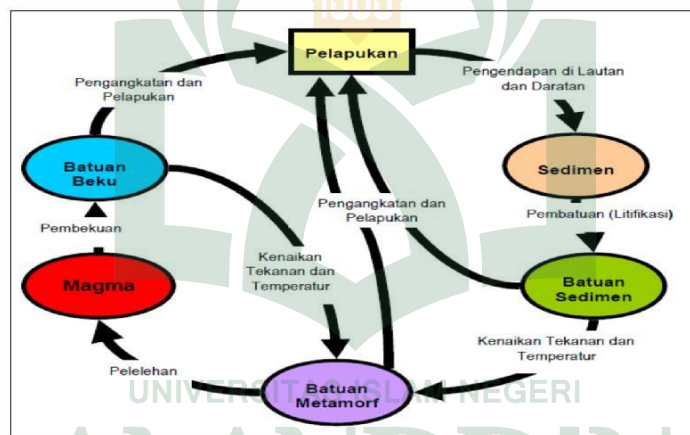
Batubara merupakan sisa tumbuhan yang telah menjadi fosil yang mengandung beberapa unsur yang terdiri dari karbon, hidrogen, oksigen, nitrogen, dan sulfur dengan karakteristiknya berwarna gelap, padat, dan dapat dibakar. Batubara berasal dari gambut maupun rawa yang menyerap energi selama proses fotosintesis. Setelah mati maka tumbuhan tersebut terurai dan mengalami beberapa tahap perubahan. Berawal dari bakteri yang melapukkan tumbuhan hingga membentuk gambut, benda coklat gelap yang halus dan berserat. Di saat sedimen dan tumbuhan mati di atasnya maka secara perlahan gambut berubah menjadi batubara lignit, lalu menjadi batubara bituminus, dan apabila

mendapatkan suhu dan tekanan yang cukup tinggi maka akan berubah menjadi batubara antrasit (Rahim, 2015)



Gambar 2.5 Batubara

### 2.3.2 Batuan



Gambar 2.6 Daur batuan (Siklus batuan)

Pada gambar 2.2 diperlihatkan bagaimana perjalanan daur tersebut. Melalui daur batuan ini, juga dapat diruntut proses-proses geologi yang bekerja dan mengubah kelompok batuan yang satu ke lainnya. Konsep daur batuan ini merupakan landasan utama dari Geologi Fisik yang diutarakan oleh James Hutton. Dalam daur tersebut, batuan beku terbentuk sebagai akibat dari pendinginan dan pembekuan magma. Pendinginan magma yang berupa lelehan silikat, akan diikuti oleh proses penghabluran yang dapat berlangsung dibawah atau diatas permukaan bumi melalui erupsi gunung berapi (Djauhari, 2010).

Kelompok batuan beku tersebut, apabila kemudian tersingkap di permukaan, maka ia akan bersentuhan dengan atmosfer dan hidrosfir, yang menyebabkan berlangsungnya proses pelapukan. Melalui proses ini batuan akan mengalami penghancuran. Selanjutnya, batuan yang telah dihancurkan ini akan dipindahkan/digerakkan dari tempatnya terkumpul oleh gaya berat, air yang mengalir diatas dan dibawah permukaan, angin yang bertiup, gelombang dipantai dan gletser di pegunungan-pegunungan yang tinggi. Media pengangkut tersebut juga dikenal sebagai alat pengikis, yang dalam bekerjanya berupaya untuk meratakan permukaan Bumi. Bahan-bahan yang diangkutnya baik itu berupa fragmen-fragmen atau bahan yang larut, kemudian akan diendapkan ditempat-tempat tertentu sebagai sedimen (Djauhari, 2010).

Proses berikutnya adalah terjadinya ubahan dari sedimen yang bersifat lepas, menjadi batuan yang keras, melalui pembebanan dan perekatan oleh senyawa mineral dalam larutan, dan kemudian disebut batuan sedimen. Apabila terhadap batuan sedimen ini terjadi peningkatan tekanan dan suhu sebagai akibat dari penimbunan dan atau terlibat dalam proses pembentukan pegunungan, maka batuan sedimen tersebut akan mengalami ubahan untuk menyesuaikan dengan lingkungan yang baru, dan terbentuk batuan malihan atau batuan metamorfis. Apabila batuan metamorfis ini masih mengalami peningkatan tekanan dan suhu, maka ia akan kembali leleh dan berubah menjadi magma. Panah-panah dalam gambar, menunjukkan bahwa jalannya siklus dapat terganggu dengan adanya jalan-jalan pintas yang dapat ditempuh, seperti dari batuan beku menjadi batuan metamorfis, atau batuan metamorfis menjadi sedimen tanpa melalui pembentukan magma dan batuan beku. Batuan sedimen dilain pihak dapat kembali menjadi sedimen akibat tersingkap ke permukaan dan mengalami proses pelapukan (Djauhari, 2010).



#### a. Batuan beku

Batuan beku atau batuan igneus (dari Bahasa Latin: *ignis*, "api") adalah jenis batuan yang terbentuk dari magma yang mendingin dan mengeras, dengan atau tanpa proses kristalisasi, baik di bawah permukaan sebagai batuan intrusif (plutonik) maupun di atas permukaan sebagai batuan ekstrusif (vulkanik). Magma ini dapat berasal dari batuan setengah cair ataupun batuan yang sudah ada, baik di mantel ataupun kerak bumi. Umumnya, proses pelelehan terjadi oleh salah satu dari proses-proses berikut: kenaikan temperatur, penurunan tekanan, atau perubahan komposisi. Lebih dari 700 tipe batuan beku telah berhasil dideskripsikan, sebagian besar terbentuk di bawah permukaan kerak bumi (Djauhari, 2010).

#### b. Sedimen dan Batuan Sedimen

##### 1. Pengertian

Sedimen adalah setiap partikel yang dapat ditransport oleh aliran fluida yang kemudian diendapkan sebagai sedimen. Pada umumnya, sedimen diangkut dan dipindahkan oleh air (proses fluvial), oleh angin (proses aeolian) dan oleh es (*glacier*). Endapan pasir pantai dan endapan pada saluran sungai adalah contoh-contoh dari pengangkutan dan pengendapan fluvial, meskipun sedimen dapat juga mengendap pada aliran yang sangat lambat atau pada air yang relatif diam seperti di danau atau di lautan. Endapan "*sand dunes*" dan endapan "*loess*" yang terdapat di gurun merupakan contoh dari pengangkutan dan pengendapan yang disebabkan oleh proses angin, sedangkan endapan "*moraine*" yang terdapat di daerah yang beriklim dingin merupakan contoh dari pengangkutan dan pengendapan proses gletser.

Sedimen merupakan bahan atau partikel yang terdapat di permukaan bumi (di daratan ataupun lautan), yang telah mengalami proses pengangkutan



(transportasi) dari satu tempat (kawasan) ke tempat lainnya. Sedimen ini apabila mengeras (membatu) akan menjadi batuan sedimen. Faktor-faktor yang mengontrol terbentuknya sedimen adalah iklim, topografi, vegetasi dan juga susunan yang ada dari batuan. Sedangkan faktor yang mengontrol pengangkutan sedimen adalah air, angin, dan juga gaya gravitasi. Sedimen dapat terangkut baik oleh air, angin, dan bahkan salju/gletser. Mekanisme pengangkutan sedimen oleh air dan angin sangatlah berbeda. Pertama, karena berat jenis angin relatif lebih kecil dari air maka angin sangat susah mengangkut sedimen yang ukurannya sangat besar. Besar maksimum dari ukuran sedimen yang mampu terangkut oleh angin umumnya sebesar ukuran pasir. Kedua, karena sistem yang ada pada angin bukanlah sistem yang terbatas (*confined*) seperti layaknya channel atau sungai maka sedimen cenderung tersebar di daerah yang sangat luas bahkan sampai menuju atmosfer.

Sedimen-sedimen yang ada terangkut sampai di suatu tempat yang disebut cekungan. Di tempat tersebut sedimen sangat besar kemungkinan terendapkan karena daerah tersebut relatif lebih rendah dari daerah sekitarnya dan karena bentuknya yang cekung ditambah akibat gaya gravitasi dari sedimen tersebut maka susah sekali sedimen tersebut akan bergerak melewati cekungan tersebut. Dengan semakin banyaknya sedimen yang diendapkan, maka cekungan akan mengalami penurunan dan membuat cekungan tersebut semakin dalam sehingga semakin banyak sedimen yang terendapkan. Penurunan cekungan sendiri banyak disebabkan oleh penambahan berat dari sedimen yang ada dan kadang dipengaruhi juga struktur yang terjadi di sekitar cekungan seperti adanya patahan.

## 2. Pembentukan batuan sedimen

Batuan sedimen terbentuk ketika sedimen diendapkan melalui air, angin, gayaberat, atau es/glasial yang mengalir membawa partikel-partikel dalam bentuk

suspensi. Sedimen ini seringkali berasal dari proses pelapukan dan erosi hasil penghancuran batuan menjadi partikel-partikel lepas. Partikel-partikel ini kemudian diangkut dari sumbernya ketempat pengendapannya. Jenis sedimen yang terangkut kesuatu tempat tergantung pada kondisi geologi yang ada di daerah sumber sedimennya. Beberapa batuan sedimen, seperti batuan evaporit, tersusun dari material yang berasal dimana sedimen diendapkan. Batuan sedimen secara alami tidak hanya tergantung pada pasokan sedimen, tetapi juga pada lingkungan sedimen dimana sedimen terbentuk. a. Lingkungan

#### Pengendapan/Sedimentasi

Tempat dimana batuan sedimen terbentuk dikenal sebagai lingkungan pengendapan. Setiap lingkungan pengendapan mempunyai karakteristik masing-masing yang dipengaruhi oleh kombinasi antara proses proses geologi dengan lingkungan sekitarnya. Jenis sedimen yang diendapkan tidak hanya tergantung pada sedimen yang diangkut akan tetapi juga tergantung pada lingkungan dimana sedimen itu diendapkan. Batuan yang diendapkan di dalam laut dikenal sebagai lingkungan pengendapan laut. Seringkali lingkungan laut dibedakan antara lingkungan pengendapan laut dangkal dan lingkungan pengendapan laut dalam. Biasanya lingkungan pengendapan laut dalam berada pada kedalaman diatas 200 meter dibawah muka air laut, sedangkan lingkungan pengendapan laut dangkal berada pada garis pantai dan berlanjut hingga ke batas tepi benua.

Pada lingkungan ini biasanya air berada dalam kondisi energi yang lebih besar dibandingkan dengan lingkungan laut dalam, karena aktifitas gelombang. Oleh karena energi yang besar maka partikel sedimen yang kasar dapat diangkut sehingga endapan sedimennya dapat lebih kasar dibandingkan yang berada di lingkungan laut dalam. Ketika ketersediaan sedimen di daratan diangkut ke lingkungan laut maka perselingan pasir, lempung dan lanau akan diendapkan.

Apabila daratannya berada jauh, maka jumlah sedimen yang diangkut kemungkinan hanya sedikit dan proses biokimia akan mendominasi dari jenis batuan yang akan terbentuk. Terutama di daerah yang beriklim hangat, pada lingkungan laut dangkal yang jauh dari lepas pantai akan dijumpai endapan batuan karbonat. Air yang hangat dan dangkal merupakan tempat yang ideal bagi habitat dari organisme kecil yang membangun cangkangnya dengan karbonat. Ketika organisme ini mati maka cangkangnya akan tenggelam ke dasar laut membentuk lapisan lumpur karbonat yang apabila mengalami pembatuan (*litifikasi*) akan berubah menjadi batugamping. Lingkungan laut dangkal yang hangat juga merupakan tempat ideal bagi terumbu karang dan apabila mati dan mengendap akan berubah menjadi sedimen yang kaya akan cangkang dari organisme besar. Pada lingkungan laut dalam, arus air biasanya kecil. Hanya partikel-partikel halus yang dapat diangkut ke tempat semacam ini. Jenis sedimen yang diendapkan di dasar laut adalah lempung atau cangkang-cangkang kecil dari mikro-organisme. Pada kedalaman 4 kilometer dibawah laut, solubilitas dari karbonat meningkat secara signifikan. Sedimen karbonat yang tenggelam pada kedalaman ini tidak akan membentuk batugamping. Cangkang mikro-organisme membentuk silika, seperti radiolarite. Apabila dasar dari lautannya membentuk sudut, seperti di lereng benua, maka sedimen yang berada pada lereng benua dapat mengalami longsor ke arah bagian dasar samudra membentuk arus turbidit. Sekuen dari batuan sedimen yang terbentuk oleh arus turbidit disebut sebagai endapan turbidit. Pantai adalah suatu lingkungan yang didominasi oleh kerja gelombang.

Di pantai, pengendapan umumnya didominasi oleh sedimen berbutir kasar seperti pasir, kerikil dan sering bercampur dengan fragmen fragmen cangkang. Daerah pasangsurut merupakan tempat dimana kadang-kadang kering dan kadang-kadang berair sebagai akibat dari pasangsurut air laut.

## b. Cekungan Sedimentasi

Cekungan sedimentasi adalah suatu tempat yang sangat luas dimana sedimen terakumulasi. Jumlah sedimen yang dapat diendapkan dalam suatu cekungan sangat tergantung pada kedalaman cekungan tersebut, dan tempat ini disebut juga sebagai ruang akomodasi sedimen. Kedalaman, bentuk dan ukuran suatu cekungan ditentukan oleh posisi tektoniknya. Apabila litosfir bergerak kearah atas (*tectonic uplift*) maka daratan akan naik melewati ketinggian muka air laut, maka erosi akan mulai bekerja dan daerah tersebut akan menjadi sumber material dari sedimen yang baru. Tempat dimana litosfir bergerak turun, maka akan terbentuk suatu cekungan dimana sedimentasi akan terjadi ditempat ini dan ketika litosfir tetap mengalami penurunan, maka ruang akomodasi yang baru akan terus terbentuk.

Pada dasarnya pembentukan cekungan sedimen erat hubungannya dengan batas-batas lempeng, yaitu pada batas lempeng divergen yaitu pembentukan cekungan akibat berpisahannya 2 benua yang membentuk rift kemudian diisi oleh air laut yang kemudian membentuk rift basin. Cekungan juga dapat terjadi apabila sebagian litosfir terpanaskan dan kemudian mengalami pendinginan kembali sehingga menyebabkan densitasnya meningkat yang menyebabkan amblesan isostatik (*isostatic subsidence*). Apabila amblesan ini berlanjut maka akan terbentuk cekungan yang dikenal dengan cekungan kantong (*sag basin*). Contoh cekungan kantong adalah daerah tepi benua yang pasif, tetapi cekungan kantong dapat juga dijumpai di bagian dalam benua. Total ketebalan sedimen yang dapat mengisi cekungan kantong dapat mencapai 10 km. Cekungan sedimen juga terjadi pada batas lempeng konvergen, dimana kedua lempeng yang saling bertabrakan menghasilkan cekungan busur depan (*fore-arc basin*) sebagai hasil pembubungan lempeng yang berbentuk cekungan memanjang asimetri yang dalam. Cekungan

busur muka diisi oleh endapan laut dalam dengan sekuen turbidit yang tebal. Pengisian sedimen ini dikenal sebagai flysch. Cekungan dapat terbentuk juga dibagian belakang dari busur gunungapi yang dikenal sebagai cekungan belakang busur (back-arc basin). Cekungan belakang busur biasanya diisi oleh sedimen laut dangkal dan molasse.

### c. Kecepatan Sedimentasi

Pada hakekatnya kecepatan pengendapan sedimen berbeda beda tergantung lokasi dimana sedimen itu diendapkan. Suatu saluran yang berada pada dataran pasangsurut akan megendapkan sedimen dengan ketebalan hingga beberapa meter dalam satu hari, sedangkan di dasar lautan yang sangat dalam setiap tahunnya hanya beberapa milimeter saja sedimen yang terakumulasi. Suatu perbedaan yang sangat jelas antara pengendapan yang normal dengan pengendapan yang disebabkan oleh proses katatrofisme. Proses pengendapan katatrofis dapat terjadi karena proses yang bersifat tiba-tiba seperti gerakan tanah (longsor tanah), luncuran batuan atau banjir bandang. Pada proses katatrofis dapat disaksikan pengendapan dari sejumlah besar sedimen dan terjadi secara tiba-tiba dalam satu satuan waktu yang cepat. Pada beberapa lingkungan pengendapan, kebanyakan dari total kolom batuan sedimen yang terbentuk oleh proses katatrofis, meskipun lingkungannya seringkali merupakan lingkungan yang tenang.

## **2.4 Metode Geolistrik Resistivitas**

### **1.4.1 Teori Dasar Metode Resistivity**

Bumi tersusun atas lapisan-lapisan tanah yang mempunyai nilai resistivitas yang berbeda antar lapisan tanah yang satu dengan yang lain. Untuk mengetahui keadaan bawah permukaan bumi dengan menentukan nilai resistivitas setiap lapisan tanahnya dapat dilakukan dengan menggunakan metode resistivitas. Pada

umumnya metode resistivitas digunakan untuk eksplorasi dangkal yang mempunyai kedalaman sekitar 300-500 m, misalnya digunakan untuk eksplorasi airtanah, panas bumi, intrusi air laut. Metode resistivity merupakan salah satu metode pengukuran geofisika yang menitikberatkan pada potensial listrik dari berbagai tahanan jenis batuan di bawah permukaan bumi (Parlinggoman, 2011).

Prinsip dalam metode resistivitas adalah menginjeksikan arus listrik (sekitar 1-10 mA) ke dalam bumi melalui elektroda arus (sepasang elektroda) dan respon yang diterima berupa beda potensial yang diukur melalui dua elektroda potensial. Dari hasil pengukuran arus dan beda potensial listrik, dapat diperoleh variasi harga resistivitas listrik pada lapisan di bawah titik ukur (Adhi, dkk, 2011).

Geolistrik adalah metode geofisika yang mempelajari sifat aliran listrik dalam bumi dan bagaimana mendeteksinya dipermukaan bumi. Dalam hal ini meliputi pengukuran potensial, arus dan medan elektromagnetik yang terjadi, baik secara alamiah maupun akibat injeksi arus ke dalam bumi. Metode geolistrik adalah salah satu metode geofisika yang dapat memberikan gambaran susunan dan kedalaman lapisan batuan, dengan mengukur sifat kelistrikan batuan. Batuan mempunyai sifat-sifat kelistrikan karena batuan merupakan suatu jenis materi. Sifat kelistrikan batuan adalah karakteristik dari batuan bila dialirkan arus listrik ke dalamnya. Arus listrik ini dapat berasal dari alam itu sendiri akibat terjadinya ketidakseimbangan atau arus listrik yang sengaja dimasukkan ke dalamnya. Dalam hal ini akan dipelajari tentang potensial listrik alam dari batuan, konduktivitas batuan dan konstanta dielektrik batuan.

Metode geolistrik resistivitas merupakan salah satu metode geolistrik yang sering digunakan dalam survei geofisika untuk eksplorasi yang relatif dangkal, diantaranya digunakan dalam eksplorasi sumber mata air, keadaan struktur bawah permukaan dan juga dapat digunakan sebagai pendukung eksplorasi bahan-bahan

tambang. Dalam aplikasi eksplorasi, metode geolistrik (resistivity) dapat memberikan informasi yang tidak mungkin diberikan oleh metode lain. Dalam metode ini, resistivitas yang terukur (*apparent resistivity*) bukan resistivitas sebenarnya dan tergantung spasi elektrodanya. Karena ketidakhomogenan bumi dan kenyataan bahwa bumi berlapis-lapis maka lapisan batuan dan masing-masing perlapisan mempunyai harga resistivitas tertentu.

Tabel 2.4 Tabel nilai resistivitas tanah, batuan, dan mineral  
(Telford, 1988)

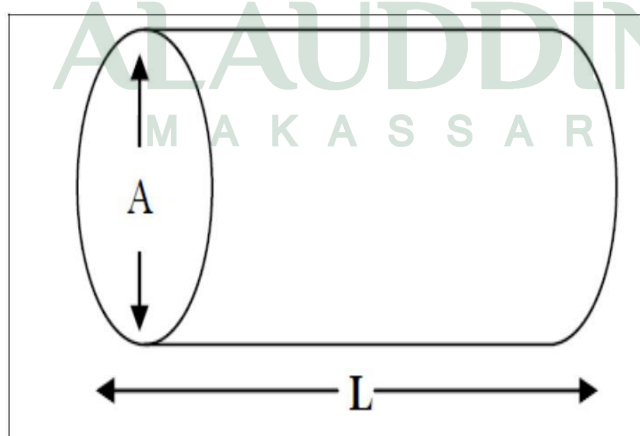
Material	Resistivity ( $\Omega \cdot m$ )	Conductivity (Siemen/m)
<b>Igneous and Metamorphic Rocks</b>		
Granite	$5 \times 10^3 - 10^6$	$10^{-6} - 2 \times 10^{-4}$
Basalt	$10^3 - 10^6$	$10^{-6} - 10^{-3}$
Slate	$6 \times 10^2 - 4 \times 10^7$	$2.5 \times 10^{-8} - 1.7 \times 10^{-3}$
Marble	$10^2 - 2.5 \times 10^8$	$4 \times 10^{-9} - 10^{-2}$
Quartzite	$10^2 - 2 \times 10^8$	$5 \times 10^{-9} - 10^{-2}$
<b>Sedimentary Rocks</b>		
Sandstone	$8 - 4 \times 10^3$	$2.5 \times 10^{-4} - 0.125$
Shale	$20 - 2 \times 10^3$	$5 \times 10^{-4} - 0.05$
Limestone	$50 - 4 \times 10^2$	$2.5 \times 10^{-3} - 0.02$
<b>Soils and waters</b>		
Clay	1 - 100	0.01 - 1
Alluvium	10 - 800	$1.25 \times 10^{-3} - 0.1$
Groundwater (fresh)	10 - 100	0.01 - 0.1
Sea water	0.2	5
<b>Chemicals</b>		
Iron	$9.074 \times 10^{-8}$	$1.102 \times 10^7$
0.01 M Potassium chloride	0.708	1.413
0.01 M Sodium chloride	0.843	1.185
0.01 M acetic acid	6.13	0.163
Xylene	$6.998 \times 10^{16}$	$1.429 \times 10^{-17}$

Prinsip dasar dari metode resistivitas ini adalah kemampuan dari suatu mineral dialiri oleh arus listrik. Mineral mineral yang mudah dialiri oleh arus listrik berarti memiliki resistivity yang rendah, sebaliknya mineral mineral yang sulit dialiri oleh listrik berarti memiliki resistivity yang tinggi. Adapun yang diukur dilapangan merupakan nilai resistivitas semu mineral atau batuan, dimana setiap mineral atau batuan memiliki keunikan atau perbedaan nilai resistivitas.

Batupasir (*sandstone*) berada pada resistivitas  $10 \Omega\text{m} - 8000 \Omega\text{m}$ , batuserpih (*Shale*) berada pada resistivitas  $30 \Omega\text{m} - 2000 \Omega\text{m}$ , batugamping (*Limestone*), batulempung (*clay*) berada pada resistivitas  $1 \Omega\text{m} - 100 \Omega\text{m}$ , batubara Lignit berada pada resistivitas  $10 \Omega\text{m} - 200 \Omega\text{m}$ , dan batuan dan mineral yang lain yang memiliki nilai resistivitas yang berbeda.

Aliran arus listrik di dalam batuan dan mineral dapat dilihat dalam Konduksi secara elektronik, konduksi ini terjadi jika batuan atau mineral mempunyai banyak elektron bebas sehingga arus listrik dialirkan dalam batuan atau mineral oleh elektron-elektron bebas tersebut. Aliran listrik ini juga dipengaruhi oleh sifat atau karakteristik masing-masing batuan yang dilewatinya. Salah satu sifat atau karakteristik batuan tersebut adalah resistivitas (tahanan jenis) yang menunjukkan kemampuan bahan tersebut untuk menghambat arus listrik. Semakin besar nilai resistivitas suatu bahan maka semakin sulit bahan tersebut menghantarkan arus listrik, begitu pula sebaliknya. Jika ditinjau suatu silinder dengan panjang  $L$ , luas penampang  $A$ , dan resistansi  $R$ , maka dapat di rumuskan:

$$- \quad \text{UNIVERSITAS ISLAM NEGERI} \quad (2.1)$$



Gambar 2.7. Silinder konduktor.

Besarnya nilai resistivitas dari silinder konduktor ini dapat ditentukan menggunakan persamaan (2.1). Secara fisis rumus tersebut dapat diartikan jika



panjang silinder konduktor  $L$  dinaikkan, maka resistansi akan meningkat, dan apabila diameter silinder konduktor diturunkan yang berarti luas penampang  $A$  berkurang maka resistansi juga meningkat,  $\rho$  adalah resistivitas (tahanan jenis) dalam  $\Omega\text{m}$ . Sedangkan menurut hukum Ohm, resistivitas  $R$  dirumuskan:

$$R = \frac{\rho L}{A} \quad (2.2)$$

Sehingga didapatkan nilai resistivitas  $\rho$ :

$$\rho = \frac{RA}{L} \quad (2.3)$$

Dimana,

$V$  = Beda Potensial (V)

$I$  = Arus Listrik (A)

$A$  = Luas Penampang ( $\text{m}^2$ )

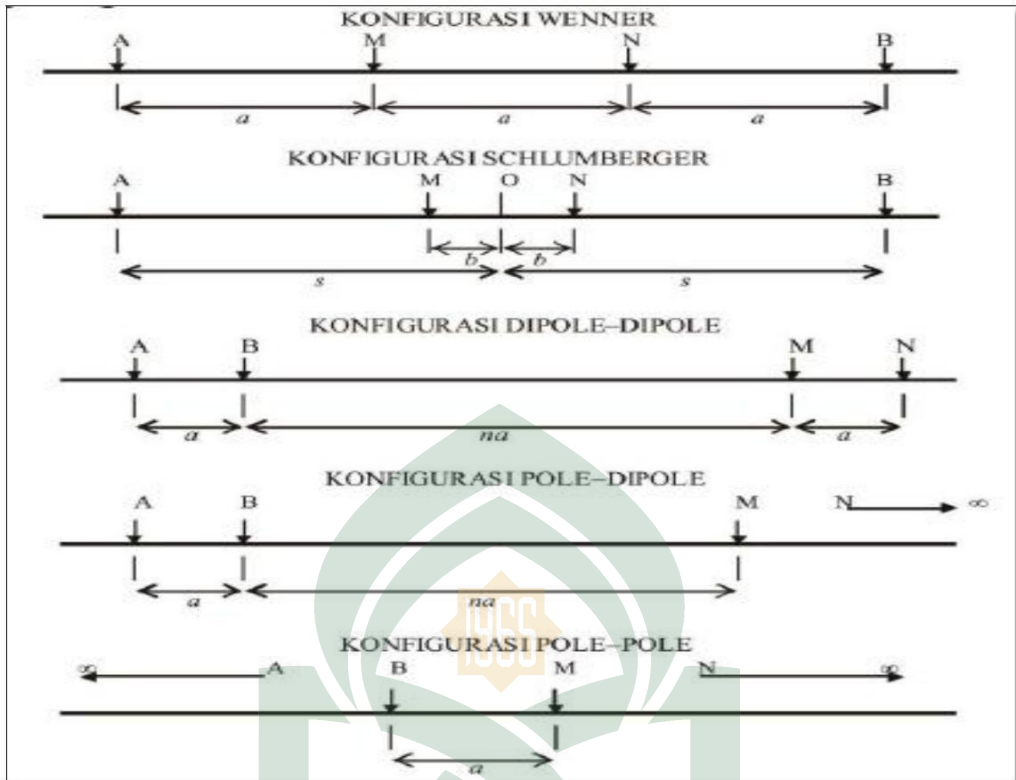
$L$  = Panjang Silinder (m)

$R$  = Resistansi ( $\Omega$ )

$\rho$  = Tahanan Jenis ( $\Omega\text{m}$ )

#### 2.4.2 Metode Geolistrik Resistivity Wenner Schlumberger

Tiap-tiap medium (lapisan batuan) mempunyai sifat kelistrikan berbeda-beda, tergantung dari kandungan logam/non logam, komposisi mineral, kandungan air, permeabilitas, tekstur, suhu dan umur geologi. Ada beberapa konfigurasi elektroda yang sering digunakan, yaitu metode Wenner, metode Pole-pole, metode Pole-dipole, metode Dipole-dipole, metode Schlumberger dan metode Wenner-Schlumberger. Dengan  $C1$  dan  $C2$  adalah elektroda-elektroda arus,  $P1$  dan  $P2$  adalah elektroda-elektroda potensial,  $a$  adalah spasi elektroda,  $n$  adalah perbandingan jarak antara elektroda  $C1$  dan  $P1$  dengan spasi  $a$  (Rosdiana, 2011)



Gambar 2.8 Beberapa konfigurasi elektroda yang digunakan dalam survei metode geolistrik resistivitas

Apabila terdapat dua elektroda arus yang dibuat dengan jarak tertentu seperti Gambar 2.6, potensial pada titik-titik dekat permukaan akan dipengaruhi oleh kedua elektroda arus tersebut. Gambar 2.6 dua pasang elektroda arus dan potensial pada permukaan medium homogen isotropis dengan tahanan jenis  $\rho$  (Bahri, 2005). Potensial pada titik  $P_1$  yang disebabkan arus dari elektroda  $C_1$  dan  $C_2$  berdasarkan persamaan

$$V = \frac{\rho I}{2\pi r} \text{ atau } - \tag{2.4}$$

Maka

$$V_1 = \frac{\rho I_1}{2\pi r_1} \text{ dan } V_2 = \frac{\rho I_2}{2\pi r_2} \tag{2.5}$$

Sehingga diperoleh beda potensial di titik  $P_1$  akibat arus  $C_1$  dan  $C_2$  menjadi:

$$V_1 + V_2 = \dots \quad (2.6)$$

Potensial yang timbul di titik  $P_2$  sama halnya dengan potensial di titik  $P_1$  sehingga besarnya beda potensial  $P_1$  dan  $P_2$  akibat injeksi arus  $C_1$  dan  $C_2$  adalah:

$$(2.7)$$

Sehingga

$$\dots \quad (2.8)$$

Atau dapat ditulis:

$$\dots \quad (2.9)$$

Dari besarnya arus dan beda potensial yang terukur, maka nilai resistivitas dapat dihitung dengan menggunakan persamaan:

$$\dots \quad (2.10)$$

Dimana:

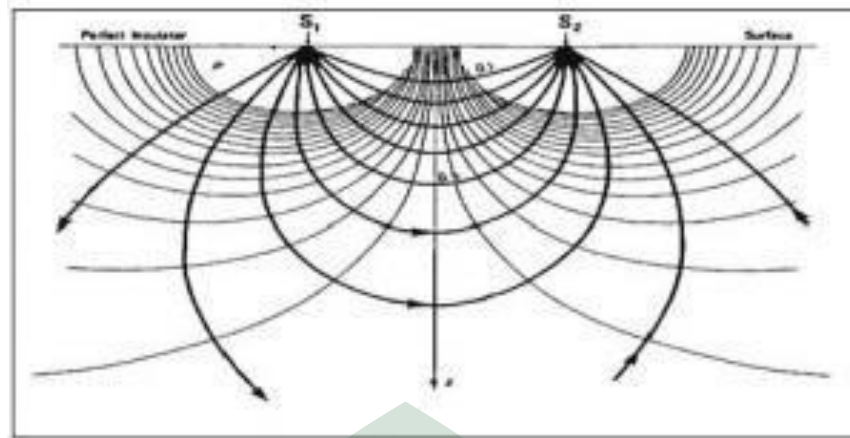
= Tahanan jenis batuan (Ohm.m)

K= Faktor geometri (m)

$\Delta V$  = Beda Potensial (Volt)

I = Arus Listrik (Ampere)

Metode pendekatan yang paling sederhana dalam mempelajari secara teoritis tentang aliran arus listrik di dalam bumi dianggap homogen isotropis. Jika sebuah elektroda dialiri arus listrik diinjeksikan pada permukaan bumi yang homogen isotropis, maka akan terjadi aliran arus listrik yang menyebar dalam tanah secara radial dan apabila udara di atasnya memiliki konduktivitas nol, maka garis potensialnya akan berbentuk setengah bola dapat dilihat pada gambar 2.6.



Gambar 2.9 Pola aliran arus dan bidang ekuipotensial antara dua elektroda arus dengan polaritas berlawanan (Bahri, 2005)

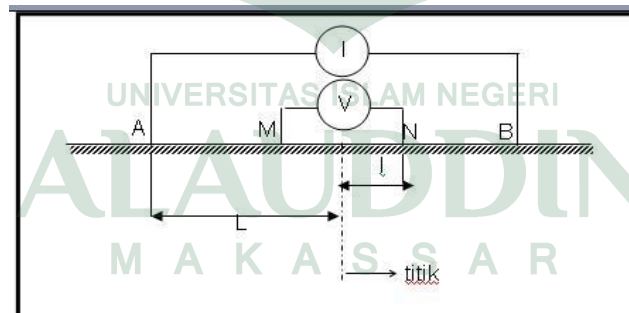
Aliran arus yang keluar dari titik sumber membentuk medan potensial dengan kontur ekuipotensial berbentuk permukaan setengah bola di bawah permukaan. Dalam hal ini, arus mengalir melalui permukaan setengah bola maka arus yang mengalir melewati permukaan tersebut. Susunan keempat elektroda tersebut merupakan susunan elektroda yang biasanya dalam metode geolistrik resistivitas. Pada konfigurasi ini garis-garis aliran arus dan ekuipotensial diubah oleh dekatnya kedua elektroda arus.

Pengukuran resistivitas dilakukan terhadap permukaan bumi yang dianggap sebagai suatu medium yang homogen isotropis. Pada kenyataannya, bumi tersusun atas komposisi batuan yang bersifat heterogen baik ke arah vertikal maupun horisontal. Akibatnya objek batuan yang tidak homogen dan beragam akan memberikan harga resistivitas yang beragam pula. Sehingga resistivitas yang diukur adalah resistivitas semu. Harga resistivitas semu ini tergantung pada tahanan jenis lapisan-lapisan pembentuk formasi dan konfigurasi elektroda yang digunakan. Beberapa hal yang mempengaruhi nilai resistivitas semu adalah sebagai berikut :

1. Ukuran butir penyusun batuan, semakin kecil besar butir maka kelolosan arus akan semakin baik, sehingga mereduksi nilai tahanan jenis.

2. Komposisi mineral dari batuan, semakin meningkat kandungan mineral clay akan mengakibatkan menurunnya nilai resistivitas.
3. Kandungan air, air tanah atau air permukaan merupakan media yang mereduksi nilai tahanan jenis.
4. Kelarutan garam dalam air di dalam batuan akan mengakibatkan meningkatnya kandungan ion dalam air sehingga berfungsi sebagai konduktor.
5. Kepadatan, semakin padat batuan akan meningkatkan nilai resistivitas.

Konfigurasi Wenner-Schlumberger dapat digunakan untuk *resistivity mapping* maupun *resistivity sounding*. Cara pelaksanaan pengukuran untuk *resistivity mapping*, jarak spasi elektroda dibuat tetap untuk masing-masing titik amat (titik *sounding*). Sedang untuk *resistivity sounding*, jarak spasi elektroda diubah-ubah secara gradual untuk titik amat. Untuk aturan elektroda Wenner-Schlumberger, spasi elektroda arus jauh lebih lebar dari spasi elektroda potensial seperti pada gambar berikut :



Gambar 2.10 Susunan elektroda Konfigurasi Wenner-Schlumberger (Loke, 2004)

dimana,

$r_1$  = jarak dari titik  $P_1$  ke sumber arus positif ( $na$ )

$r_2$  = jarak dari titik  $P_1$  ke sumber arus negatif ( $a + na$ )

$r_3$  = jarak dari titik  $P_2$  ke sumber arus positif ( $na + a$ )

$r_4$  = jarak dari titik  $P_2$  ke sumber arus negatif ( $na$ )

Dengan menggunakan persamaan (2.8) dan (2.9) maka akan menghasilkan persamaan faktor geometri (K) dan resistivitas semu ( $\rho_s$ ) untuk konfigurasi Wenner-Schlumberger yaitu :

$$\frac{\rho_s}{K} = \frac{V}{I} \tag{2.11}$$

$$\rho_s = K \frac{V}{I} \tag{2.12}$$

$$\rho_s = \frac{2\pi a^2}{\ln \frac{4a}{b}} \frac{V}{I} \tag{2.13}$$

$$\rho_s = \frac{2\pi a^2}{\ln \frac{4a}{b}} \frac{V}{I} \tag{2.14}$$

$$\rho_s = \frac{2\pi a^2}{\ln \frac{4a}{b}} \frac{V}{I} \tag{2.15}$$

$$\rho_s = \frac{2\pi a^2}{\ln \frac{4a}{b}} \frac{V}{I} \tag{2.16}$$

$$\rho_s = \frac{2\pi a^2}{\ln \frac{4a}{b}} \frac{V}{I} \tag{2.17}$$

$$\rho_s = \frac{2\pi a^2}{\ln \frac{4a}{b}} \frac{V}{I} \tag{2.18}$$

$$\rho_s = \frac{2\pi a^2}{\ln \frac{4a}{b}} \frac{V}{I} \tag{2.19}$$

$$\rho_s = \frac{2\pi a^2}{\ln \frac{4a}{b}} \frac{V}{I} \tag{2.20}$$

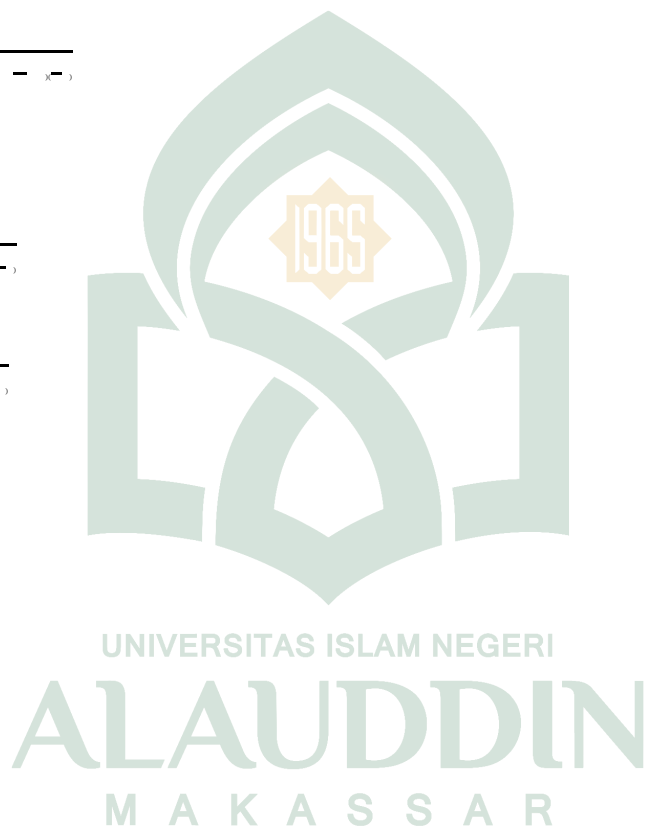
Dimana,

n = Datum level

a = Spasi elektroda (m)

K= Faktor geometri (m)

Batuan mempunyai sifat-sifat kelistrikan karena batuan merupakan suatu jenis materi. Sifat kelistrikan batuan adalah karakteristik dari batuan bila dialirkan arus listrik ke dalamnya. Arus listrik ini dapat berasal dari alam itu sendiri akibat terjadinya ketidakseimbangan atau arus listrik yang sengaja dimasukkan ke



dalamnya. Dalam hal ini akan dipelajari tentang potensial listrik alam dari batuan, konduktivitas batuan dan konstanta dielektrik batuan. Dalam metode ini, resistivitas yang terukur (*apparent resistivity*) bukan resistivitas sebenarnya dan tergantung spasi elektrodanya. Karena ketidakhomogenan bumi dan kenyataan bahwa bumi berlapis-lapis maka lapisan batuan dan masing-masing perlapisan mempunyai harga resistivitas tertentu. Tiap-tiap medium (lapisan batuan) mempunyai sifat kelistrikan berbeda-beda, tergantung dari kandungan logam/non logam, komposisi mineral, kandungan air, permeabilitas, tekstur, suhu dan umur geologi (Hendrajaya, 1990).

Menurut Telford, dkk. (1988), terkait dengan sifat resistivitas listrik, lapisan akuifer merupakan lapisan batuan yang memiliki rentang nilai tahanan jenis 1-108  $\Omega\text{m}$ . Faktor-faktor yang berpengaruh antara lain: komposisi litologi, kondisi batuan, komposisi mineral yang dikandung, kandungan benda cair. Air alam mengandung zat padat terlarut yang berasal dari mineral dan garam-garam yang terlarut ketika air mengalir di bawah atau di permukaan tanah. Apabila air dicemari oleh limbah yang berasal dari industri pertambangan dan pertanian, kandungan zat padat tersebut akan meningkat.

Nilai resistivitas tanah dipengaruhi oleh berbagai parameter geologi seperti kandungan mineral dan fluida (cairan), porositas dan derajat tingkat kejenuhan air pada batuan. Penelitian geolistrik resistivitas telah digunakan dalam penyelidikan hidrogeologi, pertambangan dan geoteknik. Berdasarkan pada tujuan penyelidikan metode geolistrik resistivitas dapat dibagi menjadi dua kelompok besar yaitu Mapping dan Sounding.

#### 1. Mapping

Tujuan mapping adalah untuk mengetahui variasi resistivitas secara lateral. Oleh karena itu teknik mapping dilakukan menggunakan konfigurasi elektroda

tertentu dengan jarak elektroda tetap. Seluruh susunan elektroda dipindahkan mengikuti suatu lintasan. Berdasarkan hal tersebut teknik mapping dikenal pula sebagai *constant separation traversing* (CST) atau *traversing* dan kadang–kadang disebut pula sebagai teknik profiling. Konfigurasi elektroda yang digunakan adalah konfigurasi Wenner.

## 2. Sounding

Istilah sounding diambil dari vertical electrical sounding (VES) yaitu teknik pengukuran geolistrik yang bertujuan untuk memperkirakan variasi resistivitas sebagai fungsi dari kedalaman pada suatu titik pengukuran. Jarak elektroda sebanding dengan kedalaman lapisan batuan yang terdeteksi. Konfigurasi elektroda yang digunakan umumnya adalah konfigurasi Schlumberger. Metode resistivity merupakan salah satu metode pengukuran geofisika yang menitikberatkan pada potensial listrik dari berbagai tahanan jenis batuan di bawah permukaan bumi (Ambarsari, 2013).

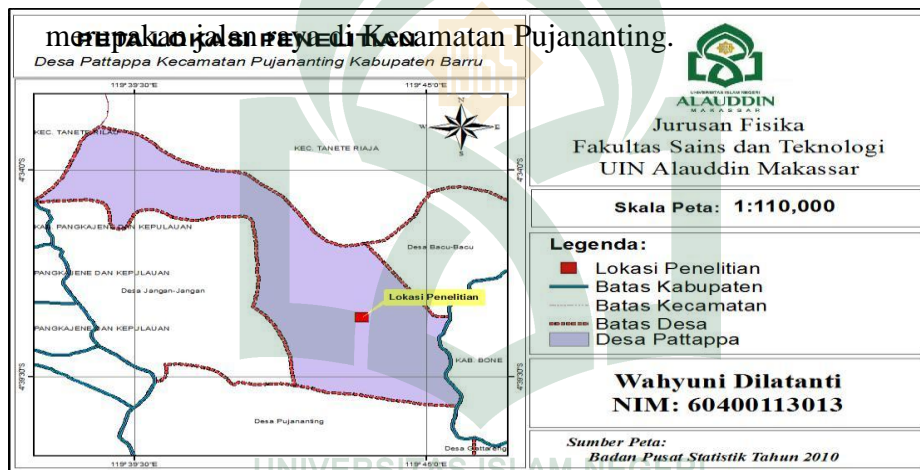


## BAB III

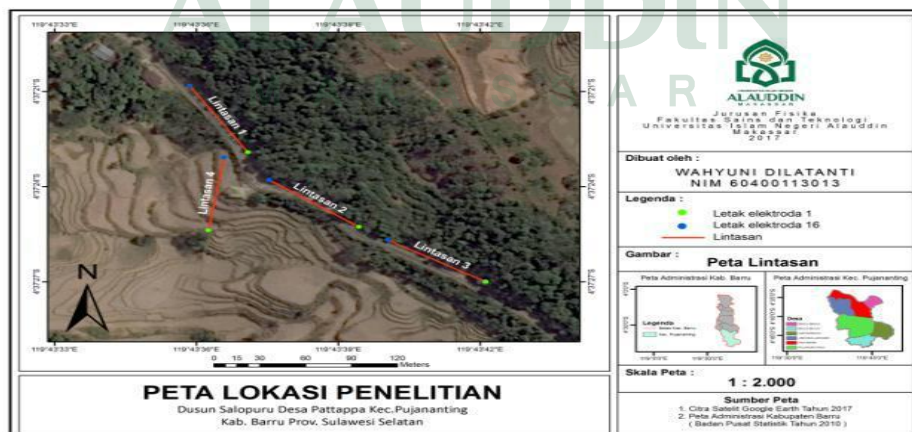
### METODE PENELITIAN

#### 3.1 Waktu dan Tempat Penelitian

Penelitian ini telah dilaksanakan pada hari Senin 10 Juli 2017 bertempat di Dusun Salopuru Desa Pattappa Kecamatan Pujananting Kabupaten Barru dengan titik koordinat lintasan 1 yaitu  $4^{\circ}37'22,92''$  LS dan  $119^{\circ}43'37,09''$  BT Lintasan 2 yaitu  $4^{\circ}37'25,27''$  LS dan  $119^{\circ}43'39,44''$  BT, lintasan 3 yaitu  $4^{\circ}37'27''$  LS dan  $119^{\circ}43'42,12''$  BT dan lintasan 4 yaitu yaitu  $4^{\circ}37'25,38''$  LS dan  $119^{\circ}43'36,25''$  BT yang



(a)



(b)

Gambar 3.1 (a) Peta Lokasi Penelitian (b) Peta Lintasan

### 3.2 Alat dan Bahan

Alat dan bahan yang digunakan dalam penelitian ini adalah sebagai berikut:

1. 1 unit Resistivimeter Multichannel
2. 16 Batang elektroda
3. 2 Kabel gulungan
4. 2 Meteran
5. 3 Palu Geologi
6. 1 Laptop
7. 1 GPS *Garmin (Global Positioning System)* berfungsi untuk menentukan titik koordinat setiap lintasan.
8. 2 buah aki masing-masing 12 volt Kabel konektor aki-resistivimeter
9. Kabel konektor aki-laptop
10. Perangkat lunak (Ms. Office Excel 2007, Res2Dinv, Notepad).
11. Endapan Mineral

### 3.3 Prosedur Kerja

Prosedur kerja dari penelitian ini adalah sebagai berikut :

#### 3.3.1 Tahap akuisisi data

Beberapa hal tahapan akuisisi yang dilakukan adalah sebagai berikut :

- a. Menyiapkan alat dan bahan.



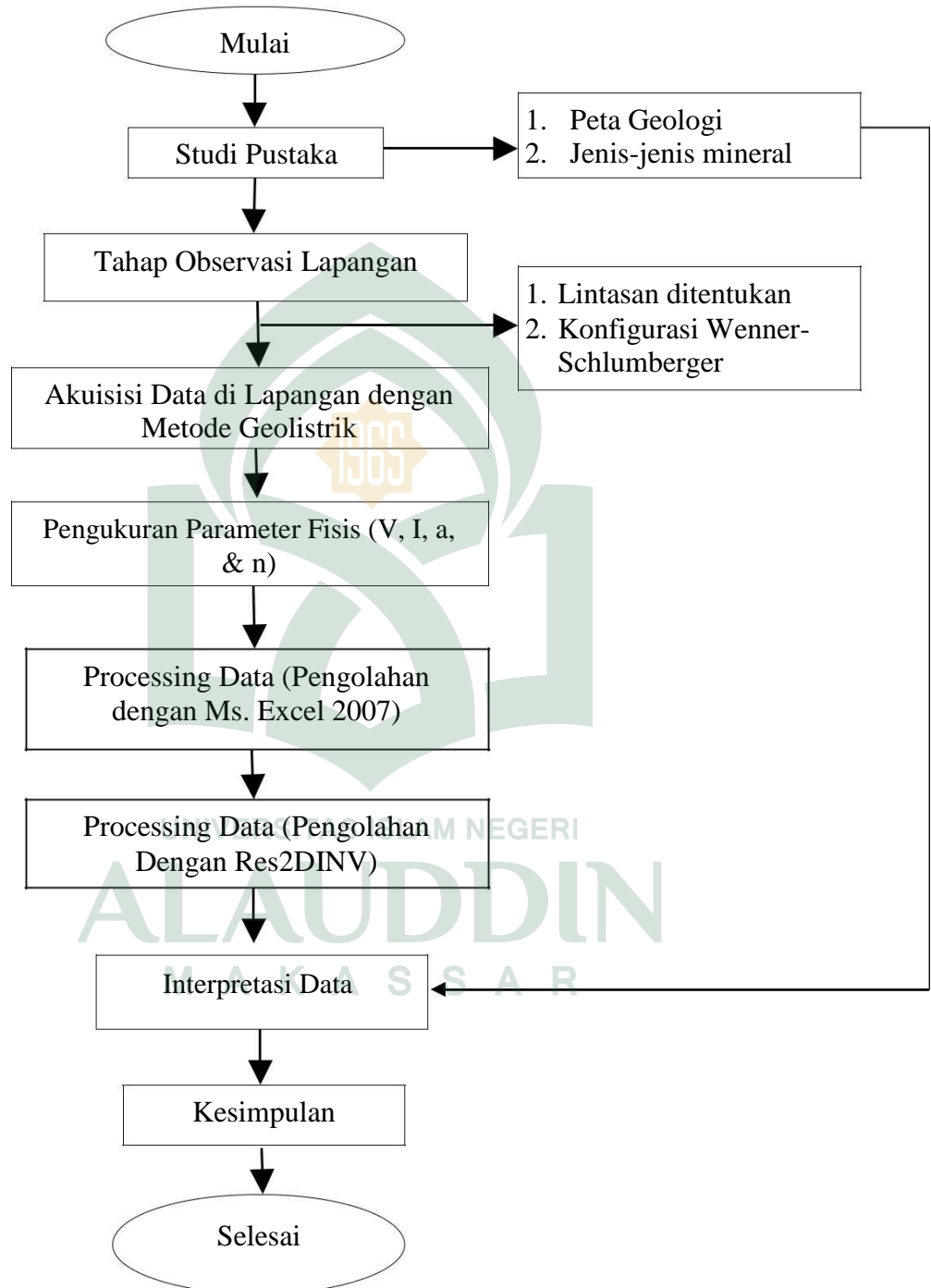
Gambar 3.2. Resistivity *Multichannel*

- b. Membentangkan meteran untuk mengukur panjang lintasan yaitu sepanjang 75 meter.
- c. Menancapkan elektroda arus dan elektroda potensial sebanyak 16 buah. Masing-masing elektroda ditancapkan dengan spasi 5 meter.
- d. Menancapkan kayu di dekat elektroda sebagai tanda adanya elektroda.
- e. Menentukan posisi (koordinat) setiap elektroda menggunakan GPS.
- f. Membentangkan kabel sesuai panjang lintasan yang telah diukur sebelumnya.
- g. Menghubungkan kabel ke setiap elektroda dengan jepitan yang terdapat pada kabel, kabel dan elektroda harus betul-betul terhubung dengan baik demi kelancaran pengukuran dan data yang diperoleh baik.
- h. Mengecek kembali masing-masing elektroda untuk memastikan apakah kabel sudah menancap dengan baik. Apabila tidak ada masalah, laptop dihidupkan dan pengukuran dapat segera dilakukan.
- i. Setelah semua elektroda sudah terhubung baik dengan kabel dan kabel sudah terhubung baik ke resistivimeter, maka pengukuran sudah dapat dimulai.
- j. Melakukan pengecekan data yang didapatkan dari pengukuran otomatis untuk memastikan kualitas data yang diperoleh. Jika ada data yang hilang atau ada data yang ingin diperbaiki, maka dapat dilakukan pengambilan data ulang.
- k. Setelah proses pengukuran selesai dan kualitas data telah dianggap baik, maka pengukuran pada lintasan tersebut telah selesai. Alat dimatikan, semua konektor dicabut, kemudian kabel dan konektor dibereskan untuk menuju ke lintasan selanjutnya.
- l. Data yang diperoleh berupa arus, beda potensial, resistivitas.



### 3.5 Diagram Alir Penelitian

Diagram alir pada penelitian ini adaah sebagai berikut :



## BAB IV

### HASIL DAN PEMBAHASAN

#### 4.1 Kondisi Umum Lokasi Penelitian

Lokasi penelitian secara administratif terletak di Dusun Salopuru Desa Pattappa Kecamatan Pujananting Kabupaten Barru Provinsi Sulawesi Selatan. Secara geografis daerah ini terletak pada koordinat  $4^{\circ}37'54,79''$  LS dan  $119^{\circ}43'48,03''$  BT. Lokasi penelitian terletak di pinggir jalan raya yang menghubungkan antara Kecamatan Pujananting dan Kota Barru. Lokasi penelitian terletak di pinggir jalan yang terjal yang menyebabkan terjadinya longsor di lokasi ini, sehingga menyebabkan sebagian badan jalan runtuh. Penelitian ini terdiri atas 4 lintasan yang mana lintasan 1 (pertama) dan lintasan 4 (keempat) terlihat singkapan batubara.

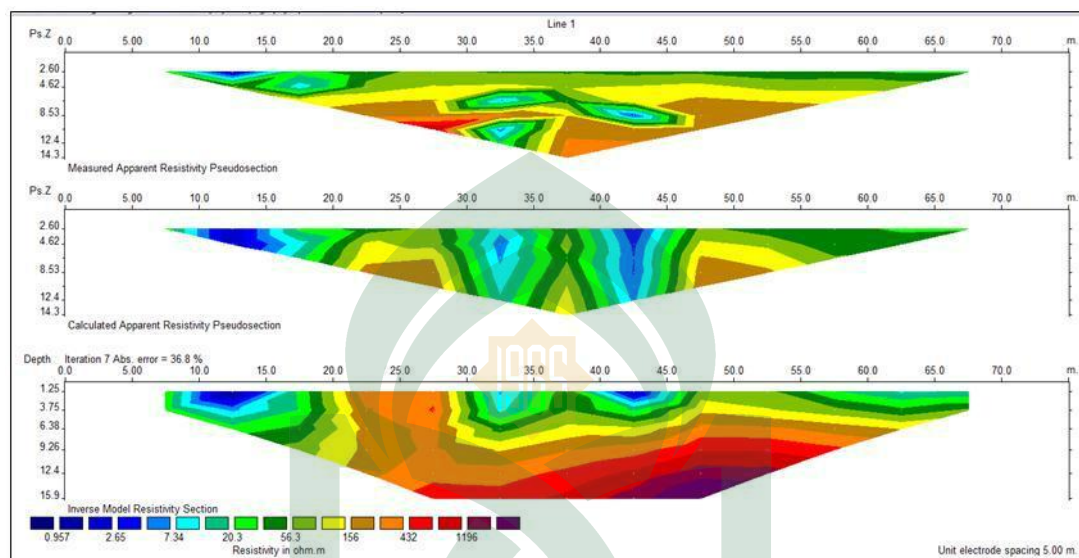
Penelitian ini meliputi pengukuran arus (I) dan tegangan (V) dengan menggunakan metode Geolistrik Resistivitas konfigurasi *Wenner-Schlumberger*. *Wenner Schlumberger* baik digunakan karena penetrasi kedalamannya cukup baik jadi dapat mengetahui resistivitas batuan dari kedalaman yang cukup dalam. Pengukuran dilakukan sebanyak 4 lintasan. Data dari hasil pengukuran di lapangan berbentuk *dat.file*, data tersebut kemudian diinversi dengan menggunakan software *Res2dinv* untuk memperoleh penampang 2D, Penampang 2D hasil inversi memberikan informasi mengenai distribusi nilai resistivitas batuan di bawah permukaan pada setiap lintasan pengukuran

#### 4.2 Sebaran Mineral

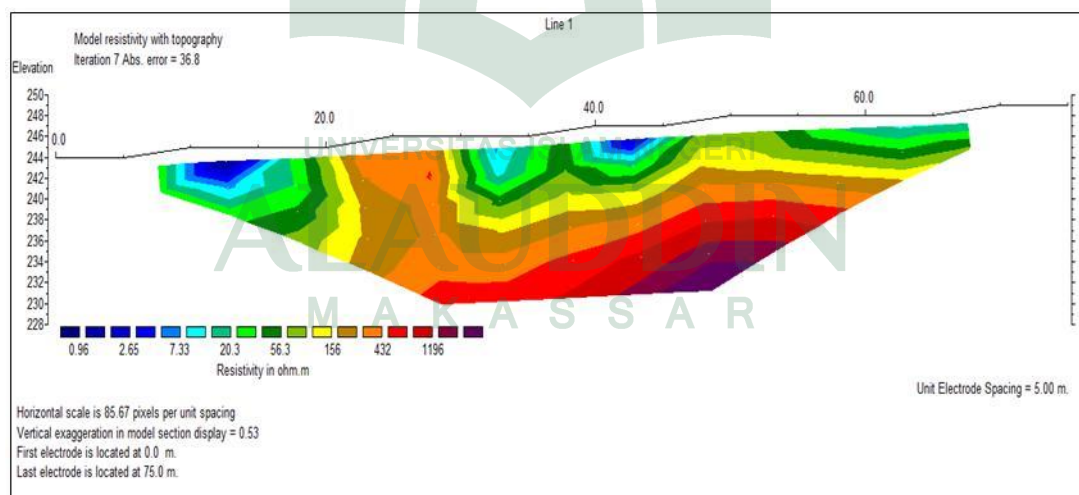
##### 4.2.1 Lintasan 1 (Pertama)

Pada lintasan 1 terletak pada koordinat  $4^{\circ}37'22,92''$  -  $4^{\circ}37'20,82''$  LS dan  $119^{\circ}43'37,09''$  -  $119^{\circ}43'35,86''$  BT menggunakan spasi terkecil 5 m dengan panjang lintasan 75 m, dengan konfigurasi *wenner schlumberger* dengan datum 49

datum point (dp), sedangkan kedalaman maksimal yang terukur berdasarkan hasil inversi yaitu 15,9 m dengan nilai resistivitas berada pada rentang 0,17  $\Omega\text{m}$  – 4274,2  $\Omega\text{m}$ , berikut data hasil inversi tanpa topografi dan dengan topografi dengan menggunakan Res2dinv, yaitu :



Gambar 4.1 (a) Penampang hasil inversi tanpa topografi



Gambar 4.1 (b) Penampang hasil inversi dengan nilai topografi lintasan Pada gambar 4.1 (a) merupakan gambar penampang tanpa nilai topografi yang mana penampang pertama merupakan penampang hasil nilai observasi, gambar kedua merupakan penampang hasil kalkulasi, dan penampang ketiga

merupakan penampang selisih antara penampang hasil observasi dan penampang hasil nilai kalkulasi. Pada gambar 4.1 dapat diketahui beberapa mineral yang berada di daerah itu dengan mengetahui nilai resistivitasnya. Berdasarkan keadaan geologinya, lokasi penelitian termasuk formasi tonasa yang mana batuan yang terdapat di formasi tonasa adalah batugamping, napal, batupasir, lanau, dan lempung. Berdasarkan gambar 4,1 (a) dan (b) sebaran mineral dapat dilihat dari tabel berikut :

Tabel 4.1 Tabel sebaran mineral pada lintasan 1 (pertama)

No	LINTASAN 1		
	Resistivitas ( $\Omega$ m)	Kedalaman (m)	Mineral
1	0,74 -13,815	1,8 – 4,8	Lanau dengan Sisipan Kuarsa
2	13,815 - 38,3	4 – 6,7	Kuarsa dan Clay
3	38,3 - 156	6,7 – 9,4	Clay, Lanau, dengan Sisipan Batubara
4	156 – 432	9,4 – 13,9	Mineral Kuarsa
5	432 - 4274	14 – 15,3	Mineral Kalsit

Berdasarkan tabel 4.1 dari hasil interpretasi maka dapat dilihat bahwa pada lintasan 1 (pertama) batuan yang terdapat di daerah itu adalah batu pasir, lanau, lempung, batubara, dan batugamping. Dari beberapa batuan tersebut maka dapat diketahui mineral yang ada di dalamnya. Di dalam batupasir terdapat semen yang mengikat pasir dan biasanya terdiri dari partikel matriks (lanau dan lempung) yang menempati ruang antar butiran pasir, mineral utama pembentuk batupasir adalah mineral *kuarsa*. Lanau dan mineral *clay* tersebar merata pada jarak 8 m – 39 m dari elektroda pertama. Mineral *kuarsa* biasanya paling banyak membentuk butiran pasir. Mineral *kuarsa* didapatkan merata pada jarak 8 m – 61 m dari elektroda pertama.



Pada lokasi penelitian terdapat singkapan batubara yang meliputi data lokasi geografis ditemukannya singkapan, batuan yang mengandung endapan batubara yaitu semua batuan yang berbutir halus, seperti batulempung dan batulanau yang terdapat di lokasi penelitian. Singkapan batubara tersebar merata pada jarak 29 m – 65 m dari elektroda pertama. Lokasi penelitian termasuk dalam formasi tonasa yang mana batugamping merupakan penyusun utama dari formasi ini. Mineral utama pembentuk batu gamping adalah mineral *kalsit* yang tersebar merata pada jarak 23 m – 59 m dari elektroda pertama. Penyebaran mineral merata pada jarak tertentu saja disebabkan karena pada daerah itu terjadi patahan atau sesar geser yang menyebabkan kondisi geologi pada daerah itu berubah.

#### 4.2.2 Lintasan 2 (Kedua)

Pada lintasan 2 terletak pada koordinat  $4^{\circ}37'25,27''$  -  $4^{\circ}37'23,79''$  LS dan  $119^{\circ}39',44''$  -  $119^{\circ}43'37,54''$  BT menggunakan spasi terkecil 5 m dengan panjang lintasan 75 m, dengan konfigurasi wenner schlumberger dengan datum 49 datum point (dp). Sedangkan kedalaman maksimal yang terukur berdasarkan hasil inversi yaitu 15, 9 m dengan nilai resistivitas berada pada rentang  $0,54 \Omega\text{m}$  –  $2515, 7 \Omega\text{m}$ . Penampang hasil inversi pada lintasan kedua dapat dilihat pada lampiran 2 (Hasil inversi). Berdasarkan keadaan geologinya, lokasi penelitian termasuk formasi tonasa yang mana batuan yang terdapat di formasi tonasa adalah batugamping, batunapal, batupasir, batulanau, dan lempung. Sebaran mineral pada lintasan 2 dapat dilihat pada tabel berikut :

Tabel 4.2 Sebaran mineral pada lintasan 2 (Kedua)

No	LINTASAN 2		
	Resistivitas ( $\Omega\text{m}$ )	Kedalaman (m)	Mineral
1	0,54 - 13,6	1,8 - 3,4	Lanau dengan Sisipan Kuarsa
2	13,6 - 25,25	3,4 - 4,4	Kuarsa Dan Clay
3	25,25 - 99,6	4,4 - 6,33	Clay, Lanau, Dengan Sisipan Batubara
4	99,6 - 269	5,3 - 8,7	Mineral Kuarsa
5	269 - 2515,7	8,7 - 15,2	Mineral Kalsit

Berdasarkan tabel 4.2 dari hasil interpretasi maka dapat dilihat bahwa pada lintasan 2 (Kedua) batuan yang terdapat di daerah itu adalah batu pasir, lanau, lempung, batubara, dan batugamping. Dari beberapa batuan tersebut maka dapat diketahui mineral yang ada di dalamnya. Di lokasi ini terdapat beberapa mineral yang dapat diketahui dari nilai resistivitas batuan. Batuan yang terdapat di lokasi ini adalah batu lanau, lempung, batupasir, dan batugamping. Mineral yang dapat terbentuk dari batuan ini adalah lanau dengan sisipan kuarsa, mineral *kuarsa* dan *clay*, mineral *kuarsa*, dan mineral *kalsit* yang penyebarannya merata yaitu dari jarak 7 m - 67 m dari elektroda pertama. Penyebaran mineral merata pada jarak tertentu saja disebabkan karena pada daerah itu terjadi patahan atau sesar geser yang menyebabkan kondisi geologi pada daerah itu berubah.

#### 4.2.3 Lintasan 3 (Ketiga)

Pada lintasan 3 terletak pada koordinat  $4^{\circ}37'27''$  -  $4^{\circ}37'25,68''$  LS dan  $119^{\circ}43'42,12''$  -  $119^{\circ}43'40,05''$  BT menggunakan spasi terkecil 5 m dengan panjang lintasan 75 m, dengan konfigurasi wenner schlumberger dengan datum 49 datum point (dp). Sedangkan kedalaman maksimal yang terukur berdasarkan hasil inversi yaitu 15,9 m dengan nilai resistivitas berada pada rentang  $0,33 \Omega\text{m}$  - 487,

67  $\Omega$ m. Penampang hasil inversi pada lintasan ketiga dapat dilihat pada lampiran 2 (Hasil inversi). Berdasarkan keadaan geologinya, lokasi penelitian termasuk formasi tonasa yang mana batuan yang terdapat di formasi tonasa adalah batugamping, batunapal, batupasir, batulanau, dan lempung. Sebaran mineral pada lintasan 3 dapat dilihat pada tabel berikut :

Tabel 4.3 Tabel sebaran mineral pada lintasan 3 (Ketiga)

No	LINTASAN 3		
	Resistivitas ( $\Omega$ m)	Kedalaman (m)	Mineral
1	0,22 – 14,7	1,9 – 5,3	Lanau dengan Sisipan Kuarsa
2	14,7 – 39,4	5,4 – 7,02	Kuarsa dan Clay
3	39,4 – 105	7,09 – 10,9	Clay, Lanau, dengan Sisipan Batubara
4	109 – 487,67	8,7 – 15,2	Mineral Kalsit

Berdasarkan tabel 4.3 dari hasil interpretasi maka dapat dilihat bahwa pada lintasan 3 (Ketiga) batuan yang terdapat di daerah itu adalah batu pasir, lanau, lempung, batubara, dan batugamping. Dari beberapa batuan tersebut maka dapat diketahui mineral yang ada di dalamnya. Di dalam batupasir terdapat semen yang mengikat pasir dan biasanya terdiri dari partikel matriks (lanau/lempung) yang menempati ruang antar butiran pasir, mineral utama pembentuk batupasir adalah mineral *kuarsa*. Lanau, mineral *clay*, mineral *kuarsa* tersebar merata pada jarak 10 m – 37 m dari elektroda pertama. Mineral *kuarsa* biasanya paling banyak membentuk butiran pasir.

Pada lokasi penelitian terdapat singkapan batubara yang meliputi data lokasi geografis ditemukannya singkapan, batuan yang mengandung endapan batubara yaitu semua batuan yang berbutir halus, seperti batulempung dan batulanau yang terdapat di lokasi penelitian. Singkapan batubara tersebar merata

pada jarak 13 m – 67 m dari elektroda pertama. Lokasi penelitian termasuk dalam formasi tonasa yang mana batugamping merupakan penyusun utama dari formasi ini. Mineral utama pembentuk batu gamping adalah mineral *kalsit* yang tersebar merata pada jarak 20 m – 57 m dari elektroda pertama. Penyebaran mineral merata pada jarak tertentu saja disebabkan karena pada daerah itu terjadi patahan atau sesar geser yang menyebabkan kondisi geologi pada daerah itu berubah.

#### 4.2.4 Lintasan 4 (Keempat)

Pada lintasan 4 (keempat) terletak pada koordinat  $4^{\circ}37'25,38''$  -  $4^{\circ}37'23,08''$  LS dan  $119^{\circ}43'36,25''$  -  $119^{\circ}36,584''$  BT menggunakan spasi terkecil 5 m dengan panjang lintasan 75 m, dengan konfigurasi wenner schlumberger dengan datum 49 datum point (dp), Sedangkan kedalaman maksimal yang terukur berdasarkan hasil inversi yaitu 15,9 m dengan nilai resistivitas berada pada rentang  $1,12 \Omega\text{m}$  –  $810,92 \Omega\text{m}$ . Penampang hasil inversi pada lintasan keempat dapat dilihat pada lampiran 2 (Hasil inversi). Berdasarkan keadaan geologinya, lokasi penelitian termasuk formasi tonasa yang mana batuan yang terdapat di formasi tonasa adalah batugamping, batunapal, batupasir, batulanau, dan lempung. Sebaran mineral pada lintasan 4 dapat dilihat pada tabel berikut :

Tabel 4.4 Tabel Sebaran Mineral Lintasan 4

No	LINTASAN 4		
	Resistivitas ( $\Omega$ m)	Kedalaman (m)	Mineral
1	1,12 – 13,925	0,07– 4,42	Lanau dengan Sisipan Kuarsa
2	13,925 – 47,6	4,42 – 6,20	Kuarsa dan Clay
3	47,6 – 115	6,20 – 8,46	Clay, Lanau, dengan Sisipan Batubara
4	115 – 278	8,46 – 11,21	Mineral Kuarsa
5	278 – 810	11,21– 15,6	Mineral Kalsit

Berdasarkan tabel 4.4 dari hasil interpretasi maka dapat dilihat bahwa pada lintasan 4 (Keempat) batuan yang terdapat di daerah itu adalah batu pasir, lanau, lempung, batubara, dan batugamping. Dari beberapa batuan tersebut maka dapat diketahui mineral yang ada di dalamnya. Di dalam batupasir terdapat semen yang mengikat pasir dan biasanya terdiri dari partikel matriks (lanau/lempung) yang menempati ruang antar butiran pasir, mineral utama pembentuk batupasir adalah mineral *kuarsa*. Lanau, mineral *clay* tersebar merata pada jarak 8,8 m – 46 m dari elektroda, mineral *kuarsa* tersebar merata pada jarak 7,59 m – 67 m dari elektroda pertama. Mineral kuarsa biasanya paling banyak membentuk butiran pasir.

Pada lokasi penelitian terdapat singkapan batubara yang meliputi data lokasi geografis ditemukannya singkapan, batuan yang mengandung endapan batubara yaitu semua batuan yang berbutir halus, seperti batulempung dan batulanau yang terdapat di lokasi penelitian. Singkapan batubara tersebar merata pada jarak 7,59 m – 67 m dari elektroda pertama. Lokasi penelitian termasuk dalam formasi tonasa yang mana batugamping merupakan penyusun utama dari formasi ini. Mineral utama pembentuk batu gamping adalah mineral *kalsit* yang tersebar merata pada jarak 7,59 m – 67 m dari elektroda pertama. Penyebaran

mineral merata pada jarak tertentu saja disebabkan karena pada daerah itu terjadi patahan atau sesar geser yang menyebabkan kondisi geologi pada daerah itu berubah.



## **BAB V**

### **PENUTUP**

#### **5.1 Kesimpulan**

Berdasarkan hasil penelitian yang telah dilakukan di Desa Pattappa Kecamatan Pujananting Kabupaten Barru menggunakan metode Geolistrik konfigurasi Wenner-Schlumberger dari hasil interpretasi maka dapat disimpulkan bahwa sebaran mineral pada lintasan 1 adalah mineral kuarsa, clay, batubara, kuarsa, dan kalsit dengan nilai resistivitas 0,74 – 4274  $\Omega$ m pada kedalaman 1,8 m – 15,3 m. Sebaran mineral pada lintasan 2 adalah mineral kuarsa, clay, batubara, kuarsa, dan kalsit dengan nilai resistivitas 0,54  $\Omega$ m – 2515,7  $\Omega$ m pada kedalaman 1,8 m – 15,2 m. Sebaran mineral pada lintasan 3 adalah lanau dengan sisipan kuarsa, clay, batubara, kuarsa, dan kalsit dengan nilai resistivitas 0,22  $\Omega$ m – 487,67  $\Omega$ m pada kedalaman 1,9 m – 15,2 m. Serta sebaran mineral pada lintasan 4 adalah mineral kuarsa, clay, kuarsa, dan kalsit dengan nilai resistivitas 1,12  $\Omega$ m – 810  $\Omega$ m pada kedalaman 0,07 m – 15,6 m.

#### **5.2 Saran**

Setelah melakukan penelitian ini maka saran yang dapat diberikan untuk penelitian selanjutnya adalah sebaiknya dilakukan analisis Geokimia, yaitu *X-Ray Diffraction* (XRD) atau *X-Ray Fluorescence* (XRF) di laboratorium untuk mengetahui lebih detail kandungan mineralnya.

## DAFTAR PUSTAKA

- Adhi, P. M., A. H. Muhtadi., P. Achmari., Z.I. Sina., I.J. Aziz., P.F. Subekti. *Metode Tahanan Jenis Konfigurasi Wenner*. Indonesia: Institut Teknologi Bandung. 2011.
- Averiil, L. *Geologi dan Potensi Batugamping untuk Bahan Baku Semen Daerah Klapanunggal dan Sekitarnya Kecamatan Gunung Putrid dan Cileungsi-Kabupaten Bogor-Jawa Barat*. t.th
- Bahri. *Hand Out Mata Kuliah Geofisika Lingkungan dengan topic Metoda Geolistrik Resistivitas*. Surabaya.InstitutTeknologi Surabaya. 2005.
- Bantar Gebang dengan Metode Resistivity Wenner Schlumberger. Skripsi.
- Cakrawardana , Saparuddin. *Perhitungan Cadangan Endapan Kromit berdasarkan Metoda Panning Daerah Ambunu, Kecamatan Bungku Barat, Kabupaten Morowali, Provinsi Sulawesi Tengah*. t. th
- Chitraningrum, Nidya. *Sifat Mineral Clay*. FMIPA UI : 2008.
- Daud, Dr. yunus. *DC Resistivity Notes. Depok: Peminatan Geofisika Departemen Fisika UI*. 2007
- Hendrajaya, Lilik dan Arif, Idam. 1990. *Geolistrik Tahanan Jenis*. Institut Teknologi Bandung. Bandung
- Hendrajaya, Lilik dan Arif, Idam. *Geolistrik Tahanan Jenis*. Bandung: InstitutTeknologi Bandung. 1990.
- Kinayung Satria, dkk. *Aplikasi Metode Geolistrik Resistivitas Konfigurasi Dipole-Dipole Untuk Identifikasi Potensi Sebaran Galena (Pbs) Daerah-X, Kabupaten Wonogiri*. Universitas Sebelas Maret Surakarta. 2014.
- Lilik Hendrajaya dan Idam Arif. *Monograf, Geolistrik Tahanan Jenis. Laboratorium Fisika Bumi ITB*. Bandung. 1990.
- Loke, M.,H., *Tutorial : 2-D And 3-D Electrical Imaging Surveys*. Malaysia, Penang. 1996-2004.
- Mansur, Rosdiana. *Identifikasi Arah Rembesan Dan Letak Akumulasi Lindi Dengan Metode Geolistrik Resistivitas di Tempat Pembuangan Akhir (Tpa) Tamangapa Makassar*. UIN : Makassar. 2011
- Nabil, Muhammad. *Geologi dan Analisis Rekahan Pada Batuan Dasar Daerah Bulu Mareno dan Sekitarnya, Kecamatan Pujananting, Kabupaten Barru, Sulawesi Selatan*. ITB : Bandung. 2014
- Noor, Djauhari. *Pengantar Geologi. Edisi Kedua*. UP : Pakuan. 2012



- Noor, Djauhari. Pengantar Geologi. Edisi pertama. UP : Pakuan. 2009
- Parlinggoman, R. H. *Studi Sebaran Air Limbah Sampah Bagian Utara TP*. Jakarta: Universitas Indonesia. 2011.
- Pertambangan dan energi. <http://barrukab.go.id/investasi/pertambangan-energi/>  
(Diakses 27 Februari 2017)
- Sugihartono. *Mengenal Lempung/Tanah Liat sebagai Bahan Pokok untuk Produk Keramik*. Widyaiswara PPPPTK Seni dan Budaya Yogyakarta. t.th.
- Sukamto Rab dan Supriatna. *Geologi Lembar Pangkajene dan Watampone Bagian Barat, Sulawesi Selatan*. 1982. Skala 1:250.000. AMS.
- Telford, W. M., Geldart, L. P., Sherif, R.E Dan Keys, D. D. *Applied Geophysics First Edition*. New York: Cambridge University Press. Cambridge. 1988.
- Yulianto A., Bijaksana S., Loeksmanto W., *Comparative Study On Magnetic Characterization Of Iron Sand From Several Locations In Central Java, Kontribusi Fisika Indonesia*. Vol. 14 No.2. 2003.

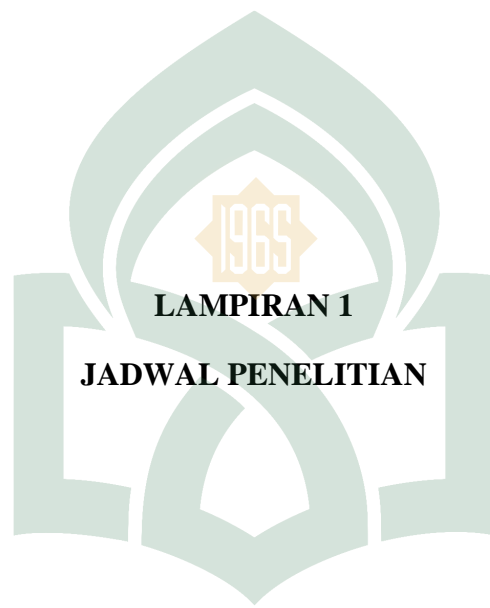
## RIWAYAT HIDUP

Wahyuni Dilatanti atau sering dipanggil Uni, adalah anak pertama dari 3 bersaudara dari pasangan Bapak Jufri dan ibu Nurmiati yang lahir di Kampung Baru, Kel. Jawi-Jawi, Kec. Bulukumpa, Kab. Bulukumba Sulawesi Selatan, pada tanggal 19 September 1995. Pada tahun 2001



penulis memulai pendidikan di sekolah dasar SD 278 Kab. Bulukumba, kemudian pada tahun 2007 penulis melanjutkan sekolah di sekolah menengah pertama di SMP 14 Bulukumba, kemudian pada tahun 2010 penulis melanjutkan pendidikan di SMA Negeri 2 Bulukumba, dan lulus pada tahun 2013. Dan pada tahun 2013 penulis melanjutkan pendidikan di salah satu perguruan tinggi negeri di Universitas Islam Negeri Alauddin Makassar, Fakultas Sains dan Teknologi Jurusan Fisika.

UNIVERSITAS ISLAM NEGERI  
**ALAUDDIN**  
M A K A S S A R



**LAMPIRAN 1**

**JADWAL PENELITIAN**

UNIVERSITAS ISLAM NEGERI  
**ALAUDDIN**  
M A K A S S A R





UNIVERSITAS ISLAM NEGERI  
**ALAUDDIN**  
M A K A S S A R

### DATA HASIL PENGUKURAN LAPANGAN

Pengukuran dilapangan dilakukan dengan menginjeksikan arus kemudian arus tersebut diterima oleh elektroda potensial. Adapun data hasil lapangan yang diperoleh di lapangan adalah datum yang merupakan kumpulan dari beberapa data, datum level (*depth*), posisi elektroda arus positif (A), posisi elektroda arus negatif (B), Potensial diri batuan (*self potensial/SP*), nilai arus (I), nilai beda potensial (V), serta waktu setiap pembacaan datum. Pengukuran di lapangan dilakukan sebanyak 4 lintasan.

#### Lintasan 1

Datum	Depth	Axis	A	M	N	B	SP	I:AB (A)	V:MN (Volt)	Time
1	1	1	1	2	3	4	1.41	1.284	2.519	10:32:19
2	1	2	2	3	4	5	0.542	1.285	0.608	10:32:31
3	1	3	3	4	5	6	0.332	1.285	1.314	10:32:42
4	1	4	4	5	6	7	1.497	1.283	3.557	10:32:53
5	1	5	5	6	7	8	0.001	1.285	2.55	10:33:04
6	1	6	6	7	8	9	2.691	1.286	0.543	10:33:15
7	1	7	7	8	9	10	0.176	1.284	2.313	10:33:26
8	1	8	8	9	10	11	1.023	1.286	2.968	10:33:37
9	1	9	9	10	11	12	1.485	1.288	3.517	10:33:48
10	1	10	10	11	12	13	0.329	1.287	1.941	10:33:59
11	1	11	11	12	13	14	1.181	1.285	2.824	10:34:10
12	1	12	12	13	14	15	0.732	1.286	1.952	10:34:21
13	1	13	13	14	15	16	0.888	1.289	2.169	10:34:32
14	2	1	1	3	4	6	3.386	1.286	3.8	10:34:43
15	2	2	2	4	5	7	0.268	1.286	0.329	10:34:54
16	2	3	3	5	6	8	3.422	1.285	3.832	10:35:05
17	2	4	4	6	7	9	0.46	1.287	1.13	10:35:17
18	2	5	5	7	8	10	1.297	1.287	2.02	10:35:28
19	2	6	6	8	9	11	0.006	1.289	0.624	10:35:39

20	2	7	7	9	10	12	0.354	1.288	1.014	10:35:50
21	2	8	8	10	11	13	1.015	1.288	1.763	10:36:01
22	2	9	9	11	12	14	0.618	1.286	1.171	10:36:12
23	2	10	10	12	13	15	1.857	1.286	2.401	10:36:24
24	2	11	11	13	14	16	2.102	1.291	2.649	10:36:35
25	3	1	1	4	5	8	0.001	1.287	0.275	10:36:46
26	3	2	2	5	6	9	0.608	1.289	0.944	10:36:57
27	3	3	3	6	7	10	0.898	1.289	0.532	10:37:08
28	3	4	4	7	8	11	0.669	1.29	0.684	10:37:20
29	3	5	5	8	9	12	0.085	1.291	0.187	10:37:30
30	3	6	6	9	10	13	0.194	1.291	0.491	10:37:41
31	3	7	7	10	11	14	0.487	1.285	0.876	10:37:53
32	3	8	8	11	12	15	2.238	1.286	2.582	10:38:04
33	3	9	9	12	13	16	1.774	1.291	2.092	10:38:14
34	4	1	1	5	6	10	0.253	1.289	0.467	10:38:25
35	4	2	2	6	7	11	1.232	1.291	1.008	10:38:36
36	4	3	3	7	8	12	2.561	1.291	2.859	10:38:47
37	4	4	4	8	9	13	0.829	1.292	0.671	10:38:58
38	4	5	5	9	10	14	0.642	1.288	0.638	10:39:09
39	4	6	6	10	11	15	0.582	1.288	0.81	10:39:20
40	4	7	7	11	12	16	2.239	1.29	2.468	10:39:31
41	5	1	1	6	7	12	2.44	1.291	1.887	10:39:43
42	5	2	2	7	8	13	0.663	1.291	0.66	10:39:54
43	5	3	3	8	9	14	0.698	1.287	0.577	10:40:05
44	5	4	4	9	10	15	3.815	1.287	3.917	10:40:16
45	5	5	5	10	11	16	0.582	1.292	0.716	10:40:27
46	6	1	1	7	8	14	0.586	1.287	0.592	10:40:38
47	6	2	2	8	9	15	0.646	1.288	0.556	10:40:49
48	6	3	3	9	10	16	3.151	1.292	3.238	10:41:00
49	7	1	1	8	9	16	0.647	1.292	0.575	10:41:11

## Lintasan 2

Datum	Depth	Axis	A	M	N	B	SP	I:AB (A)	V:MN (Volt)	Time
1	1	1	1	2	3	4	0.396	1.266	0.592	8:32:33
2	1	2	2	3	4	5	0.674	1.267	0.735	8:32:44
3	1	3	3	4	5	6	0.704	1.264	1.829	8:32:55
4	1	4	4	5	6	7	1.165	1.265	1.758	8:33:06
5	1	5	5	6	7	8	2.292	1.268	1.67	8:33:17
6	1	6	6	7	8	9	0.406	1.261	0.501	8:33:28
7	1	7	7	8	9	10	0.677	1.262	0.213	8:33:38
8	1	8	8	9	10	11	1.809	1.267	2.68	8:33:49
9	1	9	9	10	11	12	1.554	1.26	2.466	8:34:01
10	1	10	10	11	12	13	0.102	1.264	0.738	8:34:12
11	1	11	11	12	13	14	0.926	1.263	1.891	8:34:23
12	1	12	12	13	14	15	1.203	1.269	2.039	8:34:33
13	1	13	13	14	15	16	0.863	1.27	0.066	8:34:44
14	2	1	1	3	4	6	1.656	1.271	0.451	8:34:55
15	2	2	2	4	5	7	0.21	1.268	0.09	8:35:06
16	2	3	3	5	6	8	1.659	1.267	0.442	8:35:16
17	2	4	4	6	7	9	1.178	1.264	0.945	8:35:27
18	2	5	5	7	8	10	2.985	1.267	3.315	8:35:38
19	2	6	6	8	9	11	1.327	1.269	1.069	8:35:48
20	2	7	7	9	10	12	1.466	1.267	1.753	8:35:59
21	2	8	8	10	11	13	1.105	1.272	1.402	8:36:10
22	2	9	9	11	12	14	0.535	1.257	0.279	8:36:21
23	2	10	10	12	13	15	1.9	1.266	2.205	8:36:32
24	2	11	11	13	14	16	2.341	1.269	2.675	8:36:43
25	3	1	1	4	5	8	0.102	1.272	0.319	8:36:54
26	3	2	2	5	6	9	1.942	1.265	2.175	8:37:04
27	3	3	3	6	7	10	1.626	1.262	0.374	8:37:15
28	3	4	4	7	8	11	0.83	1.269	0.816	8:37:26
29	3	5	5	8	9	12	0.441	1.272	0.296	8:37:37
30	3	6	6	9	10	13	1.117	1.272	1.271	8:37:48
31	3	7	7	10	11	14	0.035	1.264	0.17	8:37:59
32	3	8	8	11	12	15	1.877	1.273	2.05	8:38:10
33	3	9	9	12	13	16	1.745	1.265	1.948	8:38:21
34	4	1	1	5	6	10	0.334	1.267	0.474	8:38:32
35	4	2	2	6	7	11	3.076	1.271	3.402	8:38:43



36	4	3	3	7	8	12	3.309	1.267	3.466	8:38:53
37	4	4	4	8	9	13	0.007	1.274	0.155	8:39:05
38	4	5	5	9	10	14	0.844	1.271	0.831	8:39:16
39	4	6	6	10	11	15	0.981	1.275	2.11	8:39:27
40	4	7	7	11	12	16	0.582	1.269	0.685	8:39:38
41	5	1	1	6	7	12	1.129	1.271	0.506	8:39:49
42	5	2	2	7	8	13	3.031	1.275	2.84	8:40:00
43	5	3	3	8	9	14	0.537	1.265	0.643	8:40:12
44	5	4	4	9	10	15	0.571	1.275	0.568	8:40:23
45	5	5	5	10	11	16	1.214	1.275	1.328	8:40:34
46	6	1	1	7	8	14	2.558	1.27	2.633	8:40:44
47	6	2	2	8	9	15	0.637	1.275	0.698	8:40:55
48	6	3	3	9	10	16	0.489	1.271	0.488	8:41:06
49	7	1	1	8	9	16	0.564	1.275	0.621	8:41:17

## Lintasan 3

Datum	Depth	Axis	A	M	N	B	SP	I:AB (A)	V:MN (Volt)	Time
1	1	1	1	2	3	4	1.815	1.291	1.034	9:57:08
2	1	2	2	3	4	5	1.191	1.291	1.204	9:57:19
3	1	3	3	4	5	6	0.884	1.291	1.276	9:57:29
4	1	4	4	5	6	7	2.097	1.292	2.552	9:57:40
5	1	5	5	6	7	8	1.128	1.292	1.5	9:57:52
6	1	6	6	7	8	9	2.659	1.29	2.72	9:58:03
7	1	7	7	8	9	10	1.702	1.293	1.587	9:58:14
8	1	8	8	9	10	11	1.887	1.29	0.515	9:58:25
9	1	9	9	10	11	12	2.228	1.289	1.342	9:58:36
10	1	10	10	11	12	13	1.516	1.284	0.426	9:58:47
11	1	11	11	12	13	14	2.258	1.284	0.437	9:58:58
12	1	12	12	13	14	15	0.114	1.289	2.423	9:59:09
13	1	13	13	14	15	16	1.319	1.283	3.751	9:59:20
14	2	1	1	3	4	6	1.779	1.291	2.078	9:59:31
15	2	2	2	4	5	7	0.227	1.292	0.048	9:59:42
16	2	3	3	5	6	8	0.89	1.292	0.893	9:59:53
17	2	4	4	6	7	9	0.502	1.291	0.656	10:00:04
18	2	5	5	7	8	10	1.409	1.293	2.049	10:00:15
19	2	6	6	8	9	11	0.742	1.291	2.388	10:00:27

20	2	7	7	9	10	12	0.583	1.292	1.536	10:00:37
21	2	8	8	10	11	13	1.419	1.284	2.197	10:00:48
22	2	9	9	11	12	14	0.338	1.285	0.438	10:00:59
23	2	10	10	12	13	15	2.391	1.291	3.084	10:01:10
24	2	11	11	13	14	16	1.169	1.292	1.674	10:01:21
25	3	1	1	4	5	8	0.361	1.293	0.202	10:01:32
26	3	2	2	5	6	9	1.197	1.292	1.336	10:01:43
27	3	3	3	6	7	10	0.405	1.294	0.652	10:01:54
28	3	4	4	7	8	11	0.824	1.293	0.835	10:02:05
29	3	5	5	8	9	12	0.428	1.293	2.638	10:02:16
30	3	6	6	9	10	13	0.161	1.286	0.598	10:02:27
31	3	7	7	10	11	14	1.007	1.289	1.313	10:02:38
32	3	8	8	11	12	15	1.645	1.292	2.094	10:02:49
33	3	9	9	12	13	16	2.387	1.293	0.412	10:03:00
34	4	1	1	5	6	10	0.585	1.294	0.621	10:03:11
35	4	2	2	6	7	11	0.269	1.293	0.439	10:03:22
36	4	3	3	7	8	12	2.068	1.293	2.216	10:03:34
37	4	4	4	8	9	13	0.407	1.288	0.464	10:03:45
38	4	5	5	9	10	14	0.77	1.29	0.72	10:03:56
39	4	6	6	10	11	15	1.287	1.293	1.5	10:04:07
40	4	7	7	11	12	16	1.307	1.296	1.615	10:04:17
41	5	1	1	6	7	12	1.277	1.294	0.777	10:04:28
42	5	2	2	7	8	13	0.516	1.287	0.502	10:04:39
43	5	3	3	8	9	14	0.19	1.289	0.258	10:04:51
44	5	4	4	9	10	15	0.579	1.294	0.552	10:05:02
45	5	5	5	10	11	16	0.941	1.296	1.109	10:05:13
46	6	1	1	7	8	14	3.761	1.289	3.833	10:05:24
47	6	2	2	8	9	15	0.125	1.293	0.144	10:05:35
48	6	3	3	9	10	16	0.516	1.296	0.496	10:05:46
49	7	1	1	8	9	16	0.118	1.295	0.097	10:05:57

## Lintasan 4

Datum	Depth	Axis	A	M	N	B	SP	I:AB (A)	V:MN (Volt)	Time
1	1	1	1	2	3	4	1.571	1.296	0.117	11:48:10
2	1	2	2	3	4	5	1.047	1.295	6.2.1	11:48:21
3	1	3	3	4	5	6	0.968	1.294	2.187	11:48:32
4	1	4	4	5	6	7	2.176	1.296	3.79	11:48:44
5	1	5	5	6	7	8	0.904	1.295	2.703	11:48:54
6	1	6	6	7	8	9	1.821	1.263	0.447	11:49:05
7	1	7	7	8	9	10	3.034	1.296	0.512	11:49:16
8	1	8	8	9	10	11	2.914	1.287	0.63	11:49:27
9	1	9	9	10	11	12	0.862	1.263	0.003	11:49:39
10	1	10	10	11	12	13	2.882	1.296	0.506	11:49:49
11	1	11	11	12	13	14	0.547	1.288	1.904	11:50:00
12	1	12	12	13	14	15	1.278	1.295	2.609	11:50:12
13	1	13	13	14	15	16	0.237	1.296	2.031	11:50:23
14	2	1	1	3	4	6	2.729	1.297	3.209	11:50:34
15	2	2	2	4	5	7	1.92	1.298	1.41	11:50:45
16	2	3	3	5	6	8	0.85	1.296	0.886	11:50:56
17	2	4	4	6	7	9	0.01	1.265	0.503	11:51:07
18	2	5	5	7	8	10	0.647	1.298	1.168	11:51:18
19	2	6	6	8	9	11	1.914	1.29	2.526	11:51:29
20	2	7	7	9	10	12	1.025	1.299	1.655	11:51:40
21	2	8	8	10	11	13	0.71	1.298	0.448	11:51:51
22	2	9	9	11	12	14	2.17	1.261	2.721	11:52:02
23	2	10	10	12	13	15	0.17	1.296	0.405	11:52:12
24	2	11	11	13	14	16	3.15	1.289	3.492	11:52:23
25	3	1	1	4	5	8	1.783	1.298	1.611	11:52:34
26	3	2	2	5	6	9	1.124	1.267	1.351	11:52:45
27	3	3	3	6	7	10	0.202	1.299	0.376	11:52:56
28	3	4	4	7	8	11	0.663	1.291	0.669	11:53:07
29	3	5	5	8	9	12	1.461	1.3	1.72	11:53:18
30	3	6	6	9	10	13	0.095	1.299	0.394	11:53:29
31	3	7	7	10	11	14	0.152	1.298	0.027	11:53:40
32	3	8	8	11	12	15	3.789	1.296	0.406	11:53:51
33	3	9	9	12	13	16	0.035	1.26	0.125	11:54:01
34	4	1	1	5	6	10	0.169	1.3	0.06	11:54:12
35	4	2	2	6	7	11	0.433	1.292	0.539	11:54:23

36	4	3	3	7	8	12	1.282	1.3	1.438	11:54:34
37	4	4	4	8	9	13	0.429	1.301	0.646	11:54:45
38	4	5	5	9	10	14	0.8	1.299	0.797	11:54:56
39	4	6	6	10	11	15	1.062	1.297	0.999	11:55:08
40	4	7	7	11	12	16	3.55	1.299	3.704	11:55:19
41	5	1	1	6	7	12	0.98	1.301	0.335	11:55:30
42	5	2	2	7	8	13	1.537	1.301	0.422	11:55:41
43	5	3	3	8	9	14	1.143	1.299	1.279	11:55:51
44	5	4	4	9	10	15	0.541	1.299	0.543	11:56:02
45	5	5	5	10	11	16	1.319	1.3	1.258	11:56:14
46	6	1	1	7	8	14	3.096	1.302	3.162	11:56:25
47	6	2	2	8	9	15	1.383	1.299	1.469	11:56:36
48	6	3	3	9	10	16	0.462	1.299	0.463	11:56:47
49	7	1	1	8	9	16	1.435	1.301	1.515	11:56:57

### DATA HASIL PENGOLAHAN DATA DI EXCEL

Berdasarkan data hasil pengukuran yang diperoleh di lapangan, data tersebut kemudian diolah kembali di Microsoft Office Excel. Spasi merupakan jarak antar elektroda yaitu 5 meter,  $a$  dan  $b$  merupakan jarak elektroda arus positif dan negatif yang dikalikan dengan nilai jarak elektroda arus positif dan negatif ( $A$  dan  $B$ ) yang diperoleh di lapangan,  $m$  dan  $n$  merupakan jarak elektroda potensial yang dikalikan dengan jarak elektroda potensial yang diperoleh di lapangan, datum point merupakan suatu titik yang berfungsi sebagai acuan atau dasar untuk pengukuran jumlah lainnya yang diperoleh dari pembagian hasil penjumlahan nilai  $m$  dan  $n$ , spasi level diperoleh dari hasil perkalian antara jarak spasi elektroda dengan datum level, faktor geometri atau sering dilambangkan dengan “ $K$ ” merupakan besaran yang penting dalam pendugaan tahanan jenis vertikal maupun horizontal. Besaran ini tetap untuk kepentingan eksplorasi dapat diperoleh berbagai variasi nilai tahanan jenis terhadap kedalaman. Hasil pengukuran di lapangan sesudah dihitung nilai tahanan jenisnya

merupakan fungsi dari konfigurasi elektroda dan berkaitan dengan kedalaman penetrasinya, serta resistivitas semu yang merupakan nilai tahanan yang diperoleh dari pengukuran beda potensial di sekitar tempat arus diinjeksikan. Data hasil pengukuran di lapangan dilakukan sebanyak 4 lintasan, jadi hasil pengolahan data di excel juga sebanyak 4 lintasan.

### Lintasan 1

Spasi (m)	A	M	N	B	datum point	spasi level	faktor geometri (m)	resistivita semu ( $\Omega m$ )
5	0	5	10	15	7.5	5	31.41592654	27.13416085
5	5	10	15	20	12.5	5	31.41592654	1.613580663
5	10	15	20	25	17.5	5	31.41592654	24.0081244
5	15	20	25	30	22.5	5	31.41592654	50.44178384
5	20	25	30	35	27.5	5	31.41592654	62.31844104
5	25	30	35	40	32.5	5	31.41592654	52.4738804
5	30	35	40	45	37.5	5	31.41592654	52.28647586
5	35	40	45	50	42.5	5	31.41592654	47.5147567
5	40	45	50	55	47.5	5	31.41592654	49.56301453
5	45	50	55	60	52.5	5	31.41592654	39.34924132
5	50	55	60	65	57.5	5	31.41592654	40.16837922
5	55	60	65	70	62.5	5	31.41592654	29.8036006
5	60	65	70	75	67.5	5	31.41592654	31.22094794
5	0	10	15	25	12.5	10	188.4955592	60.68208516
5	5	15	20	30	17.5	10	188.4955592	8.941080181
5	10	20	25	35	22.5	10	188.4955592	60.14255197
5	15	25	30	40	27.5	10	188.4955592	98.1290013
5	20	30	35	45	32.5	10	188.4955592	105.8914447
5	25	35	40	50	37.5	10	188.4955592	90.37257998
5	30	40	45	55	42.5	10	188.4955592	96.58933935
5	35	45	50	60	47.5	10	188.4955592	109.4679179
5	40	50	55	65	52.5	10	188.4955592	81.05602196
5	45	55	60	70	57.5	10	188.4955592	79.7368462

5	50	60	65	75	62.5	10	188.4955592	79.86605026
5	0	15	20	35	17.5	15	565.4866776	120.3911031
5	5	20	25	40	22.5	15	565.4866776	147.4038198
5	10	25	30	45	27.5	15	565.4866776	160.5648751
5	15	30	35	50	32.5	15	565.4866776	6.575426484
5	20	35	40	55	37.5	15	565.4866776	44.67826578
5	25	40	45	60	42.5	15	565.4866776	130.0925974
5	30	45	50	65	47.5	15	565.4866776	171.1862394
5	35	50	55	70	52.5	15	565.4866776	151.2654876
5	40	55	60	75	57.5	15	565.4866776	139.2910639
5	0	20	25	45	22.5	20	1256.637061	208.6270994
5	5	25	30	50	27.5	20	1256.637061	218.0377241
5	10	30	35	55	32.5	20	1256.637061	290.0680436
5	15	35	40	60	37.5	20	1256.637061	153.6754301
5	20	40	45	65	42.5	20	1256.637061	3.90259957
5	25	45	50	70	47.5	20	1256.637061	222.4481755
5	30	50	55	75	52.5	20	1256.637061	223.0774318
5	0	25	30	55	27.5	25	2356.19449	1009.276184
5	5	30	35	60	32.5	25	2356.19449	5.475277669
5	10	35	40	65	37.5	25	2356.19449	221.5225589
5	15	40	45	70	42.5	25	2356.19449	186.7380249
5	20	45	50	75	47.5	25	2356.19449	244.3731128
5	0	30	35	65	32.5	30	3958.406744	18.45411069
5	5	35	40	70	37.5	30	3958.406744	276.5967445
5	10	40	45	75	42.5	30	3958.406744	266.5490609
5	0	35	40	75	37.5	35	6157.521601	343.1436186

## Lintasan 2

Spasi (m)	A	M	N	B	Datum Point	Spasi Level	Faktor Geometri (m)	Resistivitas Semu ( $\Omega m$ )
5	0	5	10	15	7.5	5	31.41592654	4.863761138
5	5	10	15	20	12.5	5	31.41592654	1.51252685
5	10	15	20	25	17.5	5	31.41592654	27.96116879
5	15	20	25	30	22.5	5	31.41592654	14.72699165
5	20	25	30	35	27.5	5	31.41592654	15.41065166
5	25	30	35	40	32.5	5	31.41592654	2.366782729
5	30	35	40	45	37.5	5	31.41592654	11.55070516
5	35	40	45	50	42.5	5	31.41592654	21.59689977
5	40	45	50	55	47.5	5	31.41592654	22.73914683
5	45	50	55	60	52.5	5	31.41592654	15.80738076
5	50	55	60	65	57.5	5	31.41592654	24.00345931
5	55	60	65	70	62.5	5	31.41592654	20.69638659
5	60	65	70	75	67.5	5	31.41592654	19.71534917
5	0	10	15	25	12.5	10	188.4955592	178.7074342
5	5	15	20	30	17.5	10	188.4955592	17.83869646
5	10	20	25	35	22.5	10	188.4955592	181.0569026
5	15	25	30	40	27.5	10	188.4955592	34.74641242
5	20	30	35	45	32.5	10	188.4955592	49.09513381
5	25	35	40	50	37.5	10	188.4955592	38.32297421
5	30	40	45	55	42.5	10	188.4955592	42.6978891
5	35	45	50	60	47.5	10	188.4955592	44.01193482
5	40	50	55	65	52.5	10	188.4955592	38.38891262
5	45	55	60	70	57.5	10	188.4955592	45.41164736
5	50	60	65	75	62.5	10	188.4955592	49.61191235
5	0	15	20	35	17.5	15	565.4866776	96.4706046
5	5	20	25	40	22.5	15	565.4866776	104.1568347
5	10	25	30	45	27.5	15	565.4866776	561.0058006
5	15	30	35	50	32.5	15	565.4866776	6.238623709
5	20	35	40	55	37.5	15	565.4866776	64.46192473
5	25	40	45	60	42.5	15	565.4866776	68.46300972
5	30	45	50	65	47.5	15	565.4866776	60.39612459
5	35	50	55	70	52.5	15	565.4866776	76.84932854
5	40	55	60	75	57.5	15	565.4866776	90.74608345
5	0	20	25	45	22.5	20	1256.637061	138.8549239
5	5	25	30	50	27.5	20	1256.637061	322.3160362

5	10	30	35	55	32.5	20	1256.637061	155.715879
5	15	35	40	60	37.5	20	1256.637061	145.9829553
5	20	40	45	65	42.5	20	1256.637061	12.85309347
5	25	45	50	70	47.5	20	1256.637061	1112.739798
5	30	50	55	75	52.5	20	1256.637061	101.9965464
5	0	25	30	55	27.5	25	2356.19449	1154.924601
5	5	30	35	60	32.5	25	2356.19449	352.9671746
5	10	35	40	65	37.5	25	2356.19449	197.43606
5	15	40	45	70	42.5	25	2356.19449	5.543987036
5	20	45	50	75	47.5	25	2356.19449	210.6715074
5	0	30	35	65	32.5	30	3958.406744	233.7641778
5	5	35	40	70	37.5	30	3958.406744	189.3825971
5	10	40	45	75	42.5	30	3958.406744	3.114403417
5	0	35	40	75	37.5	35	6157.521601	275.2774363

## Lintasan 3

Spasi (m)	A	M	N	B	Datum Point	Spasi Level	Faktor Geometri (m)	Resistivitas Semu ( $\Omega$ m)
5	0	5	10	15	7.5	5	31.41592654	19.00529715
5	5	10	15	20	12.5	5	31.41592654	0.316349376
5	10	15	20	25	17.5	5	31.41592654	9.539150428
5	15	20	25	30	22.5	5	31.41592654	11.06365834
5	20	25	30	35	27.5	5	31.41592654	9.045452532
5	25	30	35	40	32.5	5	31.41592654	1.485559317
5	30	35	40	45	37.5	5	31.41592654	2.794146598
5	35	40	45	50	42.5	5	31.41592654	33.41290791
5	40	45	50	55	47.5	5	31.41592654	21.59387968
5	45	50	55	60	52.5	5	31.41592654	26.66928343
5	50	55	60	65	57.5	5	31.41592654	44.55483039
5	55	60	65	70	62.5	5	31.41592654	56.27569773
5	60	65	70	75	67.5	5	31.41592654	59.55068849
5	0	10	15	25	12.5	10	188.4955592	43.65621395
5	5	15	20	30	17.5	10	188.4955592	26.11509683
5	10	20	25	35	22.5	10	188.4955592	0.437683187
5	15	25	30	40	27.5	10	188.4955592	22.48514029
5	20	30	35	45	32.5	10	188.4955592	93.30019946
5	25	35	40	50	37.5	10	188.4955592	240.3281878



5	30	40	45	55	42.5	10	188.4955592	139.0373591
5	35	45	50	60	47.5	10	188.4955592	114.2130413
5	40	50	55	65	52.5	10	188.4955592	14.66891511
5	45	55	60	70	57.5	10	188.4955592	101.1831313
5	50	60	65	75	62.5	10	188.4955592	73.67666982
5	0	15	20	35	17.5	15	565.4866776	69.53780491
5	5	20	25	40	22.5	15	565.4866776	60.837963
5	10	25	30	45	27.5	15	565.4866776	107.9406564
5	15	30	35	50	32.5	15	565.4866776	4.810791534
5	20	35	40	55	37.5	15	565.4866776	966.5317537
5	25	40	45	60	42.5	15	565.4866776	192.1599363
5	30	45	50	65	47.5	15	565.4866776	134.2427644
5	35	50	55	70	52.5	15	565.4866776	196.519751
5	40	55	60	75	57.5	15	565.4866776	863.7557528
5	0	20	25	45	22.5	20	1256.637061	34.96053649
5	5	25	30	50	27.5	20	1256.637061	165.2191032
5	10	30	35	55	32.5	20	1256.637061	143.8378075
5	15	35	40	60	37.5	20	1256.637061	55.61204387
5	20	40	45	65	42.5	20	1256.637061	48.70686285
5	25	45	50	70	47.5	20	1256.637061	207.0098175
5	30	50	55	75	52.5	20	1256.637061	298.6452276
5	0	25	30	55	27.5	25	2356.19449	910.4306376
5	5	30	35	60	32.5	25	2356.19449	25.6307093
5	10	35	40	65	37.5	25	2356.19449	124.298856
5	15	40	45	70	42.5	25	2356.19449	49.16325443
5	20	45	50	75	47.5	25	2356.19449	305.4326191
5	0	30	35	65	32.5	30	3958.406744	221.1057297
5	5	35	40	70	37.5	30	3958.406744	58.1668431
5	10	40	45	75	42.5	30	3958.406744	61.08652382
5	0	35	40	75	37.5	35	6157.521601	99.85170164

## Lintasan 4

Spasi	A	M	N	B	Datum Point	Spasi Level	Faktor Geometri (M)	Resistivitas Semu ( $\Omega$ m)
5	0	5	10	15	7.5	5	31.41592654	35.2459546
5	5	10	15	20	12.5	5	31.41592654	2.58146373
5	10	15	20	25	17.5	5	31.41592654	29.5950653
5	15	20	25	30	22.5	5	31.41592654	39.1244641
5	20	25	30	35	27.5	5	31.41592654	43.6426655
5	25	30	35	40	32.5	5	31.41592654	34.1769462
5	30	35	40	45	37.5	5	31.41592654	61.1350052
5	35	40	45	50	42.5	5	31.41592654	55.7528953
5	40	45	50	55	47.5	5	31.41592654	21.3668099
5	45	50	55	60	52.5	5	31.41592654	57.5958653
5	50	55	60	65	57.5	5	31.41592654	33.0989226
5	55	60	65	70	62.5	5	31.41592654	32.289265
5	60	65	70	75	67.5	5	31.41592654	43.4877872
5	0	10	15	25	12.5	10	188.4955592	69.7593434
5	5	15	20	30	17.5	10	188.4955592	74.0621997
5	10	20	25	35	22.5	10	188.4955592	5.23598776
5	15	25	30	40	27.5	10	188.4955592	73.4611152
5	20	30	35	45	32.5	10	188.4955592	75.6596197
5	25	35	40	50	37.5	10	188.4955592	89.4258002
5	30	40	45	55	42.5	10	188.4955592	91.4181696
5	35	45	50	60	47.5	10	188.4955592	38.0476398
5	40	50	55	65	52.5	10	188.4955592	82.364039
5	45	55	60	70	57.5	10	188.4955592	34.1793645
5	50	60	65	75	62.5	10	188.4955592	50.0120103
5	0	15	20	35	17.5	15	565.4866776	74.9335197
5	5	20	25	40	22.5	15	565.4866776	101.314503
5	10	25	30	45	27.5	15	565.4866776	75.7464834
5	15	30	35	50	32.5	15	565.4866776	2.62813328
5	20	35	40	55	37.5	15	565.4866776	112.662346
5	25	40	45	60	42.5	15	565.4866776	130.162061
5	30	45	50	65	47.5	15	565.4866776	54.4574998
5	35	50	55	70	52.5	15	565.4866776	1476.11221
5	40	55	60	75	57.5	15	565.4866776	40.3919055
5	0	20	25	45	22.5	20	1256.637061	105.364184
5	5	25	30	50	27.5	20	1256.637061	103.098706

5	10	30	35	55	32.5	20	1256.637061	150.796447
5	15	35	40	60	37.5	20	1256.637061	209.600494
5	20	40	45	65	42.5	20	1256.637061	2.90216411
5	25	45	50	70	47.5	20	1256.637061	61.0394255
5	30	50	55	75	52.5	20	1256.637061	148.977758
5	0	25	30	55	27.5	25	2356.19449	1168.13639
5	5	30	35	60	32.5	25	2356.19449	2019.33655
5	10	35	40	65	37.5	25	2356.19449	246.68395
5	15	40	45	70	42.5	25	2356.19449	3.62770514
5	20	45	50	75	47.5	25	2356.19449	110.559895
5	0	30	35	65	32.5	30	3958.406744	200.656563
5	5	35	40	70	37.5	30	3958.406744	262.06542
5	10	40	45	75	42.5	30	3958.406744	3.04727232
5	0	35	40	75	37.5	35	6157.521601	378.63315

### ELEVASI LINTASAN

Elevasi adalah posisi vertikal (ketinggian) suatu objek dari suatu titik tertentu (datum). Datum yang biasa digunakan adalah permukaan laut dan permukaan geoid WGS-84 yang digunakan oleh GPS. Oleh karena itu, elevasi seringkali dinyatakan sebagai ketinggian dari permukaan laut (biasa disingkat dpl). Longitude dan Latitude adalah suatu sistem koordinat geografis yang digunakan untuk menentukan lokasi suatu tempat di permukaan bumi. Latitude atau garis lintang adalah garis yang menentukan lokasi berada di sebelah utara atau selatan ekuator. Garis lintang diukur mulai dari titik 0 derajat dari khatulistiwa sampai 90 derajat di kutub. Longitude atau garis bujur adalah digunakan untuk menentukan lokasi di wilayah barat atau timur dari garis utara selatan yang sering disebut juga garis meridian. Setiap lintasan mempunyai elevasi yang berbeda, oleh karena itu terdapat 4 elevasi dengan 4 lintasan.

Line	Elektroda	Longitude			Latitude			Elevasi
		Derajat	Menit	Detik	Derajat	Menit	Detik	
1	1	4	37	22.92	119	43	37.09	244
	2	4	37	22.76	119	43	37.02	244
	3	4	37	22.63	119	43	36.95	245
	4	4	37	22.47	119	43	36.85	245
	5	4	37	22.33	119	43	36.79	245
	6	4	37	22.18	119	43	36.72	246
	7	4	37	22.05	119	43	36.63	246
	8	4	37	21.9	119	43	36.55	246
	9	4	37	21.77	119	43	36.44	247
	10	4	37	21.65	119	43	36.4	247
	11	4	37	21.5	119	43	36.3	248
	12	4	37	21.35	119	43	36.21	248
	13	4	37	21.22	119	43	36.1	248
	14	4	37	21.09	119	43	36.02	248
	15	4	37	20.95	119	43	35.93	249
	16	4	37	20.82	119	43	35.86	249
2	1	4	37	25.27	119	43	39.44	241
	2	4	37	25.16	119	43	39.34	241
	3	4	37	25	119	43	39.23	242
	4	4	37	24.88	119	43	39.14	242
	5	4	37	24.76	119	43	39.04	243
	6	4	37	24.64	119	43	38.92	243
	7	4	37	24.52	119	43	38.82	243
	8	4	37	24.42	119	43	38.68	243
	9	4	37	24.33	119	43	38.55	243
	10	4	37	24.23	119	43	38.43	243
	11	4	37	24.15	119	43	38.28	243
	12	4	37	24.06	119	43	38.18	242
	13	4	37	24.01	119	43	38	242
	14	4	37	23.92	119	43	37.85	242
	15	4	37	23.86	119	43	37.7	242
	16	4	37	23.79	119	43	37.54	241
3	1	4	37	27	119	43	42.12	242
	2	4	37	26.91	119	43	41.97	241
	3	4	37	26.82	119	43	41.84	241
	4	4	37	26.72	119	43	41.7	241

	5	4	37	26.66	119	43	41.57	242	
	6	4	37	26.56	119	43	41.43	242	
	7	4	37	26.49	119	43	41.29	242	
	8	4	37	26.4	119	43	41.15	242	
	9	4	37	26.3	119	43	41.01	242	
	10	4	37	26.22	119	43	40.87	242	
	11	4	37	26.14	119	43	40.75	242	
	12	4	37	26.04	119	43	40.6	242	
	13	4	37	25.97	119	43	40.47	242	
	14	4	37	25.87	119	43	40.33	242	
	15	4	37	25.78	119	43	40.19	242	
	16	4	37	25.68	119	43	40.05	242	
	4	1	4	37	25.38	119	43	36.25	223
		2	4	37	25.23	119	43	36.25	224
		3	4	37	25.11	119	43	36.27	225
		4	4	37	24.96	119	43	36.32	227
5		4	37	24.82	119	43	36.37	228	
6		4	37	24.68	119	43	36.41	229	
7		4	37	24.52	119	43	36.42	230	
8		4	37	24.37	119	43	36.45	231	
9		4	37	24.21	119	43	36.48	232	
10		4	37	24.07	119	43	36.52	233	
11		4	37	23.9	119	43	36.53	234	
12		4	37	23.74	119	43	36.56	236	
13		4	37	23.57	119	43	36.57	237	
14		4	37	23.41	119	43	36.56	238	
15		4	37	23.25	119	43	36.58	239	
16		4	37	23.08	119	43	36.58	240	

## PENGOLAHAN DATA DI NOTEPAD

Berdasarkan data hasil pengukuran di lapangan dan data hasil pengolahan data di excel, maka data kembali diolah di notepad untuk mendapatkan hasil penampang di Res2Dinv. Data-data yang diinput ke dalam notepada adalah keterangan lintasan (A), spasi antar elektroda (B), jumlah datum level (C), banyaknya titik datum (*datum point*) (D), datum point (E), Spasi antar elektroda (F), Datum Level (G) dan resistivitas semu (H).

Lintasan 1

The image shows two Notepad windows side-by-side, both titled 'L1T1 - Notepad'. The left window contains a table with the following data:

Line	Tes	Value
5		
7		
49		
1		
0		
7.5	5	1
12.5	5	1
17.5	5	1
22.5	5	1
27.5	5	1
32.5	5	1
37.5	5	1
42.5	5	1
47.5	5	1
49.5	5	1
52.5	5	1
57.5	5	1
62.5	5	1
67.5	5	1
12.5	5	2
17.5	5	2
22.5	5	2
27.5	5	2
32.5	5	2
37.5	5	2
42.5	5	2
47.5	5	2
52.5	5	2
57.5	5	2
62.5	5	2
17.5	5	3
22.5	5	3
27.5	5	3
32.5	5	3
37.5	5	3
42.5	5	3
47.5	5	3

The right window contains a table with the following data:

Value	Parameter
47.5	5
52.5	5
57.5	5
22.5	5
27.5	5
32.5	5
37.5	5
42.5	5
47.5	5
52.5	5
27.5	5
32.5	5
37.5	5
42.5	5
47.5	5
32.5	5
37.5	5
42.5	5
37.5	5
1	
16	
0	244
5	244
10	245
15	245
20	245
25	246
30	246
35	246
40	247
45	247
50	248
55	248
60	248
65	248
70	249
75	249
1	
0	
0	
0	

## Lintasan 2

The image displays two Notepad windows side-by-side, both titled 'L2T1 - Notepad'. The left window shows a list of values with a 'Line 2' header. The right window shows a table with columns for values and indices.

Value	Index
47.5	5
52.5	5
57.5	5
22.5	5
27.5	5
32.5	5
37.5	5
42.5	5
47.5	5
52.5	5
27.5	5
32.5	5
37.5	5
42.5	5
47.5	5
52.5	5
27.5	5
32.5	5
37.5	5
42.5	5
47.5	5
52.5	5
62.5	5
67.5	5
12.5	5
17.5	5
22.5	5
27.5	5
32.5	5
37.5	5
42.5	5
47.5	5
52.5	5
57.5	5
62.5	5
17.5	5
22.5	5
27.5	5
32.5	5
37.5	5
42.5	5
47.5	5
52.5	5
57.5	5
62.5	5
17.5	5
22.5	5
27.5	5
32.5	5
37.5	5
42.5	5
47.5	5

Value	Index	Index	Value
60.39612459	3		
76.84932854	3		
90.74608345	3		
138.8549239	4		
322.3160362	4		
155.715879	4		
145.9829553	4		
12.85309347	4		
1112.739798	4		
101.9965464	4		
1154.924601	5		
352.9671746	5		
197.43606	5		
5.543987036	5		
210.6715074	5		
233.7641778	6		
189.3825971	6		
3.114403417	6		
275.2774363	7		
1			
16			
0	241		
5	241		
10	242		
15	242		
20	243		
25	243		
30	243		
35	243		
40	243		
45	243		
50	243		
55	242		
60	242		
65	242		
70	242		
75	241		
1			
0			
0			
0			
0			



## Lintasan 3

The image shows two Notepad windows side-by-side, both titled 'L3T3 - Notepad'. The left window contains a list of numerical values with columns for frequency and cumulative frequency. The right window contains a similar list with an additional column for another frequency measure.

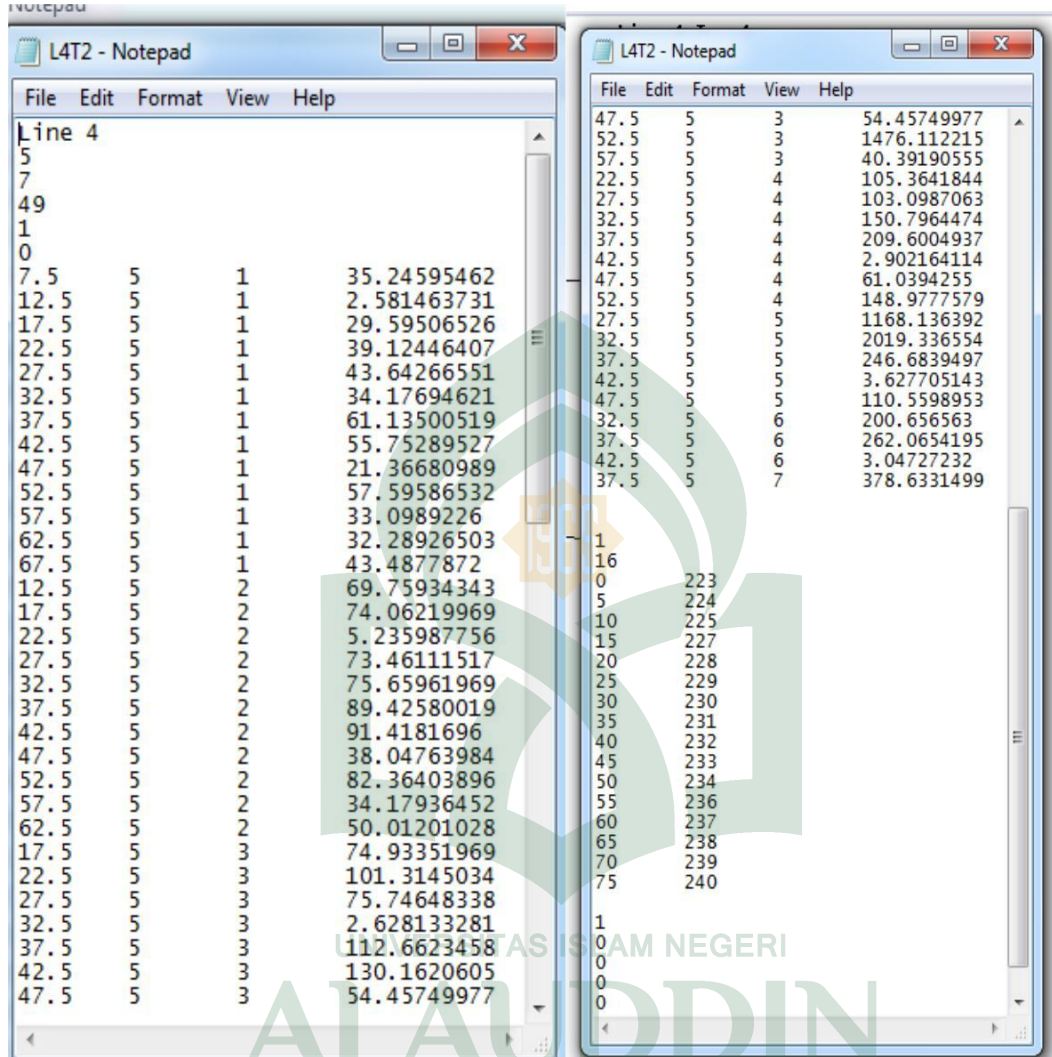
Value	Frequency	Cumulative Frequency	Another Measure
7.5	5	1	
12.5	5	1	
17.5	5	1	
22.5	5	1	
27.5	5	1	
32.5	5	1	
37.5	5	1	
42.5	5	1	
47.5	5	1	
52.5	5	1	
57.5	5	1	
62.5	5	1	
67.5	5	1	
12.5	5	2	
17.5	5	2	
22.5	5	2	
27.5	5	2	
32.5	5	2	
37.5	5	2	
42.5	5	2	
47.5	5	2	
52.5	5	2	
57.5	5	2	
62.5	5	2	
67.5	5	2	
17.5	5	3	
22.5	5	3	
27.5	5	3	
32.5	5	3	
37.5	5	3	
42.5	5	3	
47.5	5	3	

Value	Frequency	Cumulative Frequency	Another Measure
47.5	5	4	207.0098175
52.5	5	4	298.6452276
27.5	5	5	910.4306376
32.5	5	5	25.6307093
37.5	5	5	124.298856
42.5	5	5	49.16325443
47.5	5	5	305.4326191
32.5	5	6	221.1057297
37.5	5	6	58.1668431
42.5	5	6	61.08652382
37.5	5	7	99.85170164
1			
16			
0	242		
5	241		
10	241		
15	241		
20	242		
25	242		
30	242		
35	242		
40	242		
45	242		
50	242		
55	242		
60	242		
65	242		
70	242		
75	242		
1			
0			
0			
0			
0			

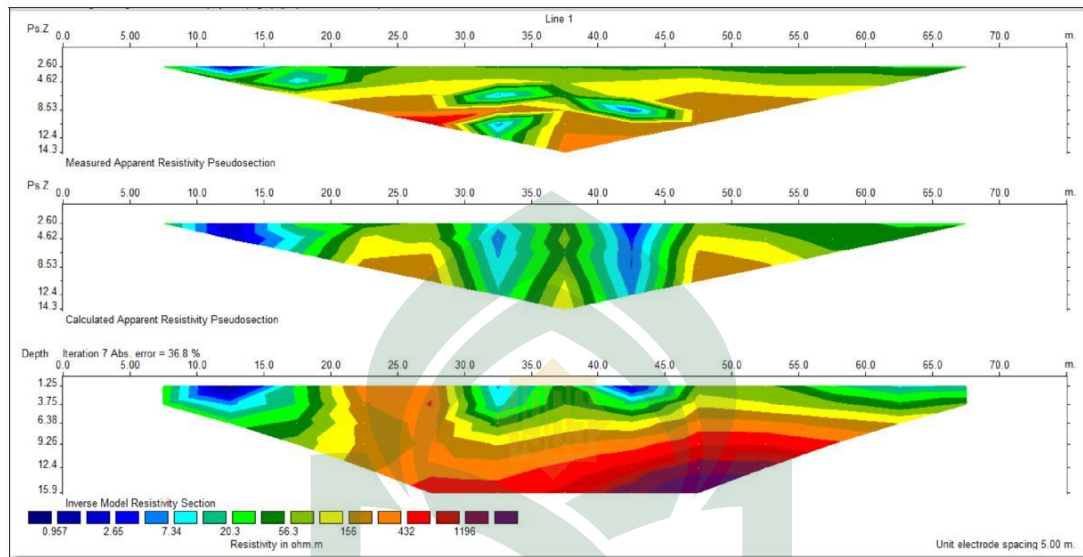


Lintasan 4

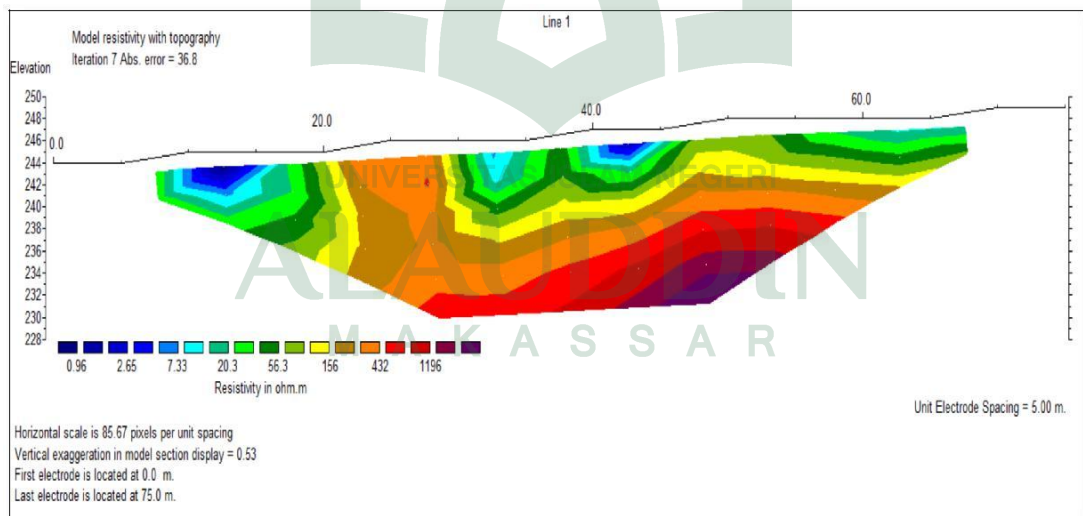


## HASIL INVERSI

### Lintasan 1

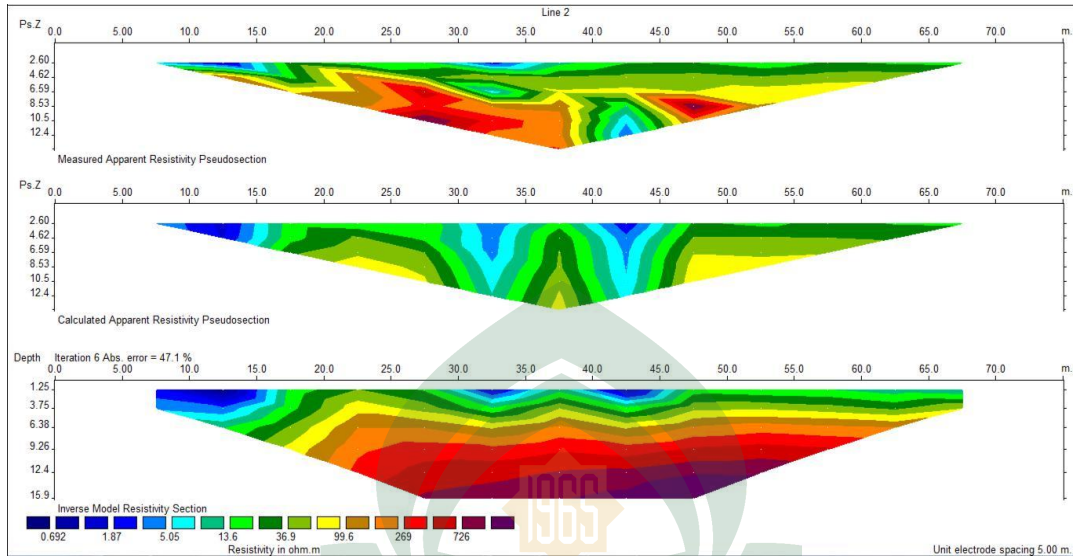


Gambar 4.1 (a) Penampang hasil inversi tanpa topografi

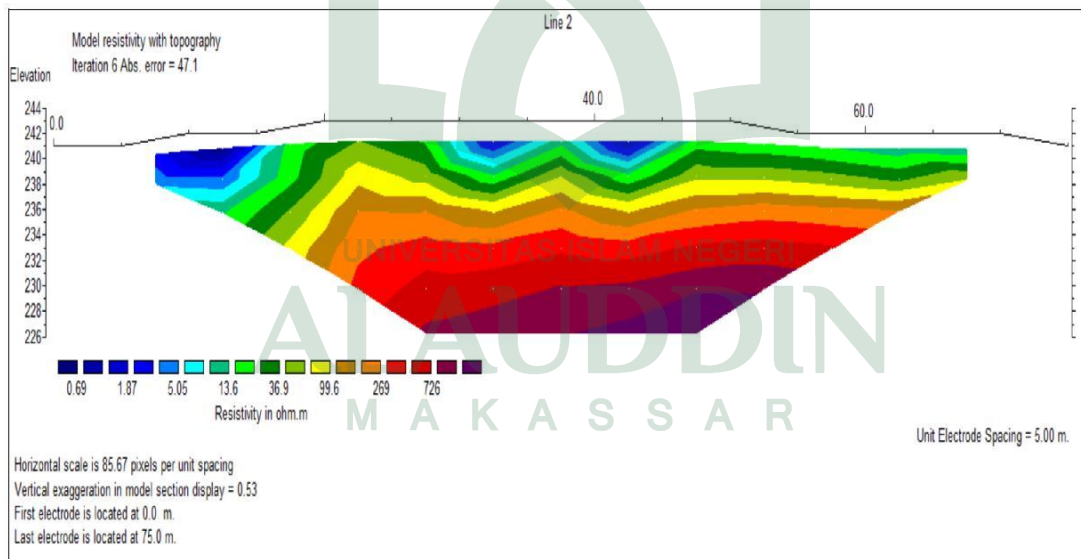


Gambar 4.1 (b) Penampang hasil inversi tanpa topografi

Lintasan 2

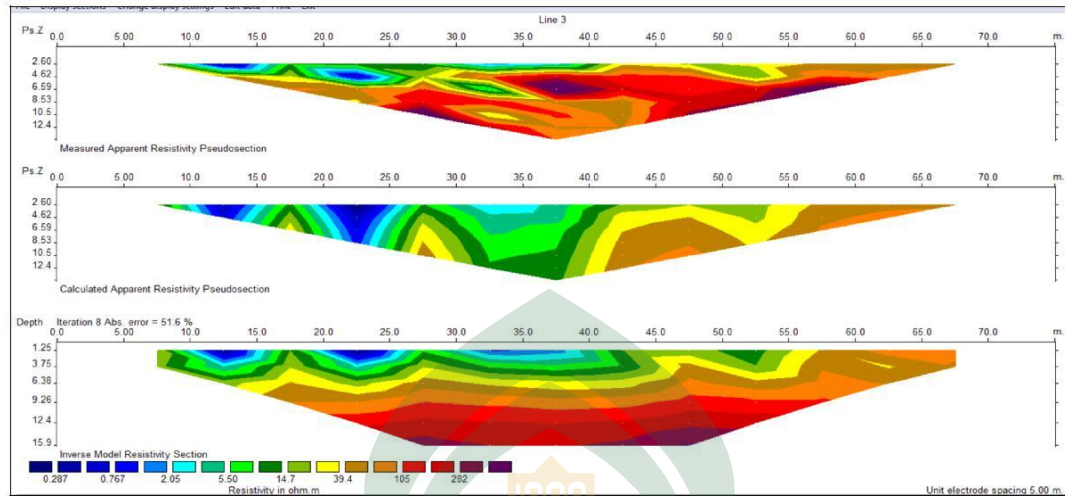


Gambar 4.2 (a) Penampang hasil inversi tanpa nilai topografi

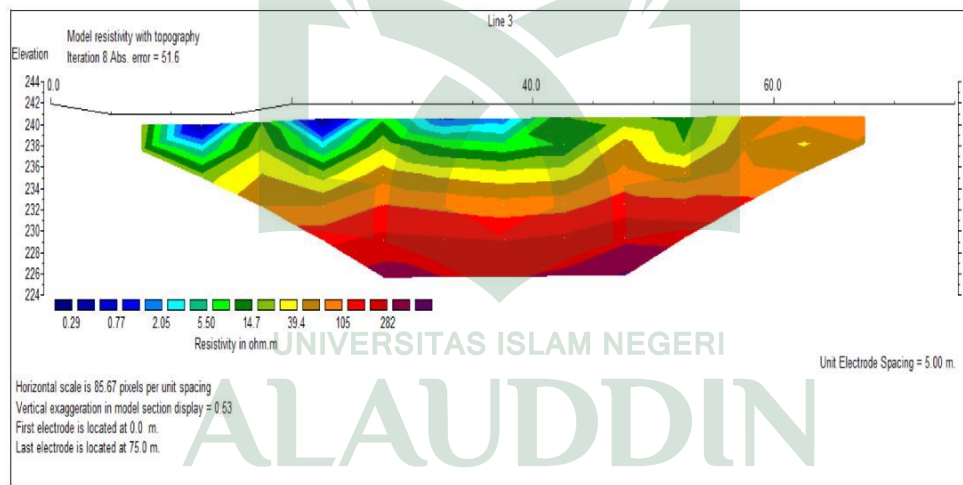


Gambar 4.2 (b) Penampang hasil inversi dengan nilai topografi

Lintasan 3

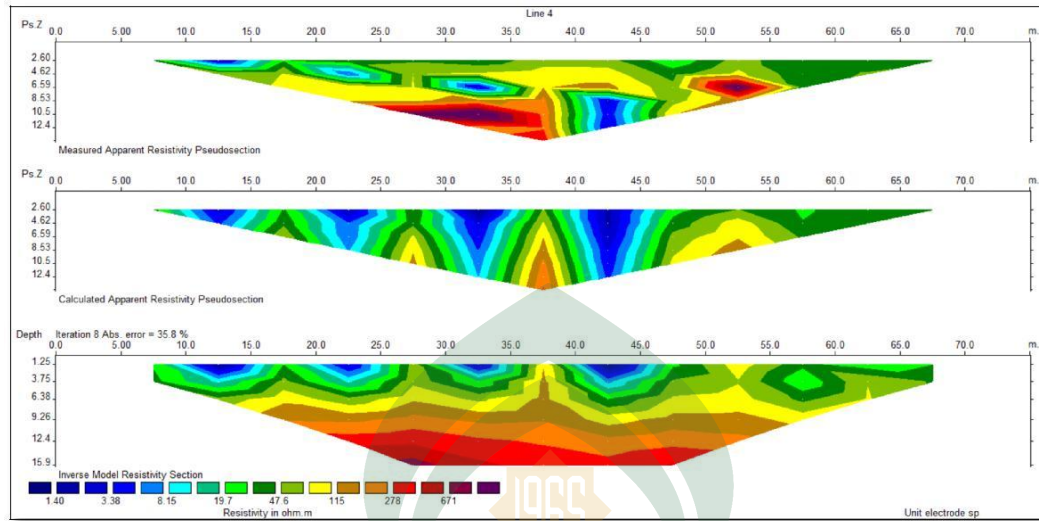


Gambar 4.3 (a) Penampang hasil inversi tanpa nilai topografi

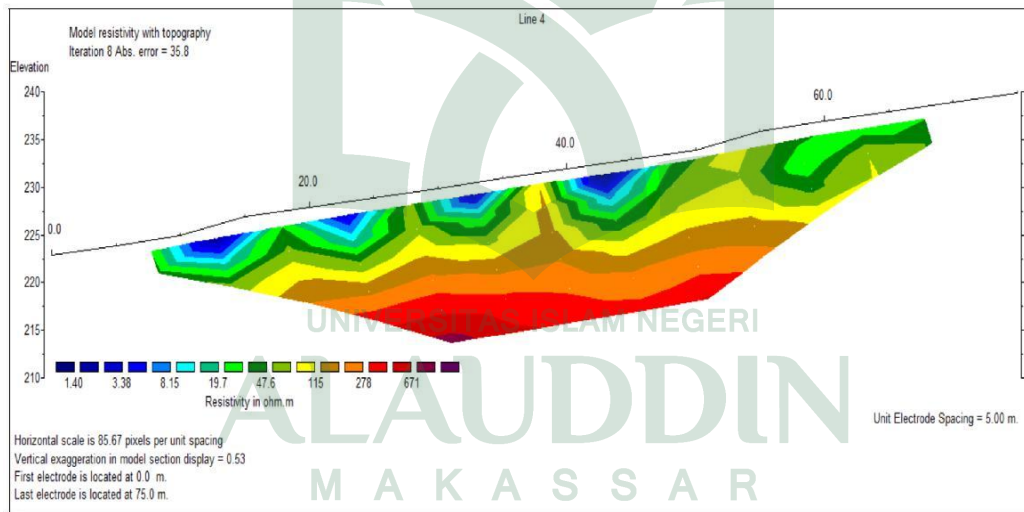


Gambar 4.3 (b) Penampang hasil inversi dengan nilai topografi

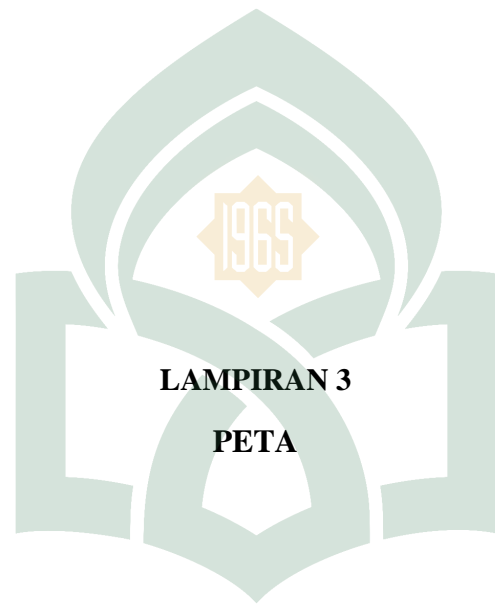
Lintasan 4



Gambar 4.4 (a) Penampang hasil inversi tanpa nilai topografi



Gambar 4.4 (b) Penampang hasil inversi dengan nilai topografi



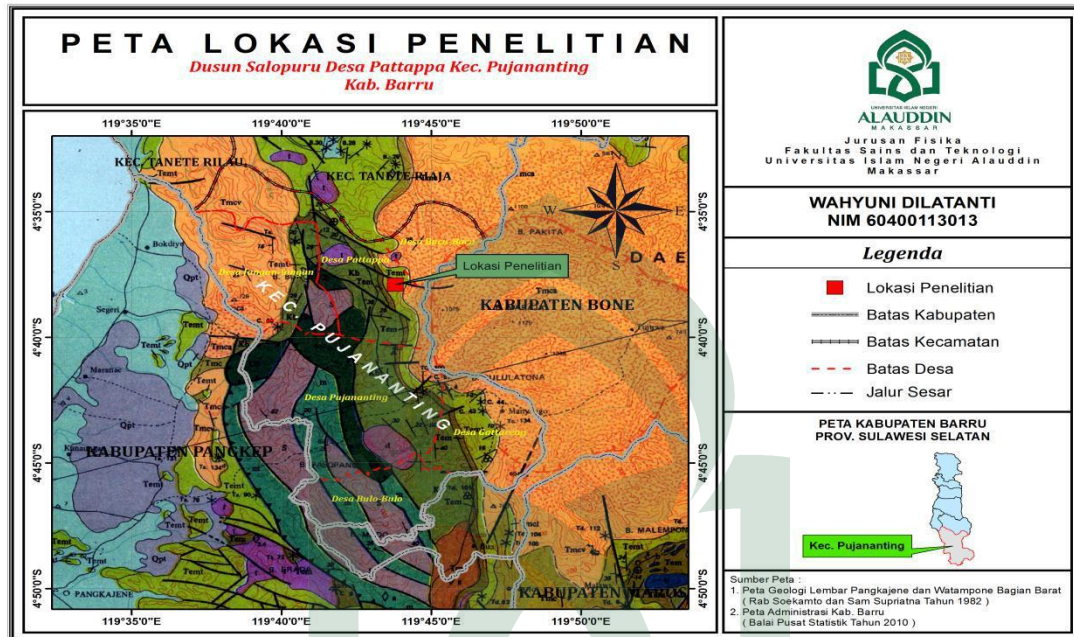
**LAMPIRAN 3**

**PETA**

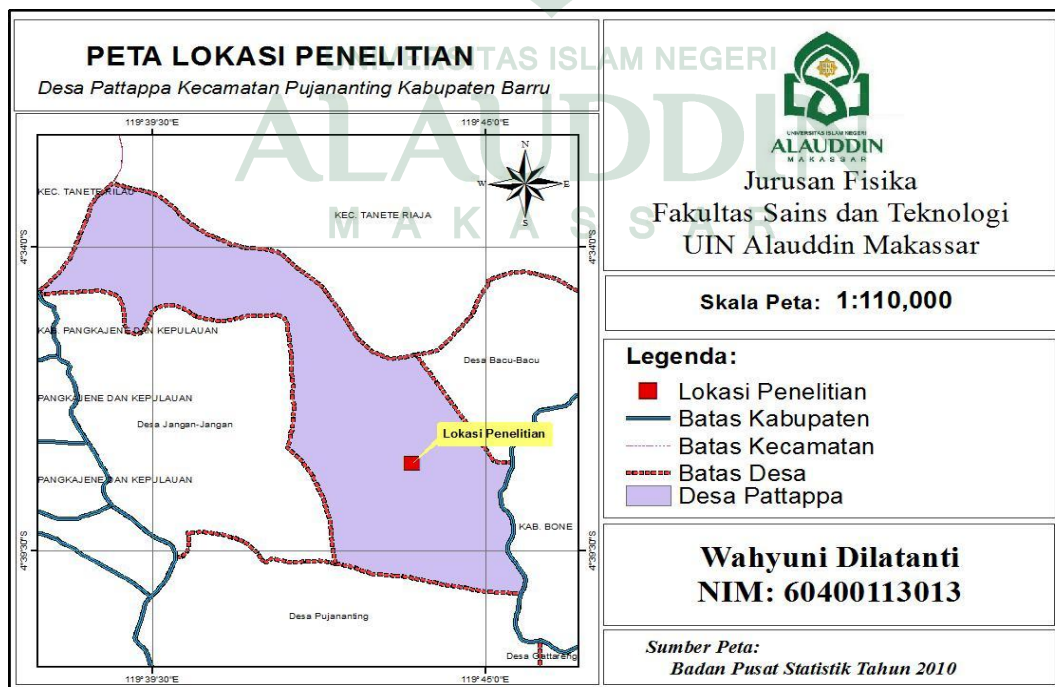
UNIVERSITAS ISLAM NEGERI  
**ALAUDDIN**  
M A K A S S A R



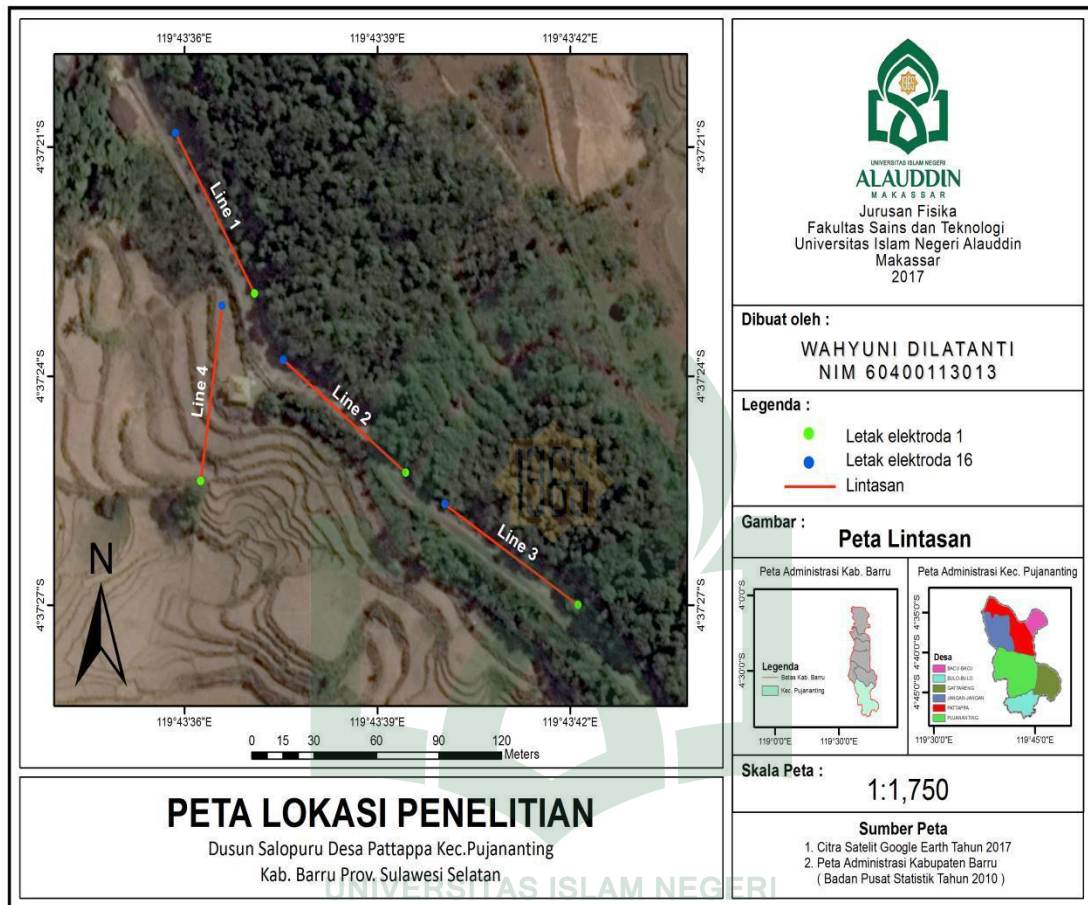
Peta Geologi Lokasi Penelitian



Peta Lokasi Penelitian



Peta Lokasi Penelitian  
(Peta Lintasan)







**LAMPIRAN 4**

**DOKUMENTASI**

UNIVERSITAS ISLAM NEGERI  
**ALAUDDIN**  
M A K A S S A R

### 1. Alat dan Bahan Penelitian



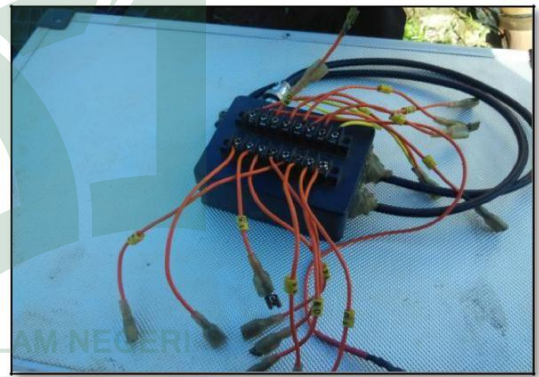
Laptop



Konektor ke Resistivimeter



Resistiviti Meter Multichannel

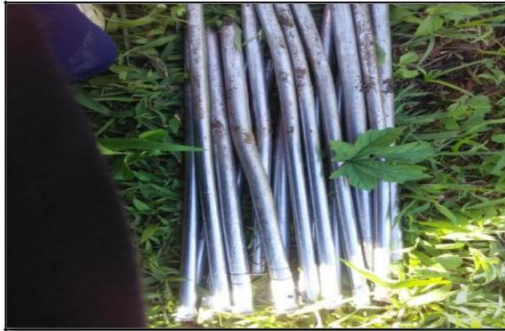


Konektor Elektroda ke Resistivimeter



AKI 12 Volt

Rol Meter



Elektroda

Palu



Konektor Kabel Multichannel ke Elektroda

Kabel



Konektor ke Aki

GPS



## 2. Survey Lokasi Penelitian

### Penentuan Lokasi Penelitian



### Pengukuran Lintasan



### 3. Pengambilan Data

Membentangkan Kabel



Menghubungkan Kabel Konektor ke elektroda



Menginjeksikan Arus dan Tegangan



Proses Pengambilan Data





Pembacaan Titik Datum



Menancapkan Elektroda







KEPUTUSAN DEKAN FAKULTAS SAINS & TEKNOLOGI  
UIN ALAUDDIN MAKASSAR  
NOMOR : 162 TAHUN 2017

TENTANG

PEMBIMBING/PEMBANTU PEMBIMBING DALAM PENELITIAN DAN PENYUSUNAN SKRIPSI MAHASISWA  
JURUSAN FISIKA FAKULTAS SAINS & TEKNOLOGI UIN ALAUDDIN MAKASSAR  
DEKAN FAKULTAS SAINS & TEKNOLOGI UIN ALAUDDIN MAKASSAR

- Membaca : Surat Permohonan Jurusan Fisika Fakultas Sains & Teknologi UIN Alauddin Makassar, Nama **WAHYUNI DILATANTI** NIM : 60400113013 tertanggal 26 Januari 2017 untuk mendapatkan Pembimbing Skripsi dengan Judul : **"Penyelidikan Pendahuluan Endapan Batubara Menggunakan Metode Geolistrik Konfigurasi Wenner-Schlumberger Kec. Pujananting Kab. Barru"**
- Menimbang : a. Bahwa untuk membantu penelitian dan penyusunan skripsi mahasiswa tersebut, dipandang perlu untuk menetapkan pembimbing/pembantu pembimbing penyusunan skripsi mahasiswa tersebut diatas.  
b. Bahwa mereka yang ditetapkan dalam surat keputusan ini dipandang cakap dan memenuhi syarat untuk diserahi tugas sebagai pembimbing/pembantu pembimbing penyusunan skripsi mahasiswa tersebut diatas.
- Mengingat : 1. Undang-undang Nomor 20 Tahun 2003 tentang Sistem Pendidikan Nasional;  
2. Undang-undang Nomor 17 tahun 2003 Tentang Keuangan Negara;  
3. Undang-undang Nomor 12 Tahun 2012 tentang Pendidikan Tinggi;  
4. Peraturan Menteri Agama RI No. 1 Tahun 2012 Tentang Perubahan Ketiga Atas Peraturan Menteri Agama Nomor 2 Tahun 2006 Tentang Mekanisme Pelaksanaan Pembayaran Atas Bahan Anggaran Pendapatan dan Belanja Negara di lingkungan Kementerian Agama;  
5. Peraturan Menteri Agama RI Nomor 25 Tahun 2013 jo Peraturan Menteri Agama Nomor 85 Tahun 2013 tentang Organisasi dan Tata Kerja UIN Alauddin Makassar;  
6. Peraturan Menteri Agama RI Nomor 20 Tahun 2014 jo Peraturan Menteri Agama Nomor 8 Tahun 2016 Tentang Statuta UIN Alauddin Makassar;  
7. Keputusan Menteri Agama Nomor 289 Tahun 1993 jo Nomor 202 B tahun 1998 Tentang pemberian Kuasa dan Pendelegasian Wewenang Menandatangani Surat Keputusan;  
8. Keputusan Menteri Keuangan Nomor: 330/KMK/05/ Tahun 2008 Tentang Penetapan UIN Alauddin Makassar pada Depag Sebagai Institusi Pemerintah yang Menerapkan Pengelolaan Badan Layanan Umum (BLU).
- MEMUTUSKAN**
- Pertama : Mengangkat/ Menunjuk saudara :  
1. **Hernawati, S.Pd., M.Pfis.** sebagai Pembimbing Pertama,  
2. **Ayusari Wahyuni, S.Si., M.Sc.** sebagai Pembimbing Kedua.
- Kedua : Tugas Pembimbing/ Pembantu Pembimbing dalam penelitian dan penyusunan skripsi mahasiswa adalah memeriksa draft skripsi dan naskah skripsi, memberi bimbingan, petunjuk-petunjuk, perbaikan mengenai materi, metode, bahasa dan kemampuan menguasai masalah,
- Ketiga : Segala biaya yang timbul akibat dikeluarkannya surat keputusan ini dibebankan kepada Anggaran Belanja Fakultas Sains & Teknologi UIN Alauddin Makassar,
- Keempat : Surat Keputusan ini mulai berlaku sejak tanggal ditetapkan dan apabila dikemudian hari terdapat kekeliruan didalamnya akan diperbaiki sebagaimana mestinya.
- Kelima : Surat Keputusan ini disampaikan kepada masing-masing yang bersangkutan untuk diketahui dan dilaksanakan dengan penuh tanggungjawab.

Ditetapkan di : Makassar  
Pada tanggal : 26 Januari 2017

Dekan,

**Prof. Dr. H. Arifuddin, M.Ag.**  
NIP. 19691205 199303 1 001



UIN ALAUDDIN MAKASSAR  
NOMOR : 1412 TAHUN 2017

TENTANG

**PANITIA UJIAN KUALIFIKASI HASIL PENELITIAN DALAM PENYUSUNAN SKRIPSI MAHASISWA  
SAINS & TEKNOLOGI UIN ALAUDDIN MAKASSAR**

**DEKAN FAKULTAS SAINS & TEKNOLOGI UIN ALAUDDIN MAKASSAR**

Membaca : Surat Permohonan **WAHYUNI DILANTANTI**, NIM 60400113013, tertanggal 08 Agustus 2017, untuk melaksanakan seminar Hasil.

Menimbang : Bahwa untuk pelaksanaan dan kelancaran seminar draft/hasil, perlu dibentuk panitia seminar Hasil dan penyusunan skripsi

Mengingat : 1. Undang-Undang No. 20 Tahun 2003 tentang Sistem Pendidikan Nasional;  
2. Undang-Undang Nomor 17 Tahun 2003 tentang Keuangan Negara;  
3. Undang-Undang Nomor 12 Tahun 2012 tentang Pendidikan Tinggi;  
4. Peraturan Menteri Agama RI No.1 Tahun 2012 tentang Perubahan ketiga atas Peraturan Menteri Agama Nomor 2 Tahun 2006 tentang Mekanisme Pelaksanaan Pembayaran atas Beban Anggaran Pendapatan dan Belanja Negara di Lingkungan Kementerian Agama;  
5. Peraturan Menteri Agama RI Nomor 25 Tahun 2013 jo Peraturan Menteri Agama Nomor 85 Tahun 2013 tentang Organisasi dan Tata Kerja UIN Alauddin Makassar;  
6. Peraturan Menteri Agama RI. Nomor 20 Tahun 2014 jo Peraturan Menteri Agama Nomor 8 Tahun 2016 tentang Statuta UIN Alauddin Makassar;  
7. Keputusan Menteri Agama Nomor 289 Tahun 1993 jo Nomor 202 B Tahun 1998 tentang Pemberian Kuasa dan Pendelegasian Wewenang Menandatangani Surat Keputusan;  
8. Keputusan Menteri Keuangan No.330/05/2008 tentang penetapan UIN Alauddin Makassar pada Dep.Agama sebagai Instansi Pemerintah yang Menerapkan Pengelolaan Badan Layanan Umum (BLU);  
9. Keputusan Rektor UIN Alauddin No.200 tahun 2016 tentang Pedoman Edukasi UIN Alauddin Makassar;

**MEMUTUSKAN**

Menetapkan Pertama : Membentuk Dewan Penguji Seminar Hasil, Jurusan **Fisika** Fakultas Sains dan Teknologi UIN Alauddin Makassar dengan komposisi :

**Ketua** : Sahara,S.Si., M.Si.,Ph.D.  
**Sekretaris** : Ihsan,S.Pd., M.Si.  
**Anggota Penguji** : Hernawati, S.Pd., M.Pfis.  
: Ayusari Wahyuni, S.Si., M.Sc.  
: Nurul Fuadi,S.Si., M.Si.  
: Dr.Sohra, M.Ag.  
: Jasmulyadi,S.T.

**Pelaksana** : Jasmulyadi,S.T.

Kedua : Panitia bertugas melaksanakan seminar draft/hasil, memberi bimbingan, petunjuk-petunjuk, perbaikan mengenai materi, metode, bahasa dan kemampuan menguasai masalah penyusunan skripsi

2. Biaya pelaksanaan seminar draft penelitian dibebankan kepada anggaran Fakultas Sains dan Teknologi UIN Alauddin Makassar


3. Apabila dikemudian hari ternyata terdapat kekeliruan dalam surat keputusan ini akan diubah dan diperbaiki sebagaimana mestinya

Surat Keputusan ini disampaikan kepada yang bersangkutan untuk diketahui dan dilaksanakan dengan penuh tanggungjawab.

Ditetapkan di : Makassar  
Pada tanggal : 08 Agustus 2017

Dekan

Prof.Dr.H.Arifuddin,M.Ag.  
NIP. 19691205 199303 1 001





**KEPUTUSAN DEKAN FAKULTAS SAINS & TEKNOLOGI  
UIN ALAUDDIN MAKASSAR  
NOMOR : 1570 TAHUN 2017  
TENTANG**

**PANITIA UJIAN KOMPREHENSIF  
JURUSAN FISIKA FAKULTAS SAINS DAN TEKNOLOGI**

**DEKAN FAKULTAS SAINS & TEKNOLOGI UIN ALAUDDIN MAKASSAR**

- Membaca : Surat permohonan Ujian Komprehensif : **WAHYUNI DILATANTI**, NIM: 60400113013
- Menimbang : Bahwa untuk pelaksanaan dan kelancaran ujian komprehensif perlu dibentuk panitia ujian
- Mengingat :
1. Undang-Undang No. 20 Tahun 2003 tentang Sistem Pendidikan Nasional;
  2. Undang-Undang Nomor 17 Tahun 2003 tentang Keuangan Negara;
  3. Undang-Undang Nomor 12 Tahun 2012 tentang Pendidikan Tinggi;
  4. Peraturan Menteri Agama RI No.1 Tahun 2012 tentang Perubahan ketiga atas Peraturan Menteri Agama Nomor 2 Tahun 2006 tentang Mekanisme Pelaksanaan Pembayaran atas Beban Anggaran Pendapatan dan Belanja Negara di Lingkungan Kementerian Agama;
  5. Peraturan Menteri Agama RI Nomor 25 Tahun 2013 jo Peraturan Menteri Agama Nomor 85 Tahun 2013 tentang Organisasi dan Tata Kerja UIN Alauddin Makassar
  6. Peraturan Menteri Agama RI. Nomor 20 Tahun 2014 jo Peraturan Menteri Agama Nomor 8 Tahun 2016 tentang Statuta UIN Alauddin Makassar;
  7. Keputusan Menteri Agama Nomor: 289 Tahun 1993 jo Nomor: 202 B Tahun 1998 tentang Pemberian Kuasa dan Pendelegasian Wewenang Menandatangani Surat Keputusan;
  8. Keputusan Menteri Keuangan No.330/05/2008 tentang penetapan UIN Alauddin Makassar pada Dep.Agama sebagai Instansi Pemerintah yang Menerapkan Pengelolaan Badan Layanan Umum (BLU);
  9. Keputusan Rektor UIN Alauddin No.200 tahun 2016 tentang Pedoman Edukasi UIN Alauddin Makassar;

**MEMUTUSKAN**

- Menetapkan :
1. Membentuk Panitia Ujian Komprehensif, Jurusan Fisika Fakultas Sains dan Teknologi UIN Alauddin Makassar dengan komposisi:
    - Ketua : **Dr.Hj.Wasliyah,S.T., M.T.**
    - Sekretaris : **Nurman Najib,S.Ag., M.M.**
    - Anggota Penguji : **Dr.Sohrah,M.Ag.**  
: **Hernawati,S.Pd., M.PFis.**  
: **Ayusari Wahyuni, S.Si., M.Sc.**
    - Pelaksana : **Sumlati, S.Pd.I.**
  2. Panitia bertugas menyiapkan perlengkapan administrasi dan melaksanakan ujian
  3. Biaya pelaksanaan ujian dibebankan kepada anggaran Fakultas Sains dan Teknonologi UIN Alauddin Makassar.
  4. Tugas Panitia dianggap selesai setelah seluruh rangkaian kegiatan ujian berakhir.
  5. Apabila dikemudian hari ternyata terdapat kekeliruan dalam surat keputusan ini akan diubah dan diperbaiki sebagaimana mestinya.

Surat keputusan ini disampaikan kepada yang bersangkutan untuk diketahui dan dilaksanakan dengan penuh rasa tanggung jawab.

Ditetapkan di : Makassar  
Pada tanggal : 15 Agustus 2107



Dekan



ALAUDDIN  
MAKASSAR

**KEPUTUSAN DEKAN FAKULTAS SAINS & TEKNOLOGI  
UIN ALAUDDIN MAKASSAR  
NOMOR :1630 TAHUN 2017**

**TENTANG**

**PANITIA UJIAN MUNAQASYAH  
JURUSAN FISIKA FAKULTAS SAINS & TEKNOLOGI**

DEKAN FAKULTAS SAINS & TEKNOLOGI UIN ALAUDDIN MAKASSAR

- Membaca : Surat permohonan : **WAHYUNI DILATANTI**  
NIM : **60400113013**  
Tanggal : **21 Agustus 2107**  
Mahasiswa Jurusan : **FISIKA**  
Untuk Ujian Skripsi/ Munaqasyah yang berjudul " **Studi Sebaran Mineral Menggunakan Metode Geolistrik Konfigurasi Wenner Schlumberger di Kec.Pujananting Kab.Barru**"
- Menimbang : 1. Bahwa saudara tersebut diatas telah memenuhi persyaratan Ujian Skripsi/ Munaqasyah  
2. Bahwa untuk pelaksanaan dan kelancaran ujian/ Munaqasyah perlu dibentuk panitia ujian.
- Mengingat : 1. Undang-Undang No. 20 Tahun 2003 tentang Sistem Pendidikan Nasional;  
2. Undang-Undang Nomor 17 Tahun 2003 tentang Keuangan Negara;  
3. Undang-Undang Nomor 12 Tahun 2012 tentang Pendidikan Tinggi;  
4. Peraturan Menteri Agama RI No.1 Tahun 2012 tentang Perubahan ketiga atas Peraturan Menteri Agama Nomor 2 Tahun 2006 tentang Mekanisme Pelaksanaan Pembayaran atas Beban Anggaran Pendapatan dan Belanja Negara di Lingkungan Kementerian Agama;  
5. Peraturan Menteri Agama RI Nomor 25 Tahun 2013 jo Peraturan Menteri Agama Nomor 85 Tahun 2013 tentang Organisasi dan Tata Kerja UIN Alauddin Makassar  
6. Peraturan Menteri Agama RI. Nomor 20 Tahun 2014 jo Peraturan Menteri Agama Nomor 8 Tahun 2016 tentang Statuta UIN Alauddin Makassar;  
7. Keputusan Menteri Agama Nomor 289 Tahun 1993 jo Nomor 202 B Tahun 1998 tentang Pemberian Kuasa dan Pendelegasian Wewenang Menandatangani Surat Keputusan  
8. Keputusan Menteri Keuangan No.330/05/2008 tentang penetapan UIN Alauddin Makassar pada Dep.Agama sebagai Instansi Pemerintah yang Menerapkan Pengelolaan Badan Layanan Umum (BLU)  
9. Keputusan Rektor UIN Alauddin No.200 tahun 2016 tentang Pedoman Edukasi UIN Alauddin Makassar

**MEMUTUSKAN**

Menetapkan : **UNIVERSITAS ISLAM NEGERI ALAUDDIN MAKASSAR**  
Membentuk Dewan Penguji Skripsi/ Munaqasyah Fakultas Sains dan Teknologi UIN Alauddin Makassar dengan komposisi :

**Ketua** : Prof.Dr.H.Arifuddin,M.Ag.  
**Sekretaris** : Ihsan, S.Pd.,M.Si.  
**Anggota Penguji** : Hernawati,S.Pd., M.Pls.  
: Ayusari Wahyuni, S.Si., M.Sc.  
: Nurul Fuadi,S.Si., M.Si.  
: Dr.Sahrah, M.Ag.  
**Pelaksana** : Nurman Najib,S.Ag., M.M.

2. Panitia bertugas melaksanakan ujian Skripsi/Munaqasyah bagi saudara yang namanya tersebut diatas.
3. Biaya pelaksanaan ujian dibebankan kepada anggaran Fakultas Sains & Teknologi UIN Alauddin Makassar.
4. Apabila dikemudian hari ternyata terdapat kekeliruan dalam surat keputusan ini akan diubah dan diperbaiki sebagaimana mestinya.

Keputusan ini disampaikan kepada yang bersangkutan untuk diketahui dan dilaksanakan dengan penuh rasa tanggung jawab.

Ditetapkan di Makassar  
Pada tanggal, 21 Agustus 2107



**LAMPIRAN 5**  
**DOKUMENTASI SURAT PENELITIAN**



UNIVERSITAS ISLAM NEGERI  
**ALAUDDIN**  
M A K A S S A R





PEMERINTAH PROVINSI SULAWESI SELATAN  
DINAS PENANAMAN MODAL DAN PELAYANAN TERPADU SATU PINTU  
BIDANG PENYELENGGARAAN PELAYANAN PERIZINAN

Nomor : 8627/S.01P/P2T/06/2017  
Lampiran :  
Perihal : Izin Penelitian

KepadaYth.  
Bupati Barru

di-  
Tempat

Berdasarkan surat Dekan Fak. Sains dan Teknologi UIN Alauddin Makassar Nomor : 1050/Un.06/FST/PP.00.9/03/2017 tanggal 14 Maret 2017 perihal tersebut diatas, mahasiswa/peneliti dibawah ini:

Nama : WAHYUNI DILATANTI  
Nomor Pokok : 60400113013  
Program Studi : Fisika  
Pekerjaan/Lembaga : Mahasiswa(S1)  
Alamat : Jl. Muh. Yasin Limpo No. 36 Samata, Sungguminasa-Gowa

Bermaksud untuk melakukan penelitian di daerah/kantor saudara dalam rangka penyusunan Skripsi, dengan judul :

" SERVEI SEBARAN MINERAL MENGGUNAKAN METODE GEOLISTRIK KONFIGURASI WENNER SCHLUMBERGER DI KECAMATAN PUJANANTING KABUPATEN BARRU "

Yang akan dilaksanakan dari : Tgl. 10 Juli s/d 10 Agustus 2017

Sehubungan dengan hal tersebut diatas, pada prinsipnya kami *menyetujui* kegiatan dimaksud dengan ketentuan yang tertera di belakang surat izin penelitian.

Demikian Surat Keterangan ini diberikan agar dipergunakan sebagaimana mestinya.


Diterbitkan di Makassar  
Pada tanggal : 14 Juni 2017

UNIVERSITAS ISLAM NEGERI  
A.n. GUBERNUR SULAWESI SELATAN  
KEPALA DINAS PENANAMAN MODAL DAN PELAYANAN TERPADU SATU  
PINTU PROVINSI SULAWESI SELATAN  
Selaku Administrator Pelayanan Perizinan Terpadu



A. M. YAMIN, SE., MS.  
Pangkat : Pembina Utama Madya  
D. Nip. : 19610513 199002 1 002

Tembusan Yth  
1. Dekan Fak. Sains dan Teknologi UIN Alauddin Makassar di Makassar;  
2. Peringgal.



**PEMERINTAH KABUPATEN BARRU**  
**DINAS PENANAMAN MODAL, PELAYANAN TERPADU SATU PINTU**  
**DAN TENAGA KERJA**  
 Jl. Sultan Hasanuddin No. 42 Telepon (0427) 21662 , Fax (0427) 21410 Kode Pos 90711

Barru, 07 Juli 2017

Nomor : 0396/18/BR/VII/2017/DPMPTSPTK  
 Lampiran : -  
 Perihal : Izin/Rekomendasi Penelitian.

Kepada  
 Yth. Kepala Desa Pattapa  
 di -  
Tempat

Berdasarkan Surat DPMPTSP Provinsi Sulawesi Selatan Nomor : 8627/S.01P/P2T/06/2017 tanggal 14 Juni 2017 perihal tersebut di atas, maka **mahasiswa** / peneliti / dosen / pegawai di bawah ini :

**N a m a** : WAHYUNI DILATANTI  
**Nomor Pokok** : 60400113013  
**Program Study** : Fisika  
**Pekerjaan** : Mahasiswa S1  
**A l a m a t** : Pallangga Kab. Gowa

Diberikan izin untuk melakukan Penelitian/Pengambilan Data di Wilayah/Kantor Saudara yang berlangsung mulai tanggal **10 Juli 017 s/d 11 Juli 017** dalam rangka Penyusunan ***Skripsi***, dengan judul :


**STUDI SEBARAN MINERAL MENGGUNAKAN METODE GEOLISTRIK KONFIGURASI WENNER SCHLUMBERGER DI KECAMATAN PUJANANTING KABUPATEN BARRU**

Sehubungan dengan hal tersebut diatas, pada prinsipnya kami menyetujui kegiatan dimaksud dengan ketentuan :

1. Sebelum dan sesudah melaksanakan kegiatan, kepada yang bersangkutan melapor kepada Kepala SKPD (Unit Kerja) / Camat, apabila kegiatan dilaksanakan di SKPD (Unit Kerja) / Kecamatan setempat;
2. Penelitian tidak menyimpang dari Izin yang diberikan;
3. Mentaati semua peraturan perundang-undangan yang berlaku dan mengindahkan adat istiadat setempat;
4. Menyerahkan 1 (satu) eksesampelar copy hasil penelitian kepada Bupati Barru Cq. Kepala Dinas Penanaman Modal, Pelayanan Terpadu Satu Pintu Dan Tenaga Kerja Kabupaten Barru;
5. Surat Izin akan dicabut kembali dan dinyatakan tidak berlaku apabila ternyata pemegang surat izin ini tidak mentaati ketentuan tersebut diatas.

Untuk terlaksananya tugas penelitian tersebut dengan baik dan lancar, diminta kepada Saudara untuk memberikan bantuan fasilitasi seperlunya.  
 Demikian disampaikan untuk dimaklumi dan dipergunakan seperlunya.

a.n. **Ph. Kepala Dinas,**  
**Kasi Pengolahan**



**MUHAMMAD SAYUTI, S.Sos**  
**Pangkat : Penata Muda Tk.I,III/c**  
**NIP. 19600908 199503 1 003**

**TEMBUSAN** : disampaikan Kepada Yth.

1. Bupati Barru (Sebagai Laporan);
2. Kepala Bappeda Kab. Barru;
3. Camat Pujananting;
4. Dekan fak. Sains dan teknologi UIN Alauddin makassar di makassar
5. Mahasiswa yang bersangkutan;
6. Pertinggal.



PEMERINTAH KABUPATEN BARRU  
KECMATAN PUJANANTING  
DESA PATTAPPA

**SURAT KETERANGAN**

NO : 158/SKP/DP/BR/VIII/2017

Yang bertanda tangan di bawah ini ;

**NAMA** : Y U S U F  
**JABATAN** : KEPALA DESA PATTAPPA

**MENERANGKAN :**

**Nama** : Wahyuni Dilatanti  
**Nomor Pokok** : 60400113013  
**Program Studi** : Fisika  
**Pekerjaan** : Mahasiswi S1  
**Alamat** : Pallangga Kab. Gowa

Bahwa yang tersebut namanya di atas benar telah melakukan penelitian di Dusun Salopuru Desa Pattappa Kec. Pujananting Kab. Barru, yang berlangsung pada tanggal 10 juli 2017 s/d 11 juli 2017.

Demikian surat keterangan ini di buat dengan sebenarnya dan diberikan kepada yang bersangkutan untuk digunakan seperlunya.

UNIVERSITAS ISLAM NEGERI  
**ALAUDDIN**  
M A K A S A R

Palludda, 22 Agustus 2017  
Kepala Desa Pattappa

